



Nonlinear Modeling and Analysis of Buildings using Commercial Finite Element Programs

Dr. Pramin Norachan
Manager, Structural Engineering Unit,
AIT Consulting

2 October 2015



Presentation Outline

1. The Importance of Nonlinear Analysis
2. Commercial Finite Element Software
3. Basic Concepts of Structural Analysis
4. Basics of Structural Modeling
5. Nonlinear Components
6. Nonlinear Material Assignment
7. Beam Elements
8. Column Elements
9. Shear Wall Elements
10. Infill Wall Elements
11. Nonlinear Static Analysis – Pushover
12. Nonlinear Dynamic Analysis – THA

Introduction



STRUCTURAL ENGINEERING IS

THE ART OF USING MATERIALS

That Have Properties Which Can Only Be Estimated

TO BUILD REAL STRUCTURES

That Can Only Be Approximately Analyzed

TO WITHSTAND FORCES

That Are Not Accurately Known

**SO THAT OUR RESPONSIBILITY WITH RESPECT TO
PUBLIC SAFETY IS SATISFIED.**

Adapted From An Unknown Author

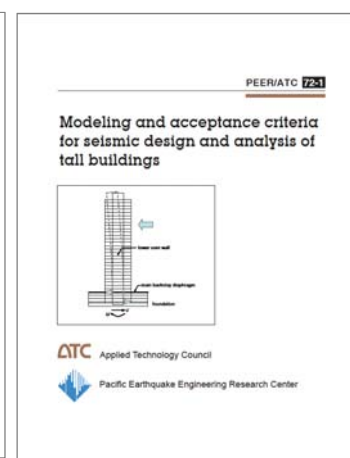
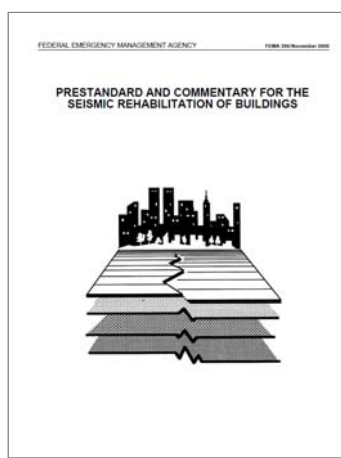


Edward L. Wilson

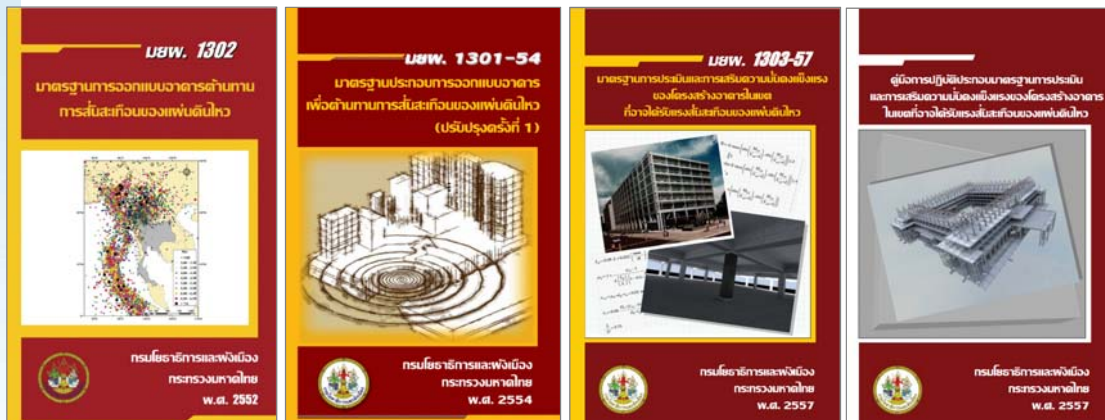
*Professor Emeritus of Structural Engineering (The original developer of CAI, SAP and ETABS series of computer programs)
University of California at Berkeley*

**Three-Dimensional Static and Dynamic Analysis of Structures
A Physical Approach With Emphasis on Earthquake Engineering**

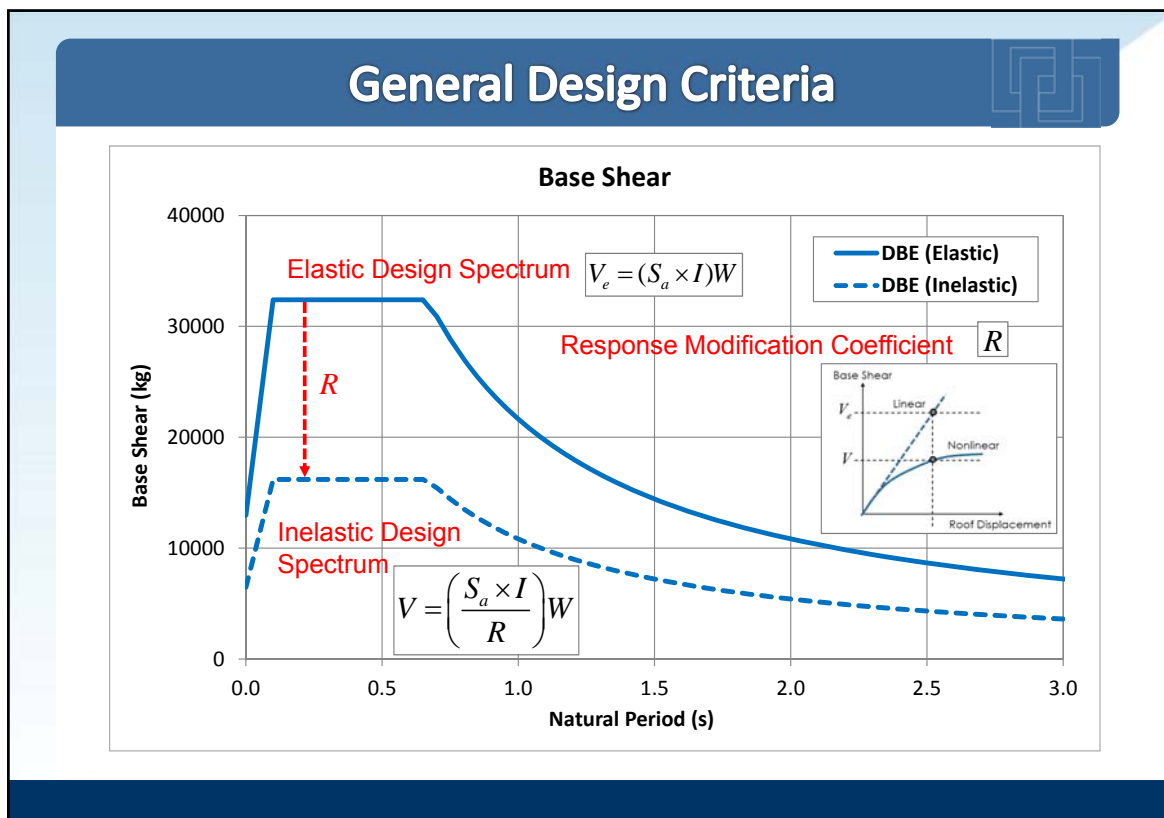
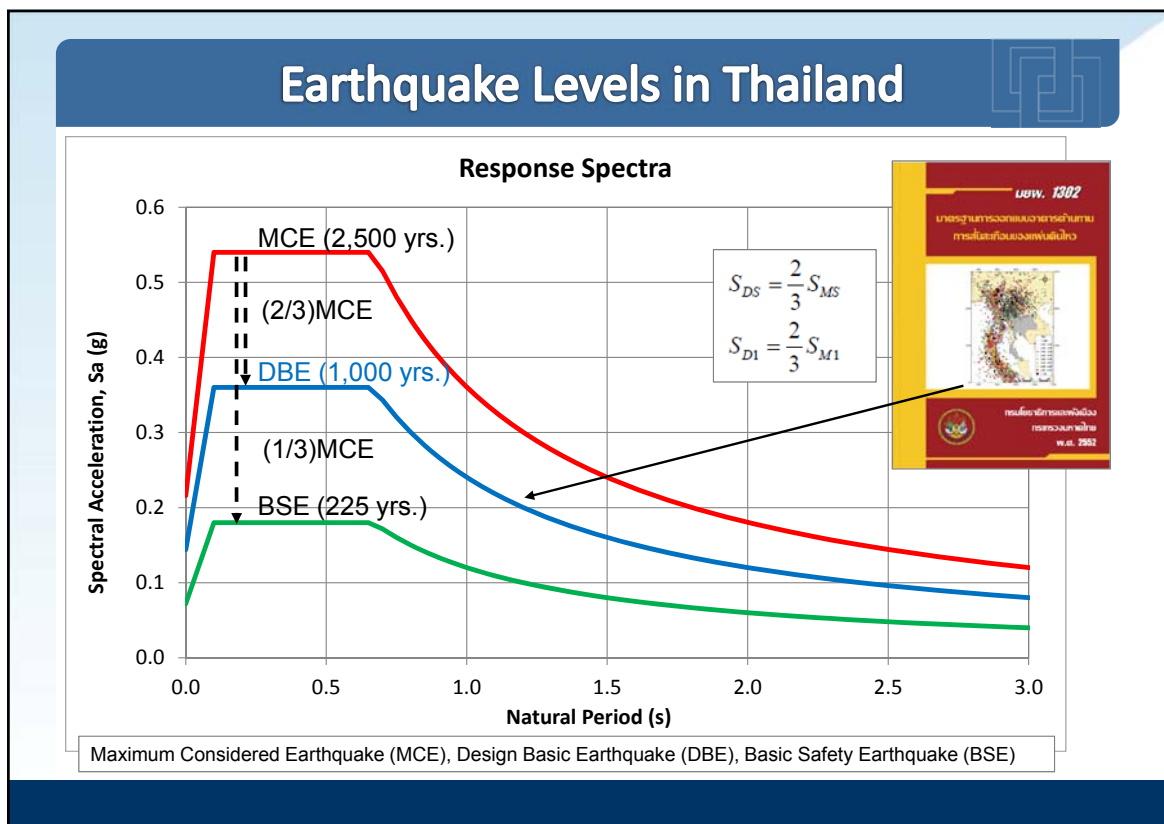
Standards and Guidelines



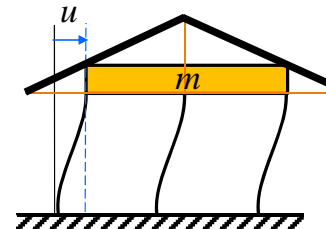
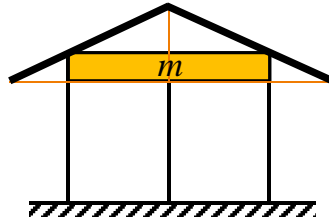
Standards and Guidelines



The Importance of Nonlinear Analysis



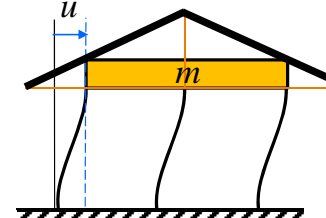
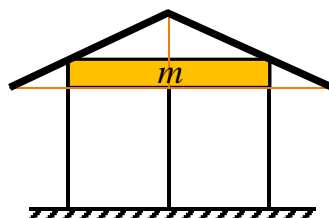
Overview of Inelastic Seismic Analysis



บ้านต้องไม่พังเมื่อเกิดแผ่นดินไหวแต่ยอมให้เสียหายได้บ้าง

1. ทำอย่างไรเราถึงจะหาจุดที่อ่อน Weak Components ต่างๆ ของอาคารเมื่อเวลาเจอแผ่นดินไหวได้?
2. หาเพื่ออะไร? ก็เพื่อทำการเสริมกำลังในจุดนั้นๆ ให้แข็งแรงเพียงพอและสามารถต้านทานต่อแรงแผ่นดินไหวที่จะเกิดขึ้นได้
3. เสริมไปแล้ว แข็งขึ้นแล้วไปพังที่อื่นต่อหรือป่าว? เราจะรู้ได้อย่างไร?

Overview of Inelastic Seismic Analysis



Structural Analysis
Seismic Evaluation of Structures

1. การวิเคราะห์โครงสร้างทำให้เราหาจุดที่อ่อน Weak Components เจอ เราจะได้เสริมกำลังได้ถูกจุด การเสริมก็มีทั้งเสริมให้แข็งขึ้น หรือเสริมให้หนีบยวัด การทำแบบจำลองและการวิเคราะห์โครงสร้างทำให้เราเข้าใจพฤติกรรมที่ซับซ้อนได้
2. แล้วการวิเคราะห์ต้องเป็นแบบเชิงเส้น (Linear Analysis) หรือแบบไม่เชิงเส้น (Nonlinear Analysis) ?

Behavior for Earthquake Load

For a large earthquake, if the structure is elastic the load can exceed the yield strength.

But if the structure is allowed to yield, the displacement may be acceptable.

For a small earthquake, the load on the structure is likely to be below yield.

DISPLACEMENT

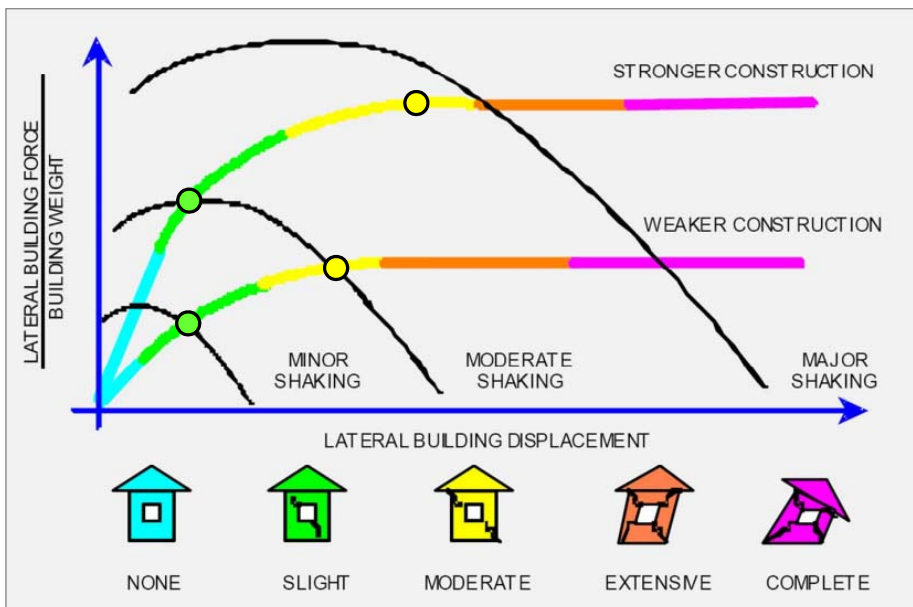
LOAD

Modeling for Structural Analysis, Behavior and Basics, Graham H. Powell

Behavior for Earthquake Load

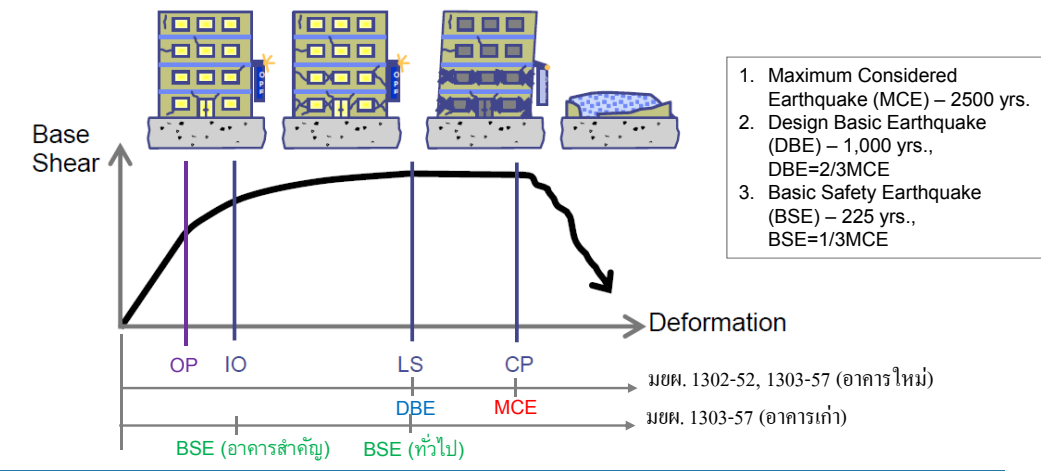
- แต่ถ้าแผ่นดินไหวมีความรุนแรงมากขึ้น เช่น ระดับ MCE level จะทำให้โครงสร้างอยู่ในช่วง Nonlinear เราต้องใช้วิธีการทางด้าน Nonlinear Procedures ในการวิเคราะห์ เพราะว่าทุกๆ Member จะมีกำลังต้านทาน Capacity ที่จำกัด เมื่อมัน Fail คือรับแรงไม่ได้ แรงนั้นก็จะส่งผ่านไปยัง Members อื่นๆที่แข็งกว่าให้รับแรงแทน เกิดการ Redistribution ของ Loads ใหม่ ซึ่ง Linear Analysis ให้ค่าไม่ได้
- ถ้าเราใช้ Linear Procedures ก็จะเป็นวิธีการที่หมายาในการประมาณค่าแรงและค่าการเคลื่อนที่ของโครงสร้าง แต่ถ้าใช้ Nonlinear Procedures ก็จะถูกต้องมากขึ้น

Behavior for Earthquake Load



Seismic response estimation using non-linear static methods, Dominik H. Lang

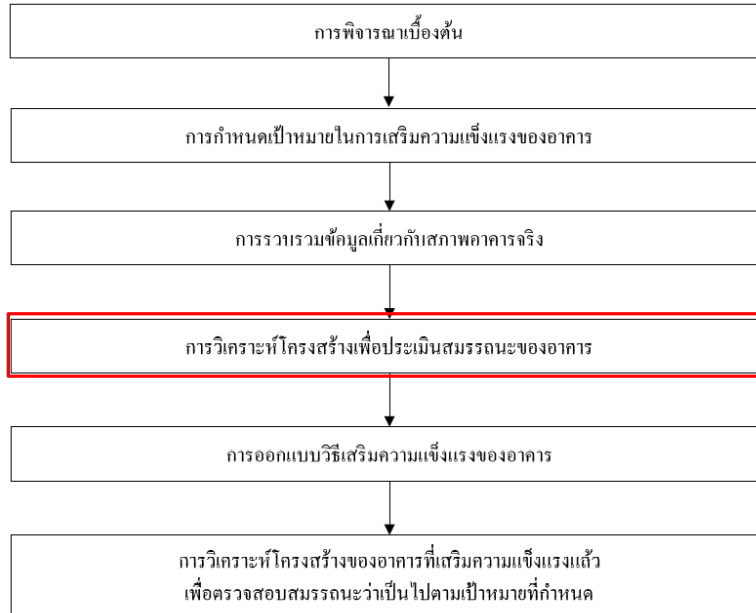
Performance Levels



- (1) ระดับอาคารปฏิบัติงานได้ (เรียกว่า Operational level หรือ OP)
- (2) ระดับเข้าใช้อาคารได้ทันที (เรียกว่า Immediate Occupancy level หรือ IO)
- (3) ระดับปลอดภัยต่อชีวิต (เรียกว่า Life Safety level หรือ LS)
- (4) ระดับป้องกันการพังทลาย (เรียกว่า Collapse Prevention level หรือ CP)

คู่มือการปฏิบัติประกอบมาตรฐานการประเมินและการเสริมความมั่นคงแข็งแรงของโครงสร้างอาคาร 2557

General Processes



คู่มือการปฏิบัติประกอบมาตรฐานการประเมินและการเสริมความมั่นคงแข็งแรงของโครงสร้างอาคาร 2557

Basic Analysis Types

ส่วนที่ 2 การประเมินโครงสร้างอาคาร

2.1 การวิเคราะห์โครงสร้าง

การวิเคราะห์โครงสร้างมีอยู่หลายวิธี แต่ละวิธีมีความขากันง่ายแตกต่างกัน โดยวิธีที่ใช้กับโครงสร้างที่สุด ทำได้ยากกว่าวิธีแบบง่าย วิธีวิเคราะห์แบ่งคร่าวๆ ได้เป็น 2 กลุ่ม คือ **(Structures)**

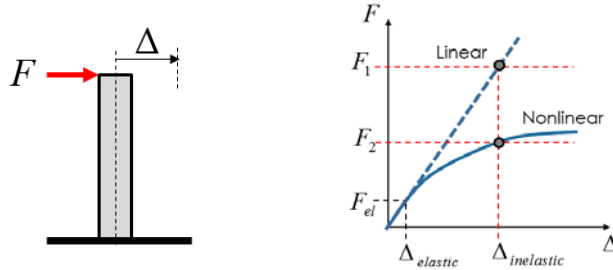
- (1) วิธีวิเคราะห์แบบเชิงเส้น (linear procedures) ซึ่งสามารถคำนวณได้โดยใช้สมการเชิงเส้น
- (2) วิธีวิเคราะห์แบบไม่เชิงเส้น (nonlinear procedures) ซึ่งสามารถคำนวณได้โดยใช้สมการแบบไม่เชิงเส้นและไม่สามารถคำนวณโดยใช้สมการเชิงเส้นของวัสดุได้ จึงมีความถูกต้องมากกว่า โดยเฉพาะในกรณีที่แผ่นดินไหวหรือแรงและโครงสร้างมีการกระแทกเกิดขึ้น

ในแต่ละกลุ่มนี้ยังแบ่งได้เป็น **(External Forces)**

- (1) วิธีแบบสถิติก (static) ซึ่งสามารถคำนวณได้เมื่อแรงดันจากภายนอกไม่เปลี่ยนแปลง
- (2) วิธีแบบพลศาสตร์ (dynamic) ซึ่งพิจารณาแรงดันที่เปลี่ยนแปลงตามเวลาและคำนึงถึงแรงเฉือนที่อาจเกิดขึ้น

คู่มือการปฏิบัติประกอบมาตรฐานการประเมินและการเสริมความมั่นคงแข็งแรงของโครงสร้างอาคาร 2557

Basic Analysis Types



ดังนั้นหากวัสดุในโครงสร้างที่ตอบสนองต่อแผ่นดินไหวมีพฤติกรรมแบบไม่ยึดหยุ่นเชิงเส้นแล้ว วิธีวิเคราะห์แบบพลศาสตร์ไม่เชิงเส้น (nonlinear dynamic procedure หรือ NDP) ถือว่าเป็นวิธีที่ให้คำอุปต้องที่สุด แต่หากวัสดุซึ่งคงอยู่ในช่วงยึดหยุ่นเชิงเส้น วิธีวิเคราะห์แบบพลศาสตร์เชิงเส้น (linear dynamic procedure หรือ LDP) ถือว่าเป็นวิธีที่ให้คำอุปต้อง เช่นกัน

ในความเป็นจริงเมื่อแผ่นดินไหวมีความรุนแรง โครงสร้างมีพฤติกรรมไม่ยึดหยุ่นเชิงเส้น วิธีวิเคราะห์แบบสถิตไม่เชิงเส้น (nonlinear static procedure หรือ NSP) หรือที่เรียกว่าวิธีแบบแรงกระทำค้านข้าง (static pushover analysis) จึงเป็นวิธีที่นิยมใช้ในการประเมินโครงสร้างเพราสามารถทำได้ไม่ยากนัก และมีความถูกต้องในระดับที่ยอมรับได้ [3]

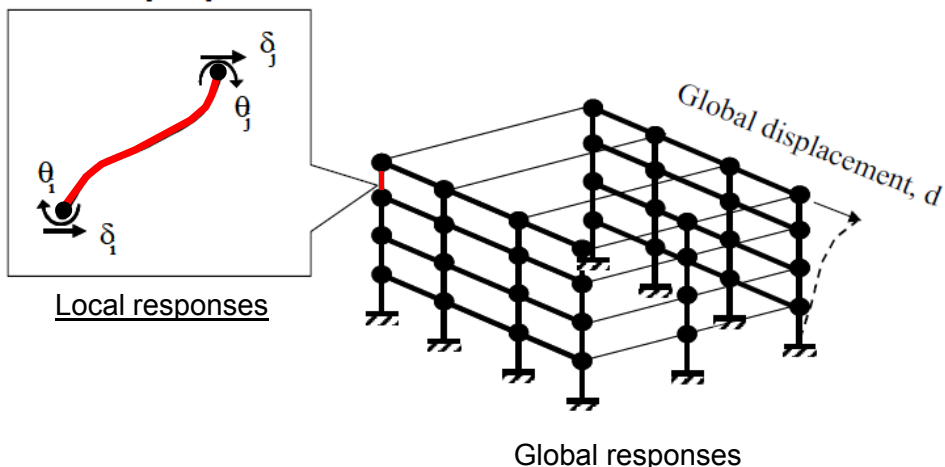
คู่มือการปฏิบัติประกอบมาตรฐานการประเมินและการเสริมความมั่นคงแข็งแรงของโครงสร้างอาคาร 2557

Basic Analysis Types

No.	Procedure	Analysis	Structure	External Force	Level of Modeling	Accuracy
1	Linear Static Procedure (LSP)	Equivalent Static Analysis	Linear	Static	Easy	Least Accurate
2	Linear Dynamic Procedure (LDP)	Response Spectrum Analysis	Linear	Response Spectrum		
		Time-History Analysis	Linear	Dynamic		
3	Nonlinear Static Procedure (NSP)	Pushover Analysis	Nonlinear	Static		
4	Nonlinear Dynamic Procedure (NDP)	Time-History Analysis	Nonlinear	Dynamic	Complex	Most Accurate

Structural Responses

Component strength and stiffness properties



FEMA 440

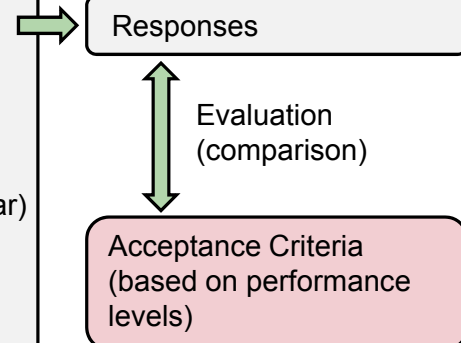
Structural Responses

Global Responses (Structure)

1. Modal responses (periods and mode shapes)
2. Base shear/Base moment
3. Story shear/Story moment
4. Story displacements
5. Inter-story drift
6. Floor acceleration

Local Responses (Components)

1. Columns (PMM, shear)
2. Beams (plastic hinge rotation, shear)
3. Shear walls (axial strain, shear wall shear)
4. Coupling beams (plastic hinge rotation, shear hinge displacement)



Global Evaluation of Structures

Evaluation of Structure (Global)

การประเมินโครงสร้างในภาพรวม ทำโดยนำค่าการเคลื่อนที่สัมพัทธ์ระหว่างชั้นไปคำนวณอัตราส่วนการเคลื่อนที่สัมพัทธ์ระหว่างชั้น (inter-story drift ratio) ซึ่งเป็นอัตราส่วนระหว่างการเคลื่อนที่สัมพัทธ์ระหว่างชั้นกับความสูงระหว่างพื้นชั้นที่กำลังพิจารณา โดยทั่วไปคิดเป็นค่าร้อยละ แล้วนำไปเมริบ์ที่ยกกับค่าที่ยอมให้ หรือที่เรียกว่า เกณฑ์การยอมรับ (acceptance criteria)

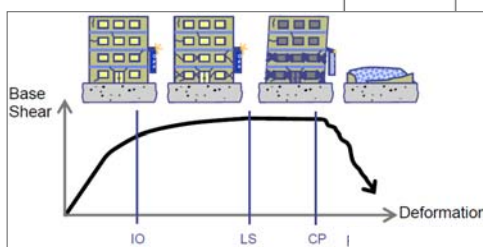
ค่าของเกณฑ์การยอมรับที่อยู่กับระดับสมรรถนะ (performance level) ที่ต้องการ ระบบโครงสร้างของอาคาร วัสดุที่ใช้เป็นโครงสร้างหลัก และประเภทของชั้นส่วนโครงสร้างที่กำลังพิจารณา ยกตัวอย่าง ห้องโครงสร้างคอนกรีตเสริมเหล็กที่เป็นโครงสร้างข้อแข็ง (concrete moment-resisting frame) ที่มีระดับสมรรถนะปลดปล่อยช่องว่าง ต้องมีอัตราส่วนการเคลื่อนที่สัมพัทธ์ระหว่างชั้นไม่เกินร้อยละ 2 ระหว่างที่เกิดการสั่นสะเทือน (transient) และหลังจากการสั่นสะเทือนหยุดแล้ว (permanent) ต้องมีการเคลื่อนที่สัมพัทธ์ระหว่างชั้นคงค้างไม่เกินร้อยละ 1 สำหรับโครงสร้างประเภทเดียวกันนี้ที่มีระดับสมรรถนะป้องกันการพังทลาย ต้องมีอัตราส่วนการเคลื่อนที่สัมพัทธ์ระหว่างชั้นไม่เกินร้อยละ 4 ทั้งระหว่างที่เกิดการสั่นสะเทือน และหลังจากการสั่นสะเทือนหยุดแล้ว ดังตารางที่ 3.4-2 ในมยพ. 1303-57 [1]

คู่มือการปฏิบัติประกอบมาตรฐานการประเมินและการเสริมความมั่นคงแข็งแรงของโครงสร้างอาคาร 2557

Global Evaluation of Structures

ตารางที่ 3.4-2 ระดับสมรรถนะของโครงสร้างและความเสี่ยง

Acceptance criteria
based on
performance levels



Inter-story drift

ชั้นส่วน Elements	ระดับป้องกันการพังทลาย IO	ระดับป้องกันช่องว่าง LS	ระดับเข้มข้นของการใช้งานที่ CP (ข้อ 3.4)	ระดับสมรรถนะของโครงสร้างและความเสี่ยง		
				โครงสร้างหลัก คอนกรีต	โครงสร้างหลัก เหล็ก	โครงสร้างหลัก ไม้
โครงสร้างหลัก คอนกรีต	- เกิดรอยแตกคราบอย่างชุมชนและเกิดชุดหมุนพลาสติกสำหรับชั้นส่วนที่มีความหนาแน่น	- มีความเสี่ยงทางช่องโหวนและเพลิงไหม้	- เกิดรอยแตกคราบอย่างชุมชนและเกิดชุดหมุนพลาสติกสำหรับชั้นส่วนที่มีความหนาแน่น	- มีความเสี่ยงทางช่องโหวนและเพลิงไหม้	- เกิดรอยแตกคราบอย่างชุมชนและเกิดชุดหมุนพลาสติกสำหรับชั้นส่วนที่มีความหนาแน่น	- เกิดรอยแตกคราบอย่างชุมชนและเพลิงไหม้
โครงสร้างหลัก เหล็ก	- เกิดการแตกคราบอย่างจำกัด (limited cracking) รวมถึงเกิดการเพิ่มเสียงหายบวบผดอยต่อภายในสารที่ไม่มีความหนาแน่น	- มีความเสี่ยงทางช่องโหวนและเพลิงไหม้	- เกิดการแตกคราบอย่างชุมชนและเกิดชุดหมุนพลาสติกสำหรับชั้นส่วนที่มีความหนาแน่น	- มีการแตกคราบอย่างชุมชนและเกิดชุดหมุนพลาสติกสำหรับชั้นส่วนที่มีความหนาแน่น	- ไม่มีการแตกคราบอย่างชุมชนและเกิดชุดหมุนพลาสติกสำหรับชั้นส่วนที่มีความหนาแน่น	- ไม่มีการแตกคราบอย่างชุมชนและเกิดชุดหมุนพลาสติกสำหรับชั้นส่วนที่มีความหนาแน่น
โครงสร้างหลัก ไม้	- มีความเสี่ยงทางช่องโหวนและเพลิงไหม้	- ไม่มีการแตกคราบอย่างชุมชนและเพลิงไหม้	- เกิดรอยแตกที่ทุกด้าน (joint cracks) มีความกว้างไม่เกิน 3 มิลลิเมตร	- ไม่มีการแตกคราบอย่างชุมชนและเพลิงไหม้	- ไม่มีการแตกคราบอย่างชุมชนและเพลิงไหม้	- ไม่มีการแตกคราบอย่างชุมชนและเพลิงไหม้

Local Evaluation of Structures

Evaluation of Components (Local)

Demand-capacity ratio

$$DCR = \frac{Demand}{Capacity}$$

Ductile (deformation-controlled action)
Ex. Plastic-hinge rotation

Brittle (force-controlled action)
Ex. Shear

ชิ้นส่วนโครงสร้าง	พฤติกรรมที่ถูกความคุณโดยการเสียรูป	พฤติกรรมที่ถูกความคุณโดยแรง
โครงสร้างแรงดึง		
ก้าน	ไม่มีมิตต์	แรงตึง
เสา	-	แรงดึงแนวแกน หรือแรงตึง
อุดต่อ	-	แรงตึง
กำแพงรับแรงดึง		
	ไม่มีมิตต์ หรือแรงตึง	แรงดึงแนวแกน
โครงสร้างเบรก		
แมงเม็ง	แรงดึงแนวแกน	-
ก้าน	-	แรงดึงแนวแกน
เสา	-	แรงดึงแนวแกน
อุดถ่ายแรงดึง (shear link)	แรงตึง	แรงดึงแนวแกน หรือไม่มีมิตต์
โครงสร้างทึบ		
	ไม่มีมิตต์ หรือแรงตึง	แรงดึงแนวแกน แรงตึง หรือไม่มีมิตต์

คู่มือการปฏิบัติประกอบมาตรฐานการประเมินและการเสริมความมั่นคงแข็งแรงของโครงสร้างอาคาร 2557

Acceptance Criteria (Nonlinear) – RC Beams

Modeling Parameters

Acceptance Criteria

ตัวแปรสำคัญรับสั่ง			เกณฑ์การยอมรับ		
แบบจำลอง			มาตรฐานพลาสติก (เกรเดียน)		
มุมกนวน	อัตราส่วน		ระดับสมรรถนะ		
พลาสติก (เกรเดียน)	ก้าสั้ง		มาตรฐานพลาสติก (เกรเดียน)		
	ก้มถ่วง		ระดับสมรรถนะ		
			ประเภทของข้อต่อ		
			IO	ชิ้นส่วนหลัก	ชิ้นส่วนรอง
a	b	c		LS	CP
				LS	CP

การวินิจฉัยถึกความคุณโดยการตัด

$\frac{\rho - \rho'}{\rho_b}$	ประเภท เหล็กปลอก	$\frac{V}{b_w d \sqrt{f'_c}}$								
≤ 0.0	C	≤ 0.25	0.025	0.05	0.2	0.010	0.02	0.025	0.025	0.05
≤ 0.0	C	≥ 0.5	0.02	0.04	0.2	0.005	0.01	0.02	0.02	0.04
≥ 0.5	C	≤ 0.25	0.02	0.03	0.2	0.005	0.01	0.02	0.02	0.03
≥ 0.5	C	≥ 0.5	0.015	0.02	0.2	0.005	0.005	0.015	0.015	0.02

มขพ. 1303-57

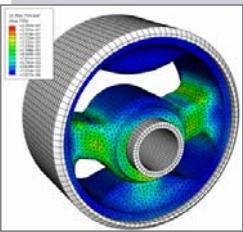
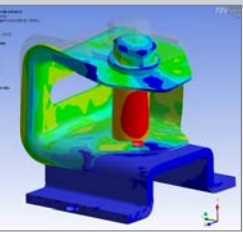
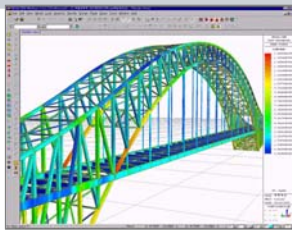
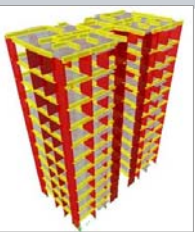
Acceptance Criteria (Nonlinear) – RC Columns

Modeling Parameters			Acceptance Criteria		
ตัวแปรสำคัญสำหรับโครงสร้าง แบบจำลอง		เกณฑ์การยอมรับ			
มุมหักมุม พลาสติก (เรเดียน)	อัตราส่วน กำลัง คงที่	มุมหักมุมพลาสติก (เรเดียน)			
		ระดับสมรรถนะ			
		ประเภทของข้อจำกัด			
		ข้อจำกัดหลัก	ข้อจำกัดรอง		
a	b	LS	CP	LS	CP
การวินิจฉัยความถูกต้องโดยการตัด					
$\frac{P}{A_g f_c}$	$\rho = \frac{A_v}{b_w s}$				
≤ 0.1	≥ 0.006	0.035	0.060	0.2	0.005
≥ 0.6	≥ 0.006	0.010	0.010	0.0	0.003
≤ 0.1	$= 0.002$	0.027	0.034	0.2	0.005
≥ 0.6	$= 0.002$	0.005	0.005	0.0	0.002
		0.020	0.027	0.027	0.034
		0.003	0.004	0.004	0.005

มขท. 1303-57

Commercial Finite Element Software

Commercial Finite Element Program

Researches	Structural Analysis and Design
ABAQUS	SAP2000, ETABS, PERFORM3D, CSiBridge
ANSYS	STAAD Pro
ADINA	MIDAS
DIANA	ROBOT
NASTRAN	SASC
 	 

Nonlinear Finite Element Program

CSI COMPUTERS & STRUCTURES, INC
STRUCTURAL AND EARTHQUAKE ENGINEERING SOFTWARE



SAP2000®
INTEGRATED STRUCTURAL
ANALYSIS AND DESIGN

 SAP2000 17.3.0 Enhancements



ETABS®
INTEGRATED ANALYSIS, DESIGN
AND DRAFTING OF BUILDING
SYSTEMS

 ETABS 15.1.0 Enhancements



PERFORM®3D
NONLINEAR ANALYSIS AND
PERFORMANCE ASSESSMENT OF
3-D STRUCTURES

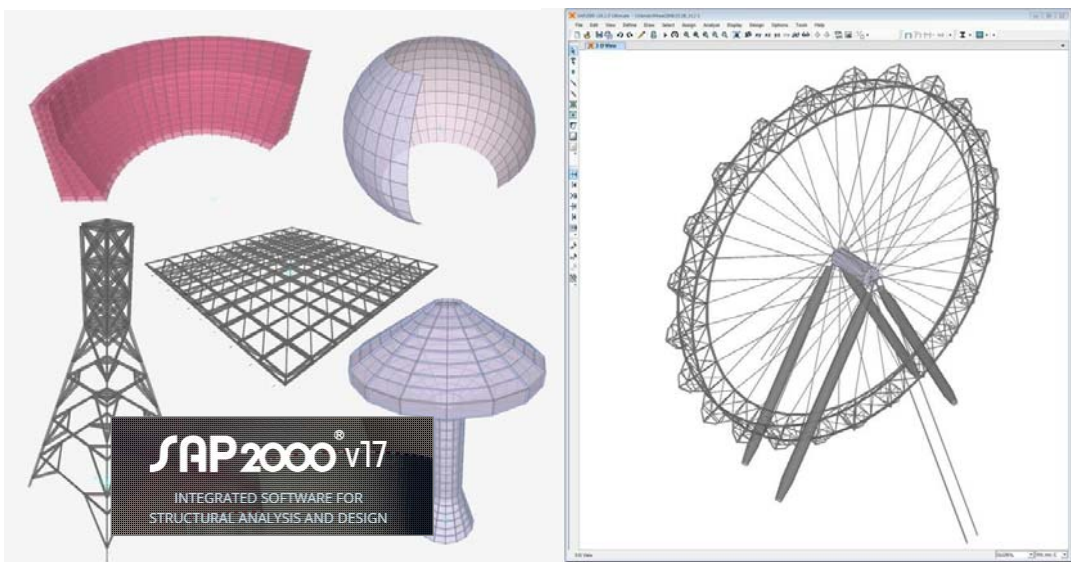
 PERFORM-3D V5 Enhancements

SAP2000 has proven to be the most integrated, productive and practical **general purpose structural** program on the market today.

The innovative and revolutionary new ETABS is the ultimate integrated software package for the structural analysis and design of **buildings**.

PERFORM-3D has powerful capabilities for **inelastic analysis**, and it will help you to produce better design

SAP2000



SAP2000® v17
INTEGRATED SOFTWARE FOR
STRUCTURAL ANALYSIS AND DESIGN

Integrated software for **structural analysis and design**

SAP2000 – Nonlinear Options

Frame Hinge Property Data for FHL - Axial P

Edit

Displacement Control Parameters

Point	Force/SF	Disp/SF
E	-0.2	-8
D	-0.2	-6
C	-1.25	-6
B	-1	0
A	0	0
B	1	0
C	1.25	6
D	0.2	0.2

Load Carrying Capacity Beyond Point E:

- Drops To Zero
- Is Extrapolated

Scaling for Force and Disp:

- Use Yield Force Force SF
- Use Yield Disp Disp SF (Steel Objects Only)

Acceptance Criteria (Plastic Disp/SF):

- Immediate Occupancy
- Life Safety
- Collapse Prevention

Type

- Force - Displacement
- Stress - Strain
- Hinge Length
- Relative Length

Hysteresis Type And Parameters

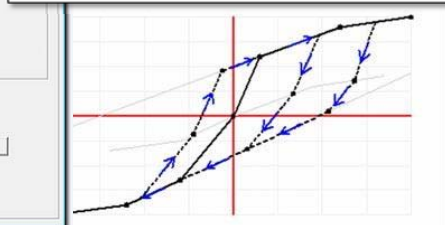
Hysteretic Type: Isotropic

Buckling

- P-Delta
- Pushover
- Time Dependent
- Staged Construction
- Creep and Shrinkage
- Power Spectral Density
- Steady State
- Nonlinear Analysis
- Nonlinear Buckling
- Wilson FNA (Fast Nonlinear Analysis) Method
- Direct Integration Time History
- Material Nonlinearity - Frame, Hinges and Links
- Geometric Nonlinearity - Large Displacement

Links

- Hinges
- Springs
- Nonlinear Link Elements: Gaps and Hooks
- Nonlinear Link Elements: Plasticity, Dampers, Isolators
- Cables - Nonlinear Catenary Behavior
- Nonlinear Frame Hinge Element
- Nonlinear Layered Shell Element



ETABS

ETABS® 2015
INTEGRATED ANALYSIS, DESIGN AND DRAFTING OF BUILDING SYSTEMS

Integrated analysis, design and drafting of building systems

ETABS – Nonlinear Options

Frame Hinge Property Data for FH1 - Moment M2

Point	Moment/SF	Rotation/SF
C ₁	-0.2	-6
D ₁	-0.2	-6
C ₂	-1.25	-6
A	-1	0
B	0	0
C	1	0
D	1.25	6
E	0.2	6
F	0.2	8

Displacement Control Parameters

Type: Moment - Rotation Moment - Curvature
 Hinge Length Relative Length
 Symmetric Isotropic
 Hysteresis No Parameters Are Specified
 Hysteretic Type

Load Carrying Capacity: Drops To Zero Is Extrapolated

Performance Based Design: Output averaging of responses over several time history runs

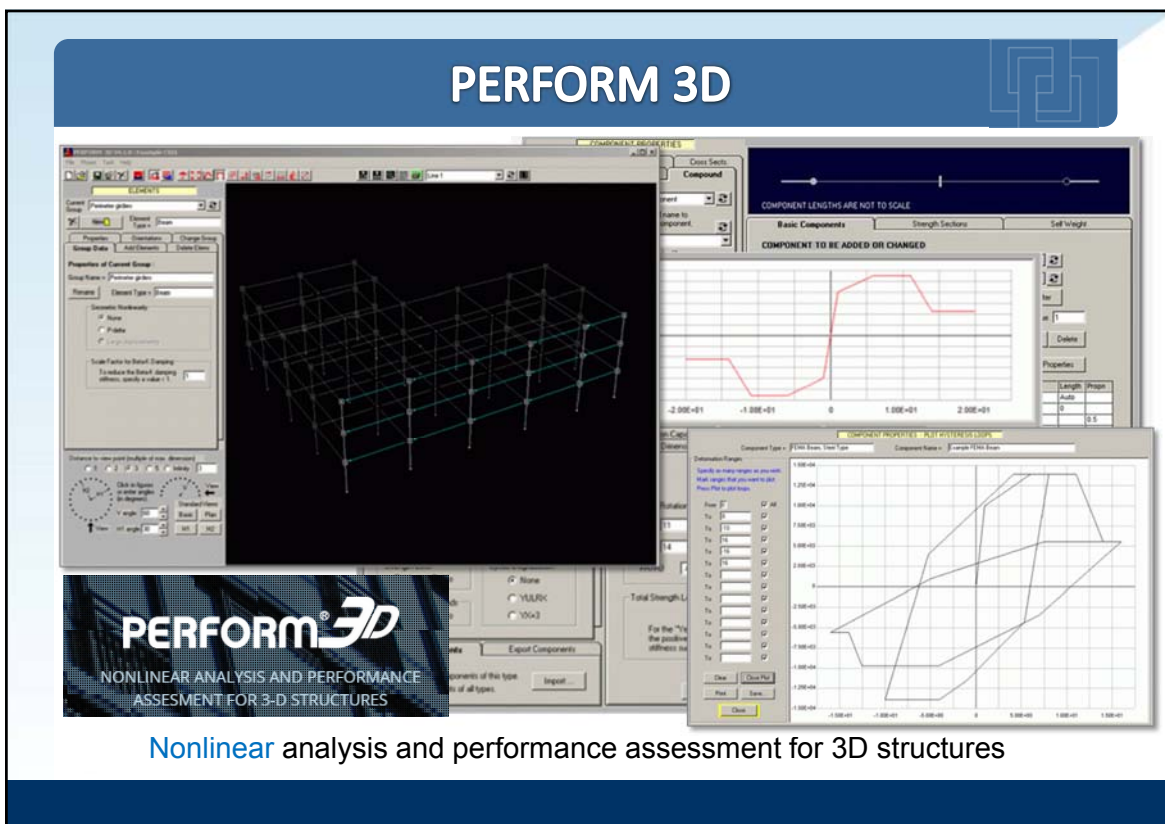
Scaling for Moment: Use Yield Moment Use Yield Rotation (Steel Objects)

Acceptance Criteria: Immediate Collapse Life Safety Collapse Prevention Show Acceptance

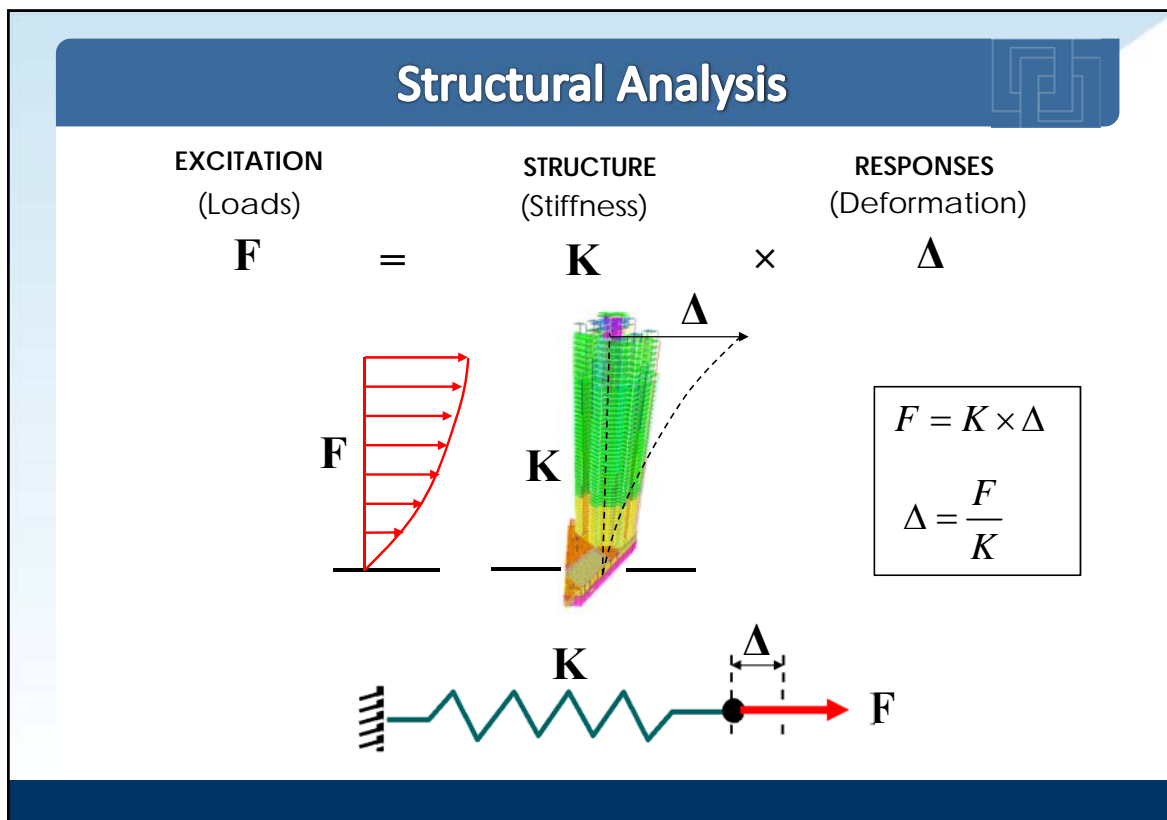
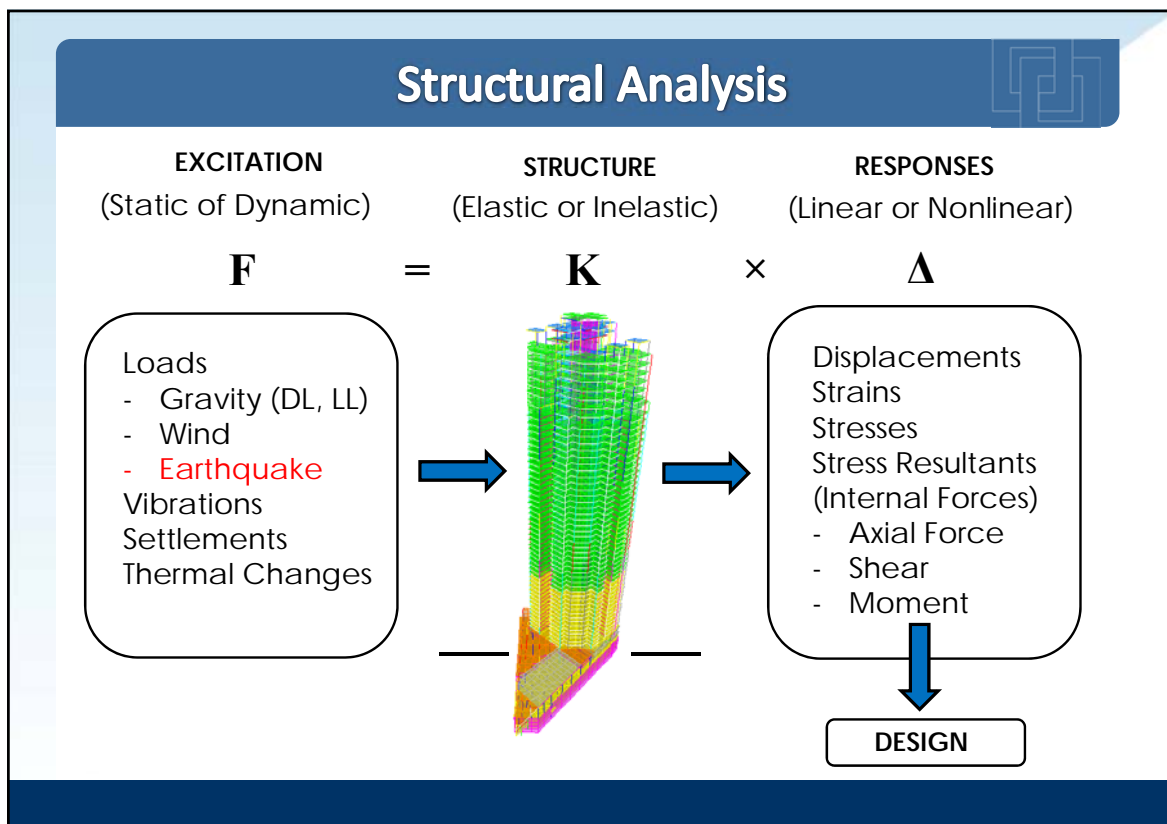
Link Elements: Hinge Properties, Floor Diaphragms, Nonlinear Frame Hinge Element, Nonlinear Layered Shell Element, Nonlinear Link Elements: Gaps and Hooks, Nonlinear Link Elements: Plasticity, Dampers, Isolators

Nonlinear Frame Hinge Element Properties: $\alpha_1 = 10$, $\beta_1 = 0.7$, $\eta = 0$, $\alpha_2 = 10$, $\beta_2 = 0.7$

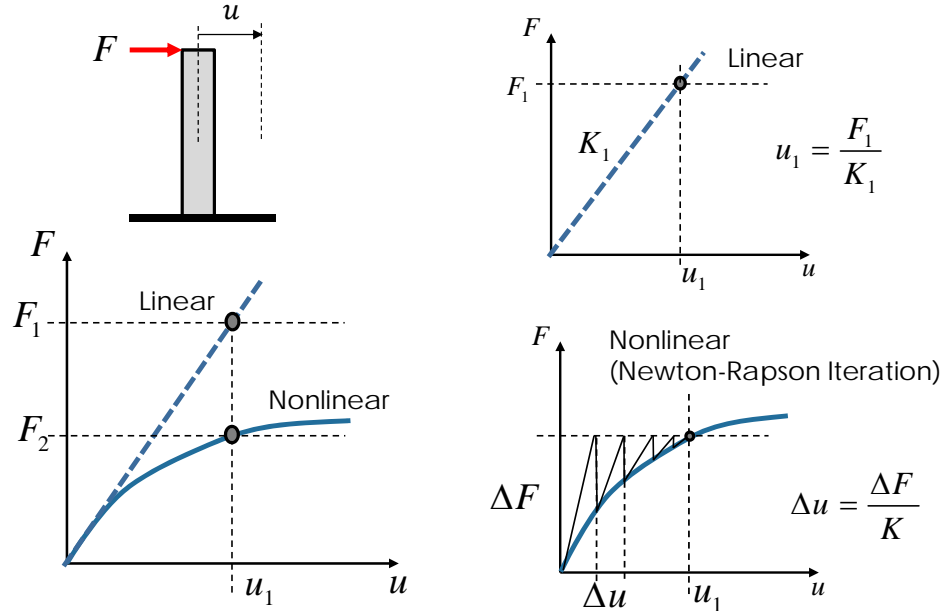
Hysteresis Definition Diagram: Multilinear/Hysteretic Model



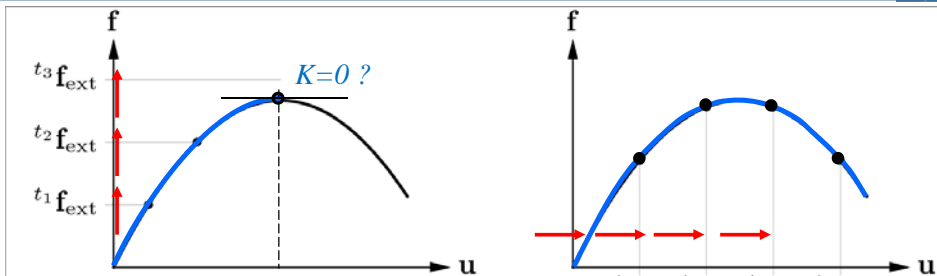
Basic Concepts of Structural Analysis



Linear and Nonlinear Responses

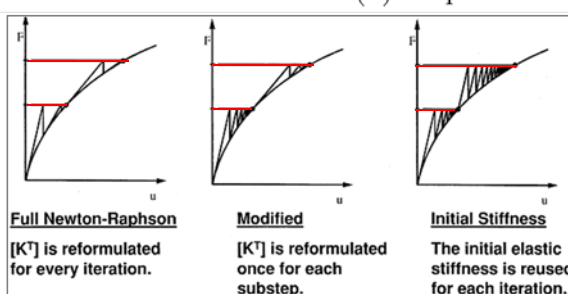


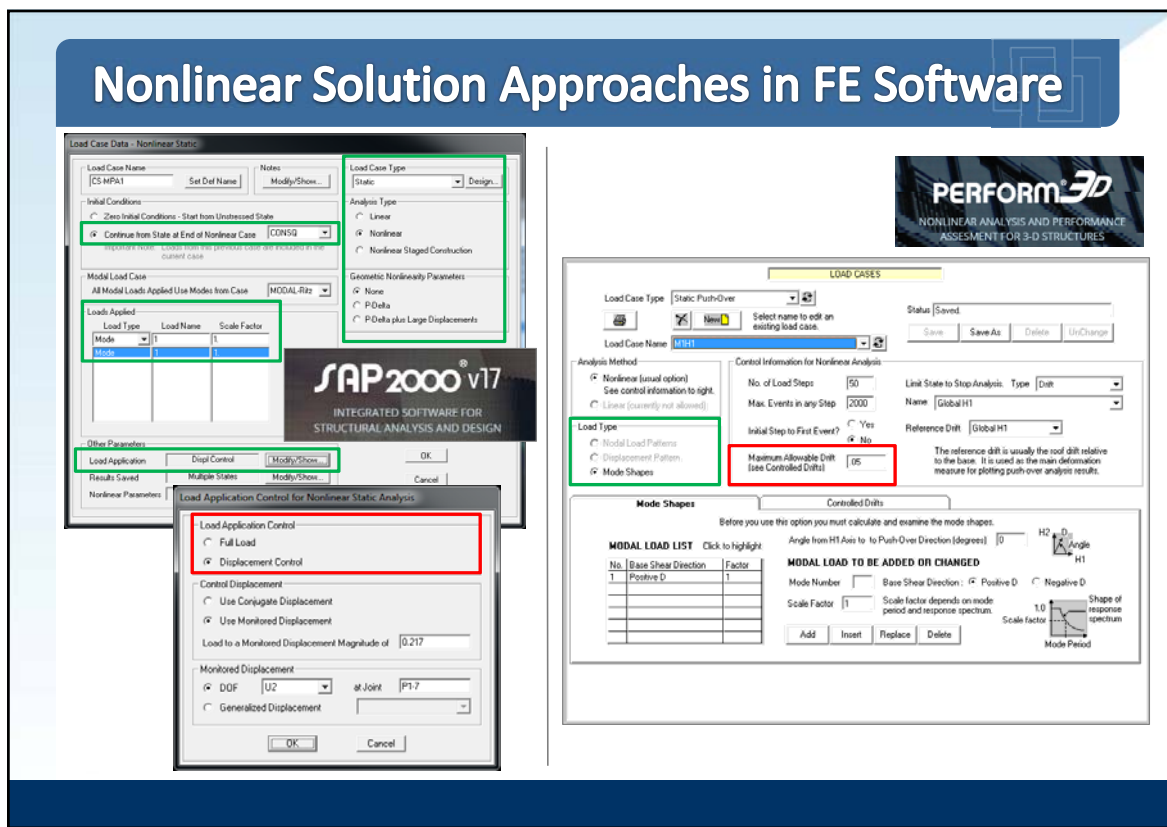
Nonlinear Solution Approaches



(a) Load control

(b) Displacement control





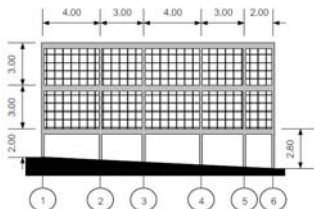
Equilibrium Equations

- Linear – Static
 $Ku = F$
- Linear – Dynamic
 $M\ddot{u}(t) + C\dot{u}(t) + Ku(t) = F(t)$
- Nonlinear – Static
 $Ku + F_{NL} = F$
- Nonlinear – Dynamic
 $M\ddot{u}(t) + C\dot{u}(t) + Ku(t) + F_{NL}(t) = F(t)$

(a)

(b)

Damages from Earthquakes (Thailand)



อาคารบ้านพักอาศัยที่ถล่มจากเหตุการณ์แผ่นดินไหว
กฤษกระร่วง กำหนดให้อาคารที่ต้องออกแบบรับแผ่นดินไหวคือพาก
อาคารสาธารณะกับอาคารสูงกิน 15 เมตร
ดังนั้นบ้าน 2 ชั้นทั่วๆไปก็เลยไม่มีการคำนวณ หลังจากนี้จะมีการ
ปรับเรื่องกฤษกระร่วงกันข้นนาให้ญี่

บทเรียนจากความเสียหายที่เกิดกับอาคาร, แผ่นดินไหวแม่ลาว, เชียงราย, สุทัศน์ลีลาทวีวัฒน์, เป็นหนึ่ง วนิชชัย

Damages from Earthquakes (Thailand)

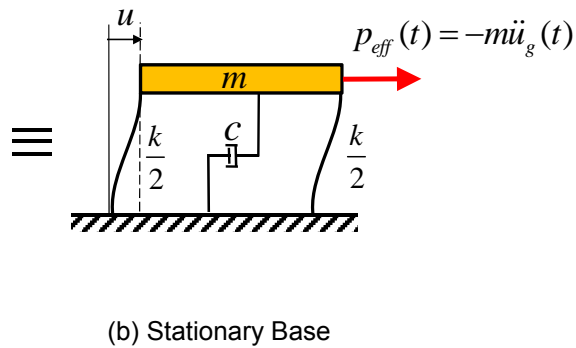
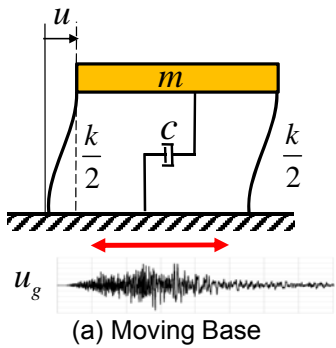


อาคารไม้ในบริเวณศูนย์กลางแผ่นดินไหว

อาคารพักอาศัยที่อยู่ในบริเวณ
 ใกล้เคียงกับอาคารสามชั้นข้างตัน มี
 ลักษณะเป็น บ้านไม้ ที่ตั้งอยู่บนเสา
 คอนกรีตโดยที่ เสาคอนกรีตจะหยุดที่
 พื้นชั้นที่สอง จากการสังเกตภายนอก
ไม่พบความเสียหายที่เกิดขึ้นต่อ
โครงสร้าง
 สาเหตุสำคัญน่าจะมาจากการที่
อาคารมีน้ำหนักเบา ทำให้แรง
แผ่นดินไหวมีค่าน้อย และเนื่องจาก
อาคารไม่สามารถโถกตัวและเสียรูป
ได้ดีว่าอาคารคอนกรีต อาคาร
 หลังนี้และอาคารไม้ที่พับโดยทั่วไปจึง
 ได้รับความเสียหายที่ค่อนข้างน้อย

บทเรียนจากความเสียหายที่เกิดกับอาคาร, แผ่นดินไหวแม่ลาว, เชียงราย, สุทัศน์ลีลาทวีวัฒน์, เป็นหนึ่ง วนิชชัย

Earthquake Forces



Effective Earthquake Force, $p_{eff}(t)$

$$p_{eff}(t) = -m\ddot{u}_g(t)$$

$m \rightarrow 0 ?$

$\ddot{u}_g \rightarrow 0 ?$

แรงจากแผ่นดินไหว มีค่าตามมวล (หรือน้ำหนักของโครงสร้าง) และความเร่งของพื้นดิน

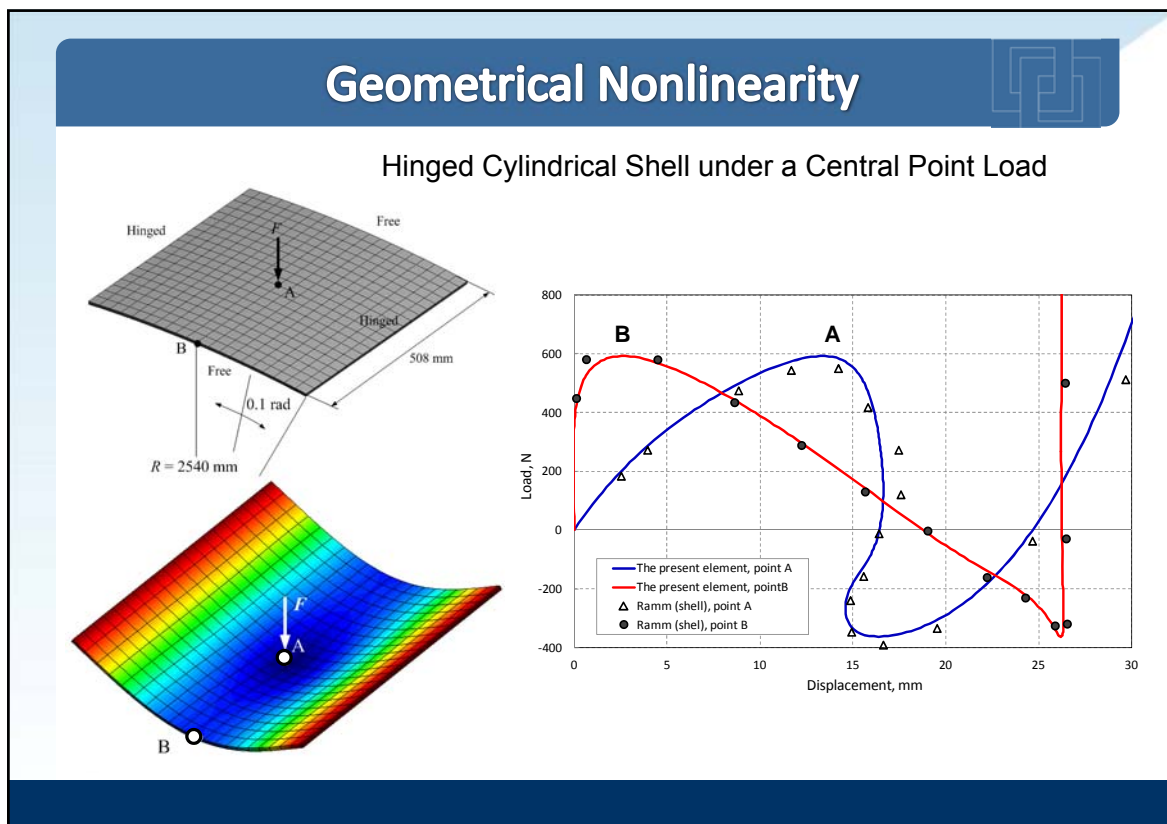
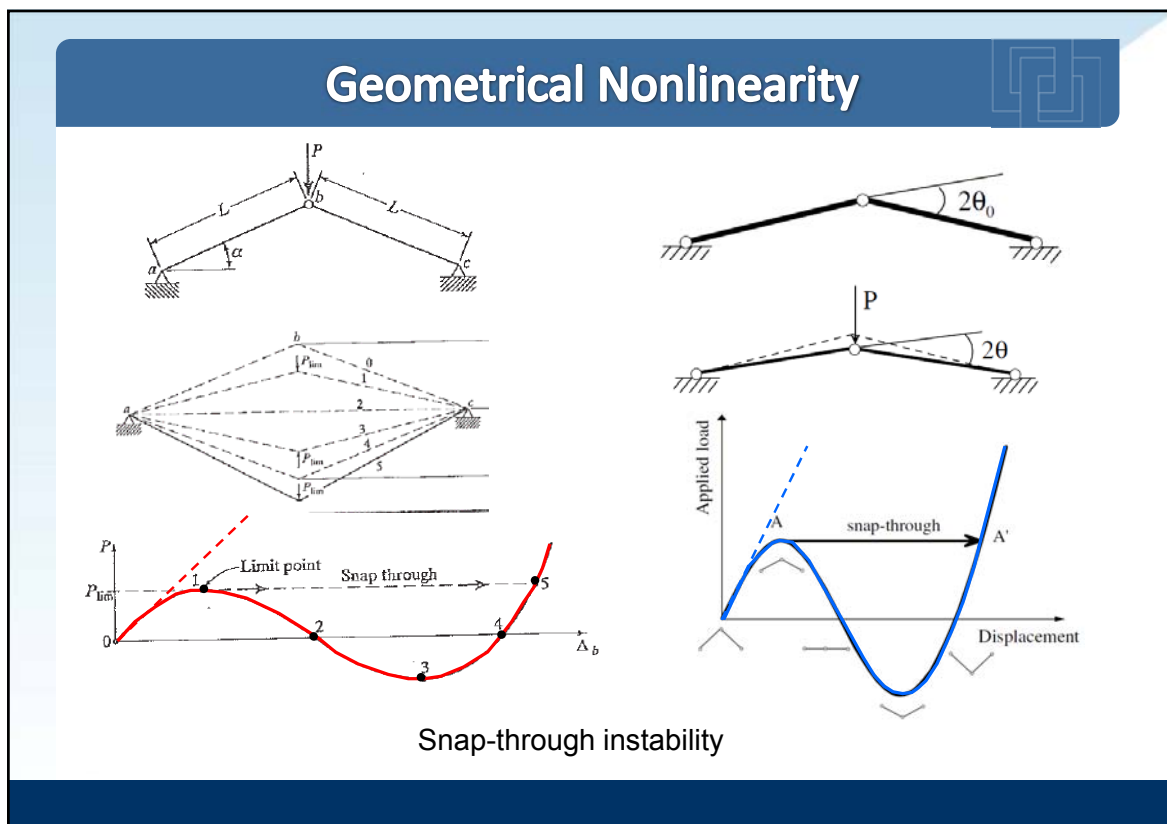
Basic Sources of Nonlinearity

Geometrical Nonlinearities

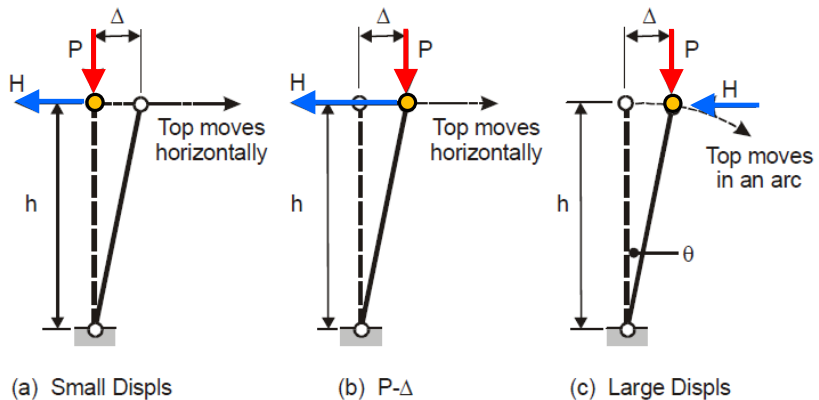
- P-Delta Effect
- Buckling Effect
- Large Displacement Effect

Material Nonlinearities

- Cracking in Concrete
- Crushing in Concrete
- Yielding in Steel
- Creep and Shrinkage (time-dependent)



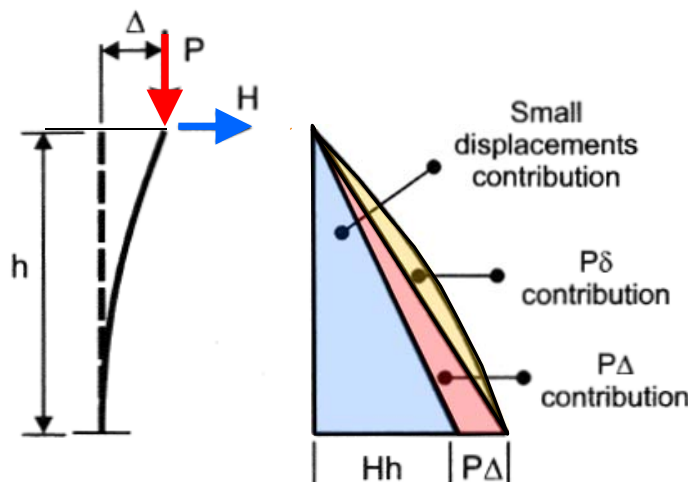
Geometrical Nonlinearity



Equilibrium	Undeformed position	Deformed position (minor approximations)	Deformed position
Compatibility relationships	Linear	Linear	Nonlinear
Geometric nonlinearity	Ignored	Considered approximately	Considered

Modeling for Structural Analysis, Behavior and Basics, Graham H. Powell

P- Δ Effect in Cantilever Column



(a) Column

(b) Bending Moments

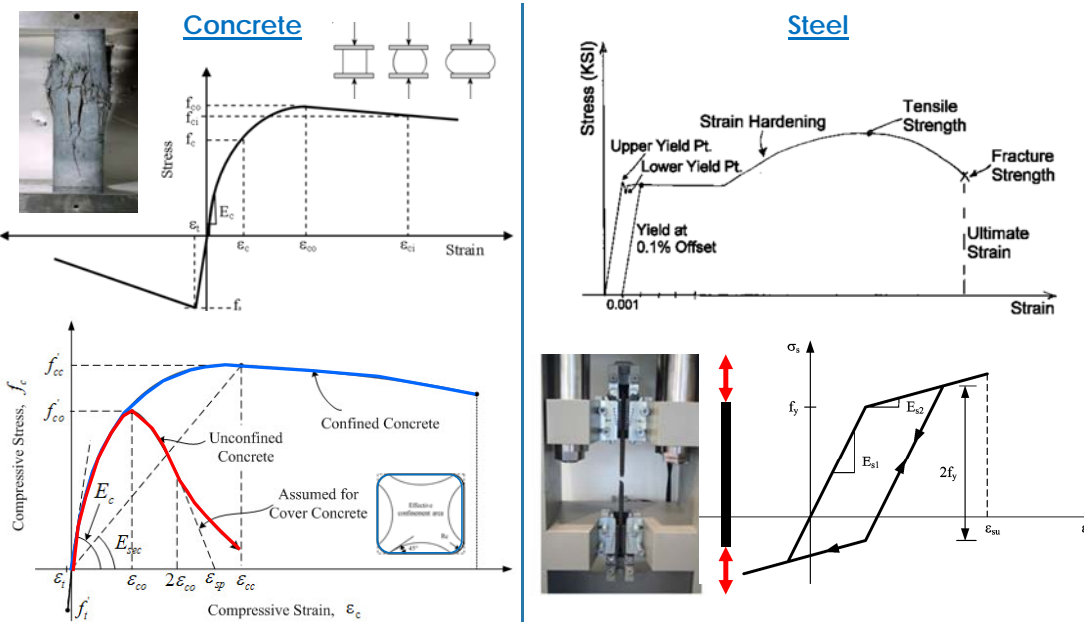
Modeling for Structural Analysis, Behavior and Basics, Graham H. Powell

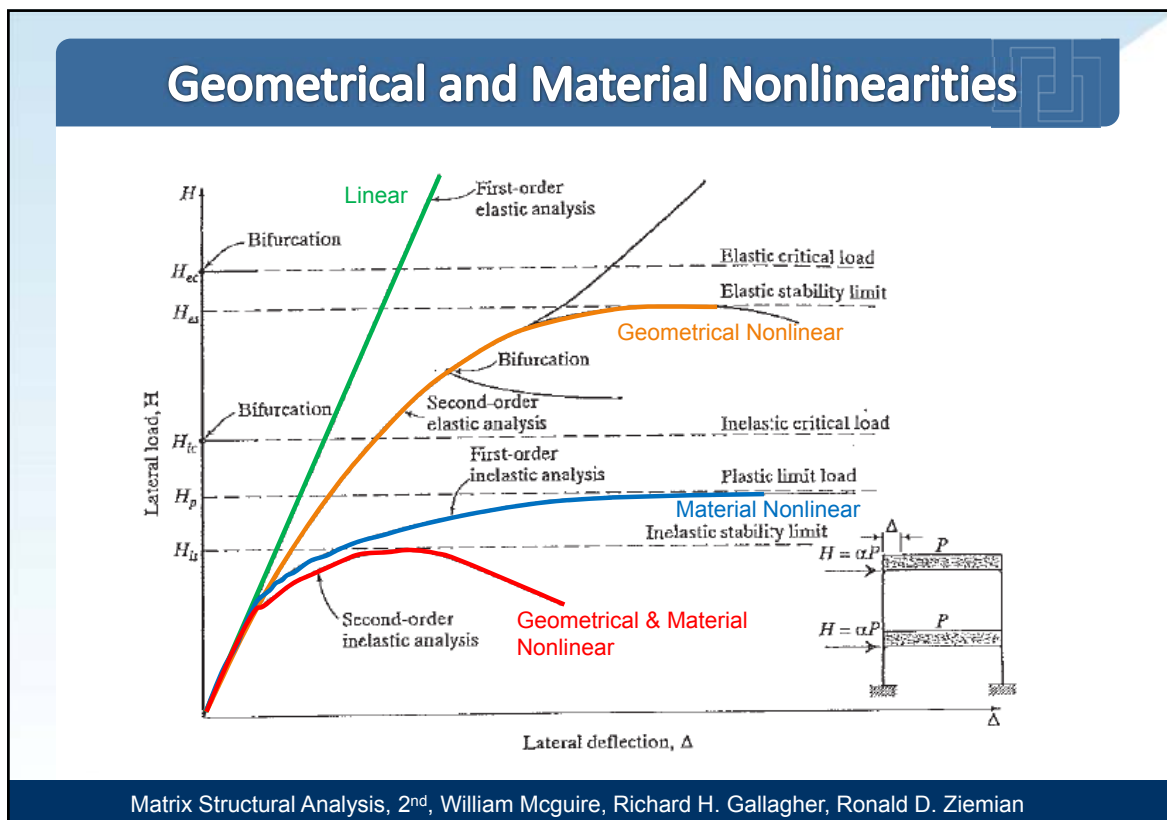
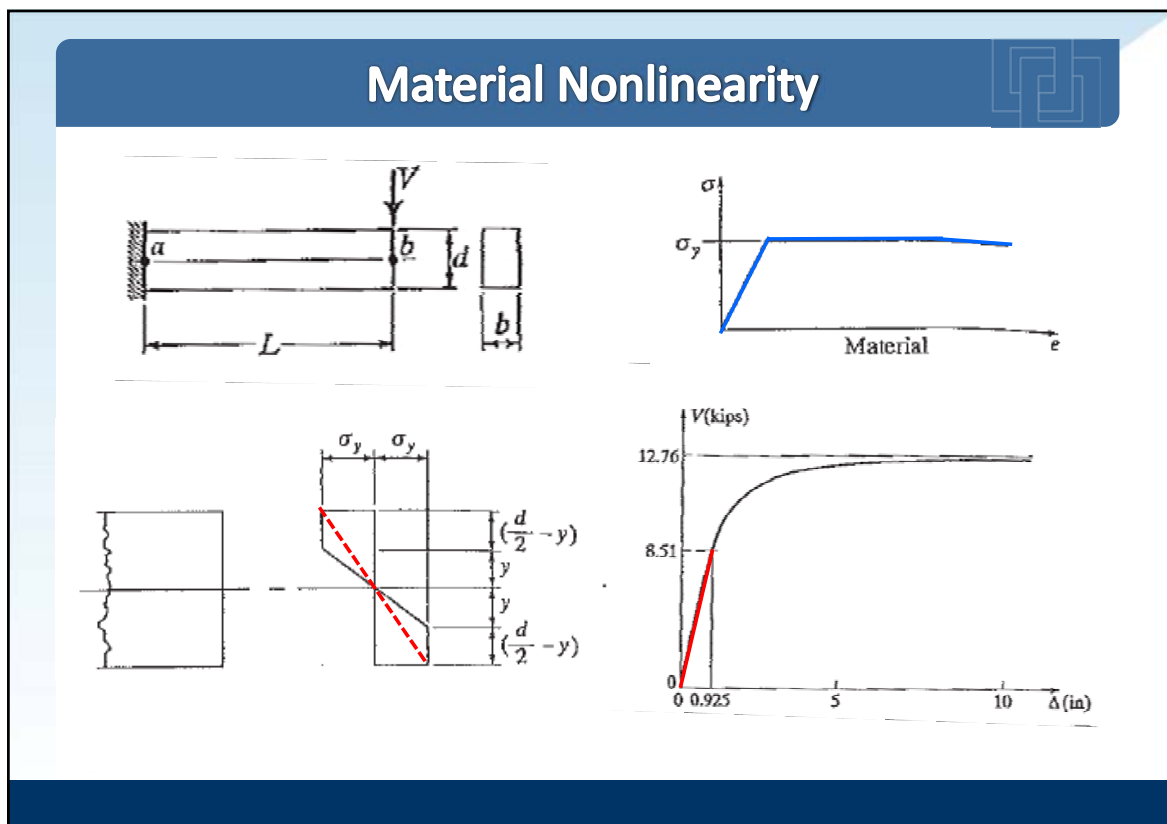
Geometrical Nonlinearity

- If geometric nonlinearity must be considered, it is almost always accurate enough to use $P-\Delta$ analysis.
- Only for very flexible structures, such as cable structures, is it necessary to use large displacements analysis.
- $P-\Delta$ analysis is more efficient computationally than large displacements analysis.
- For most structures, it is a waste of computer time to account for true large displacements.

Modeling for Structural Analysis, Behavior and Basics, Graham H. Powell

Material Nonlinearity

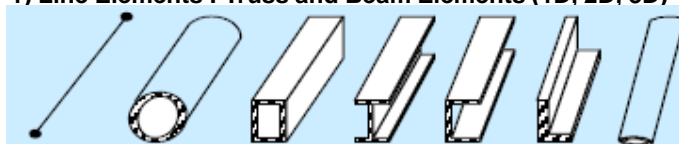




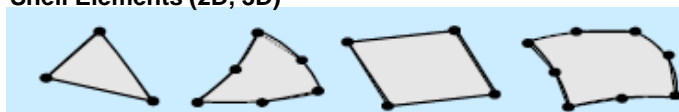
Basics of Structural Modeling

Element Types

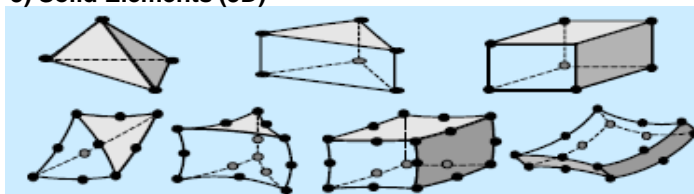
1) Line Elements : Truss and Beam Elements (1D, 2D, 3D)

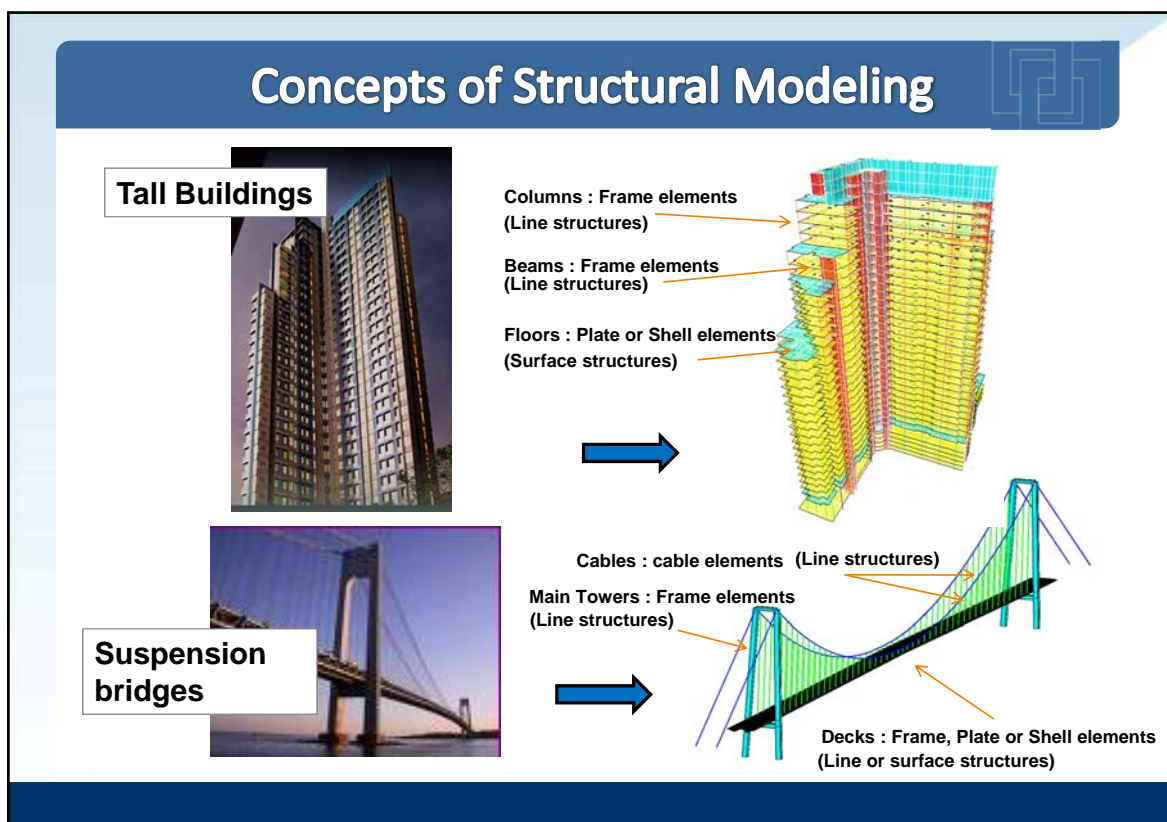
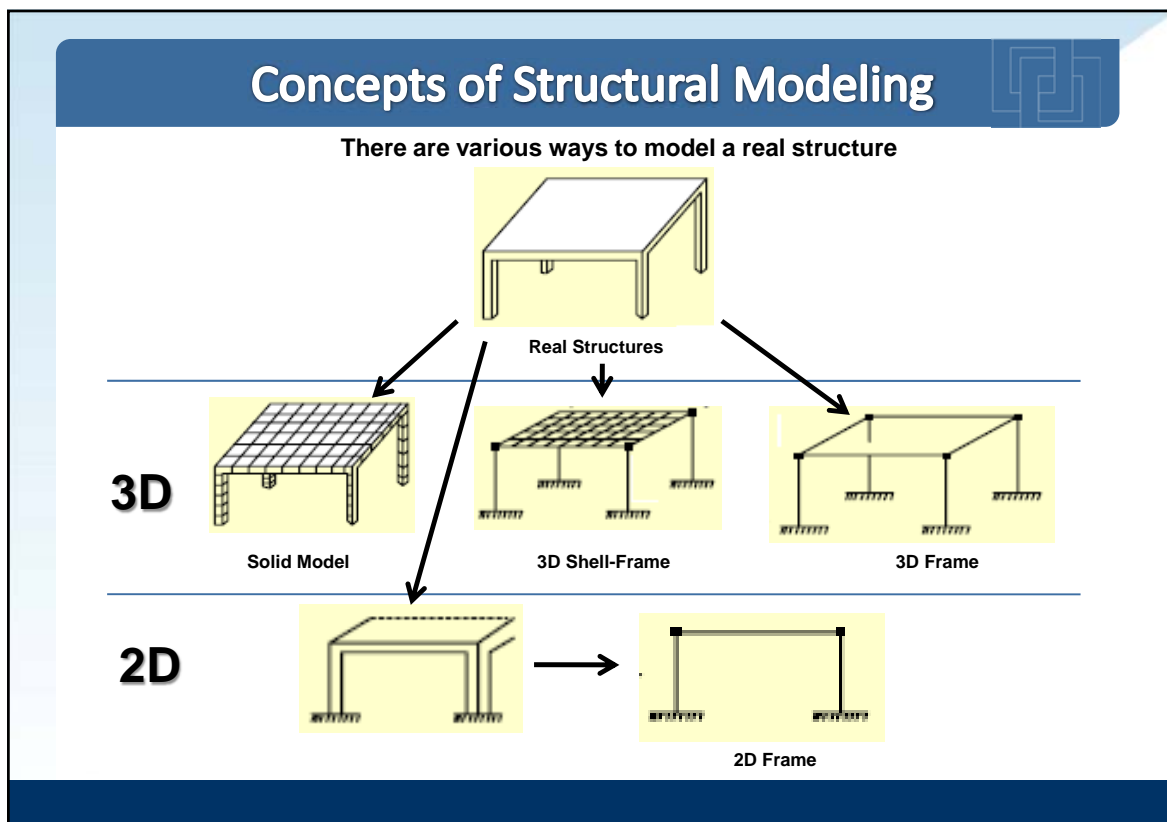


2) Surface Elements : Plane Stress, Plane Strain, Plate and Shell Elements (2D, 3D)



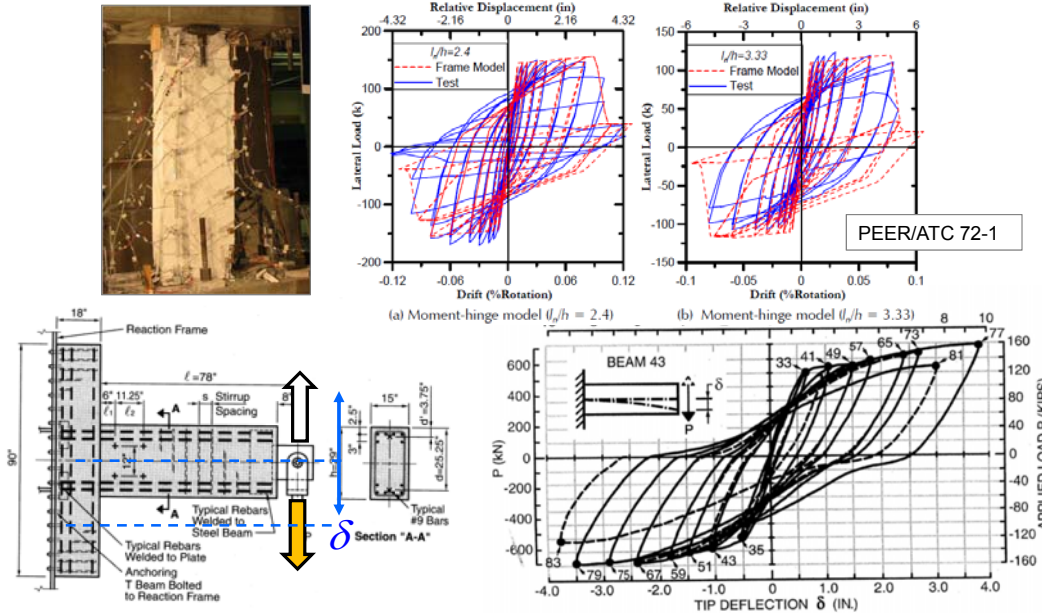
3) Solid Elements (3D)





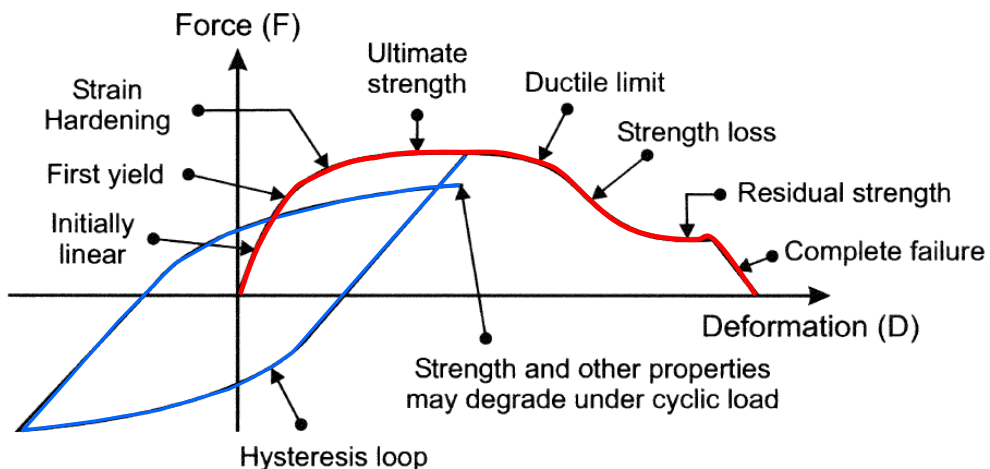
Nonlinear Components

Force-Deformation Relationship



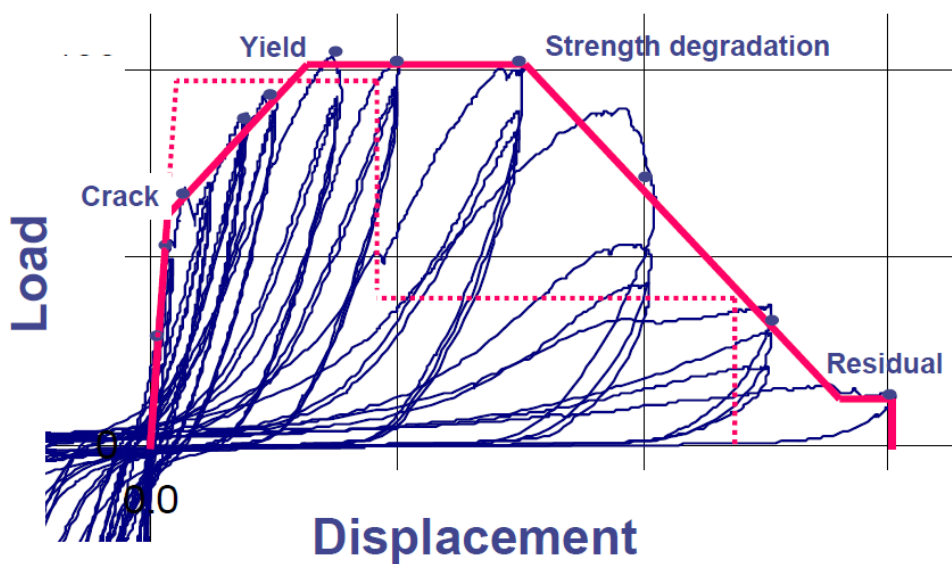
Beam test subassembly as performed by Popov et al. (1972)

Force-Deformation Relationship

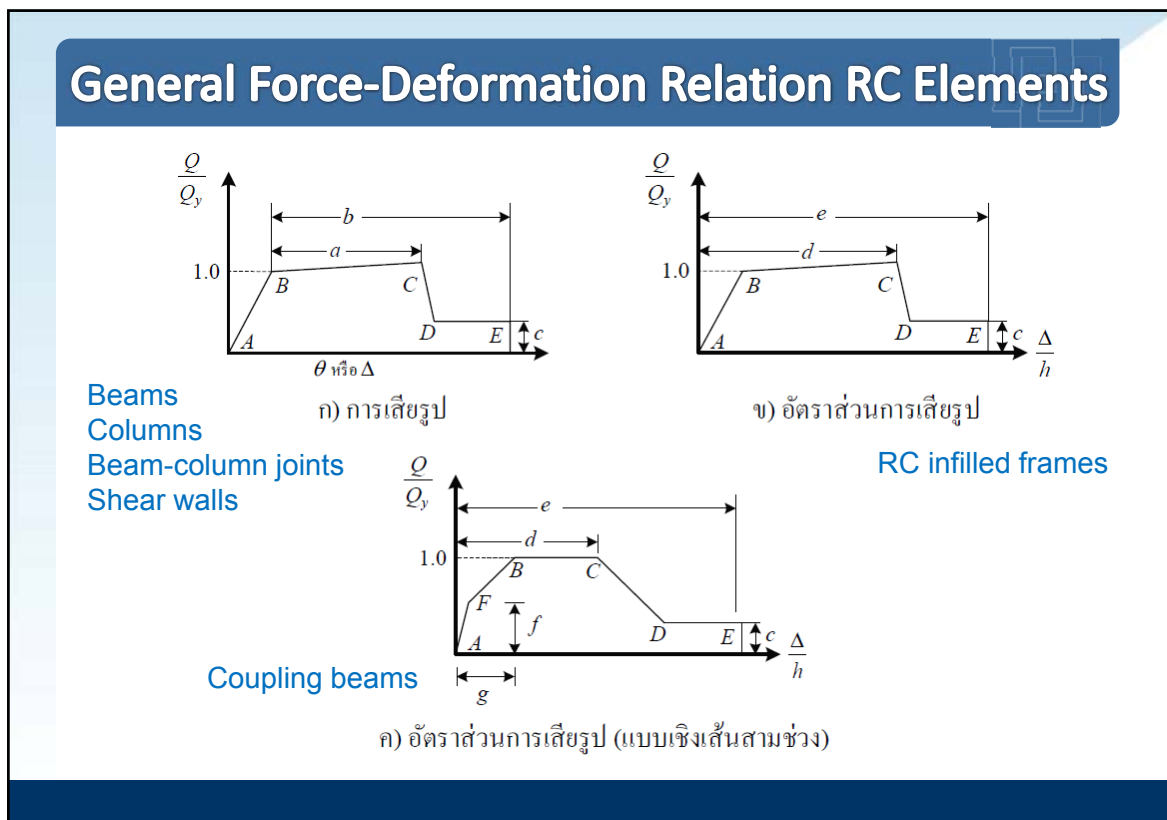
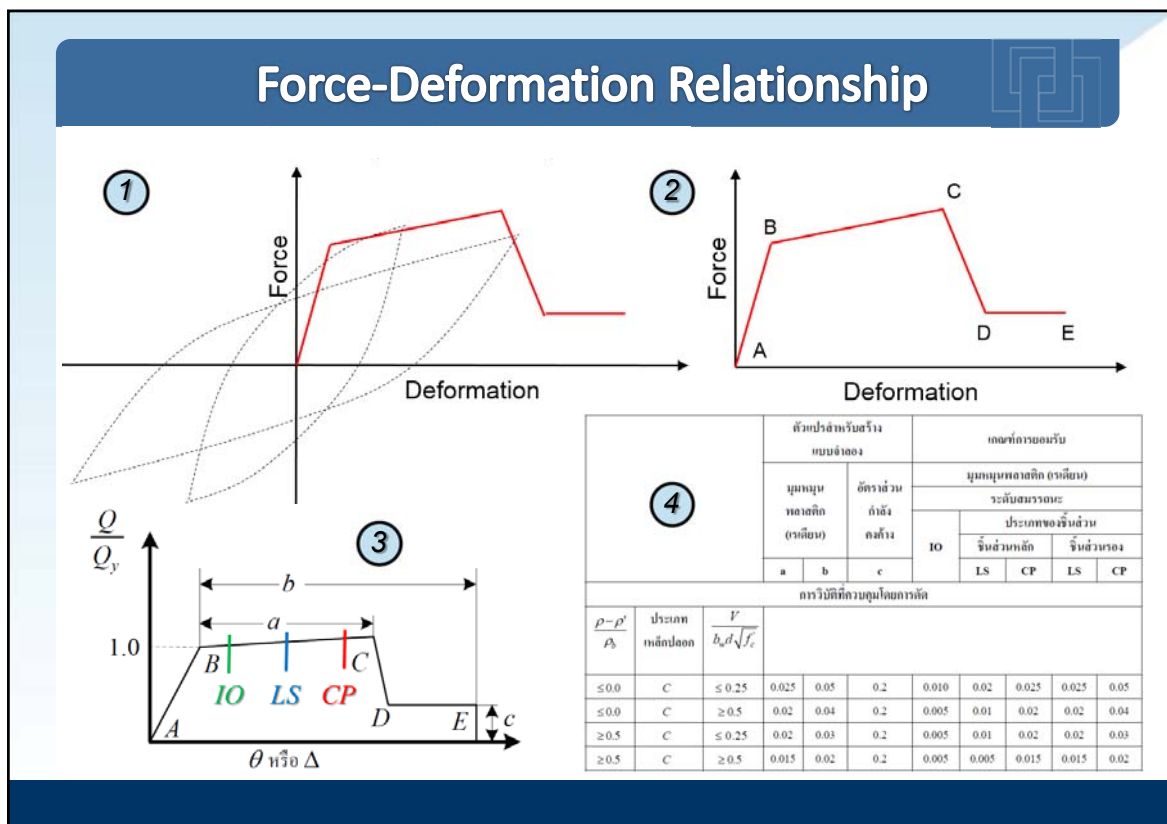


Modeling for Structural Analysis, Behavior and Basics, Graham H. Powell

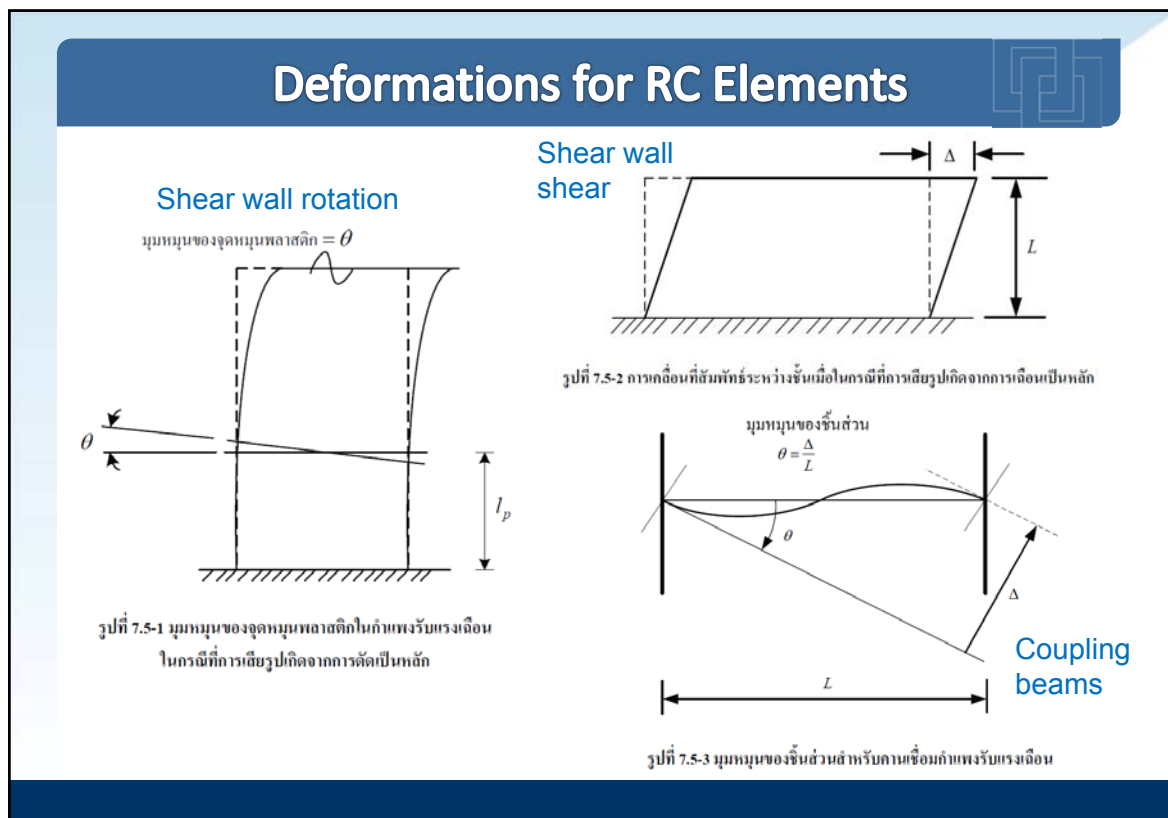
Force-Deformation Relationship



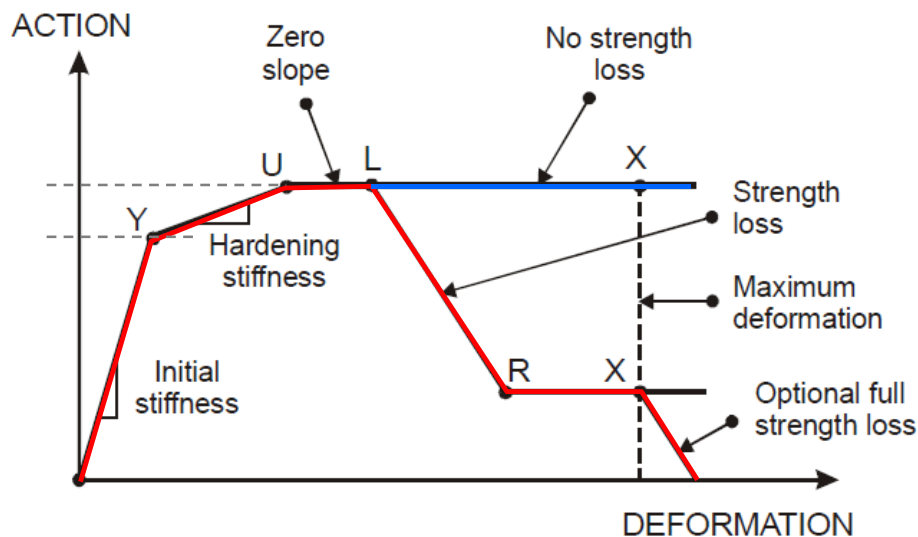
Lightly-Reinforced Wall Segments, John Wallace, UCLA



Acceptance Criteria (Nonlinear) – RC Beams									
Modeling Parameters			Acceptance Criteria						
ตัวแปรสำหรับสร้างแบบจำลอง			เกณฑ์การยอมรับ						
มุ่งมุน พลาสติก (เรเดียน)	อัตราส่วน กำลัง คงค้าง	IO	มุ่งมุนพลาสติก (เรเดียน)						
			ระดับสมรรถนะ						
			ประภาคของชั้นส่วน						
			ชั้นส่วนหลัก			ชั้นส่วนรอง			
a	b	c	LS	CP	LS	CP			
การวินิจฉัยความถูกต้องโดยการตัด									
$\frac{\rho - \rho'}{\rho_b}$	ประภาค เหล็กปลอก	$\frac{V}{b_w d \sqrt{f_c'}}$							
≤ 0.0	C	≤ 0.25	0.025	0.05	0.2	0.010	0.02	0.025	0.025
≤ 0.0	C	≥ 0.5	0.02	0.04	0.2	0.005	0.01	0.02	0.02
≥ 0.5	C	≤ 0.25	0.02	0.03	0.2	0.005	0.01	0.02	0.02
≥ 0.5	C	≥ 0.5	0.015	0.02	0.2	0.005	0.005	0.015	0.015
มขท. 1303-57									

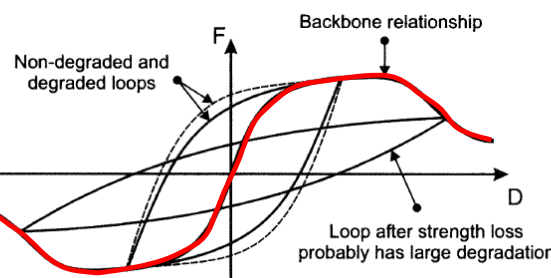


Force-Deformation Relationship

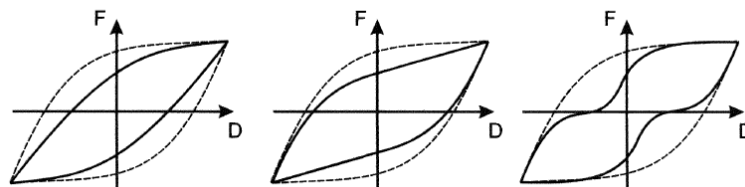


PERFORM Components and Elements, CSI

Hysteresis Loop and Backbone Relationship

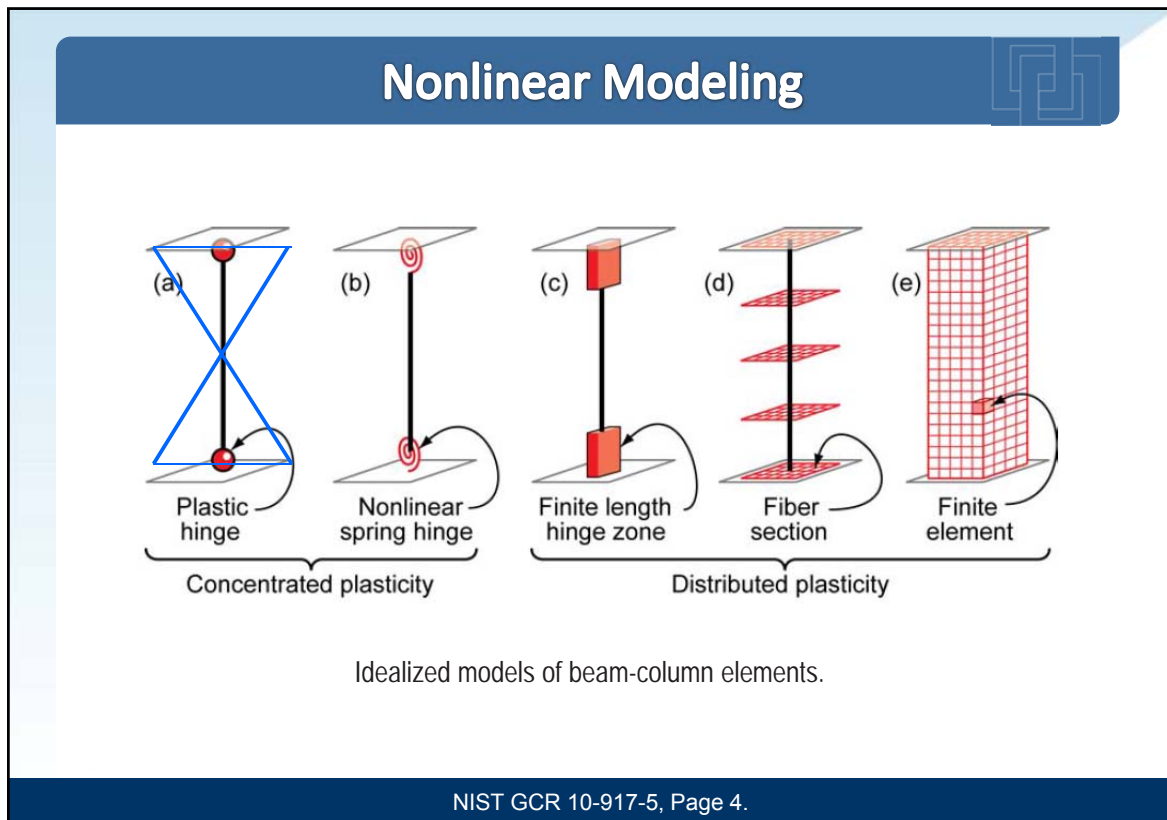
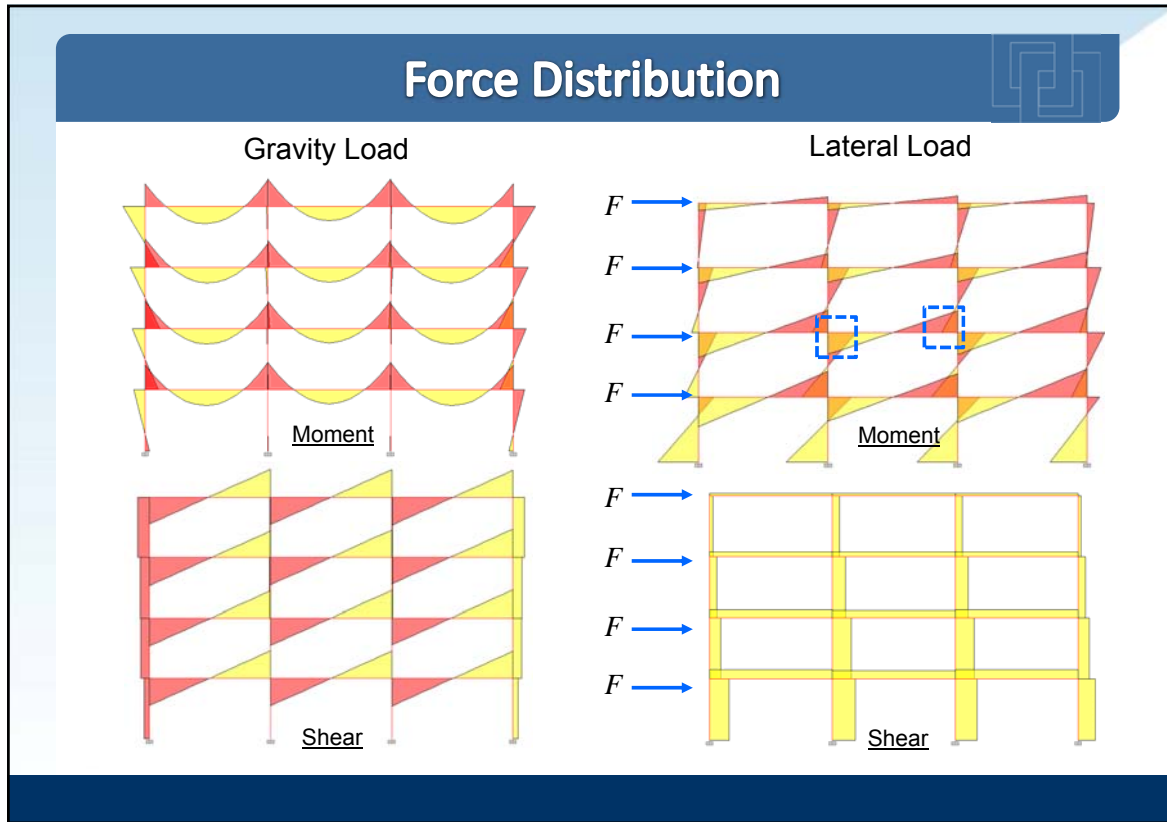


(a) Hysteresis loops are anchored to backbone relationship

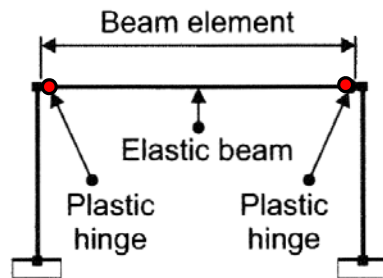


(b) Different types of stiffness degradation

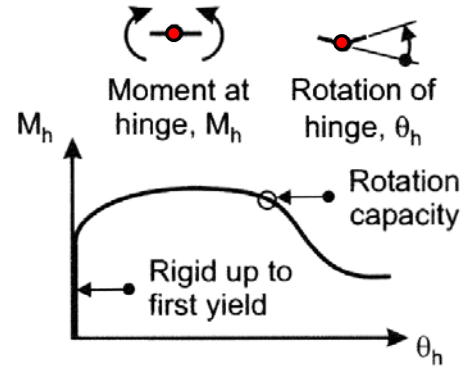
PERFORM Components and Elements, CSI



Plastic Hinge



(a) Frame with beam element

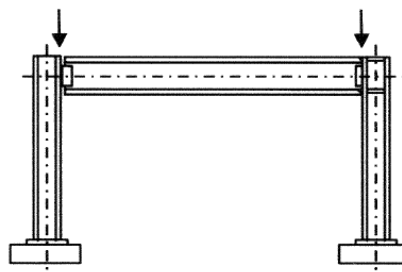


(b) Hinge behavior

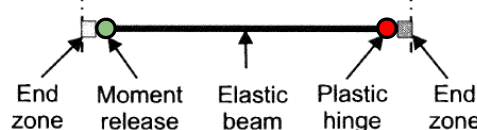
PERFORM Components and Elements, CSI

Element Composed of Several Components

Non moment-resisting connection Ductile moment-resisting connection



(a) Frame



(b) Beam element

PERFORM Components and Elements, CSI

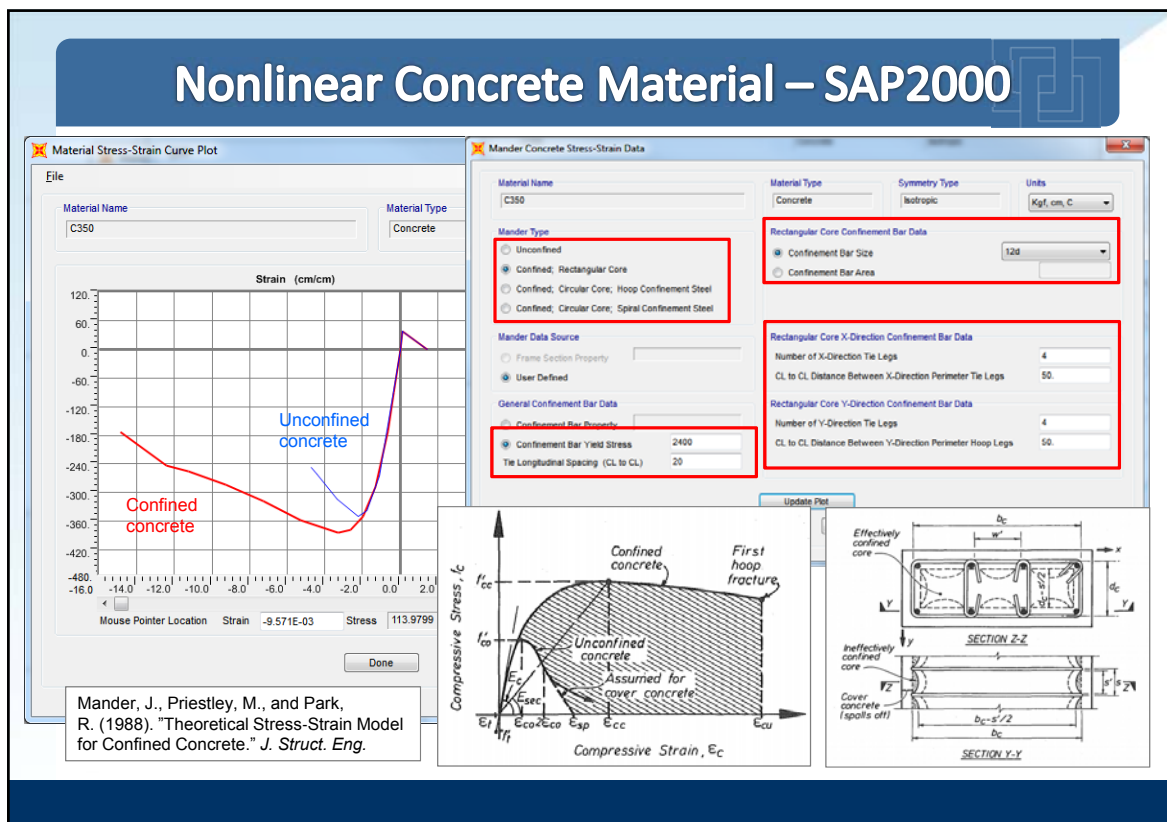
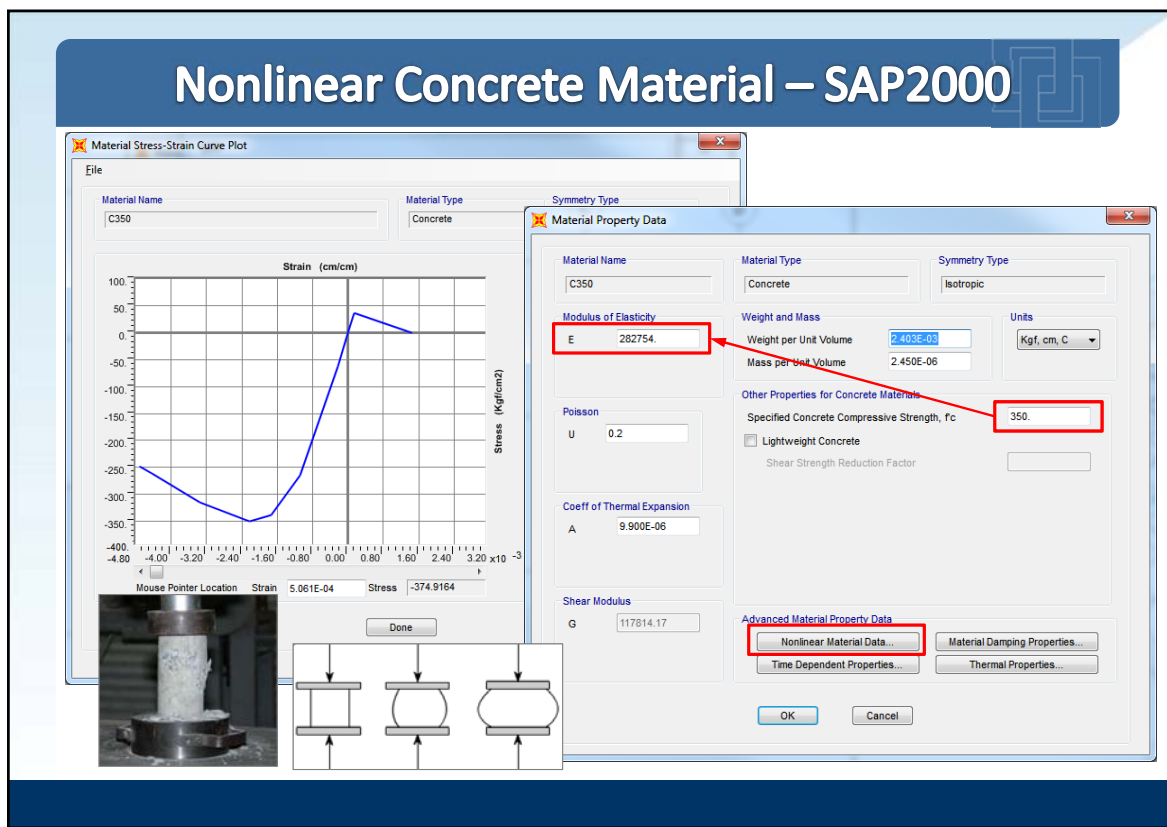
Nonlinear Components

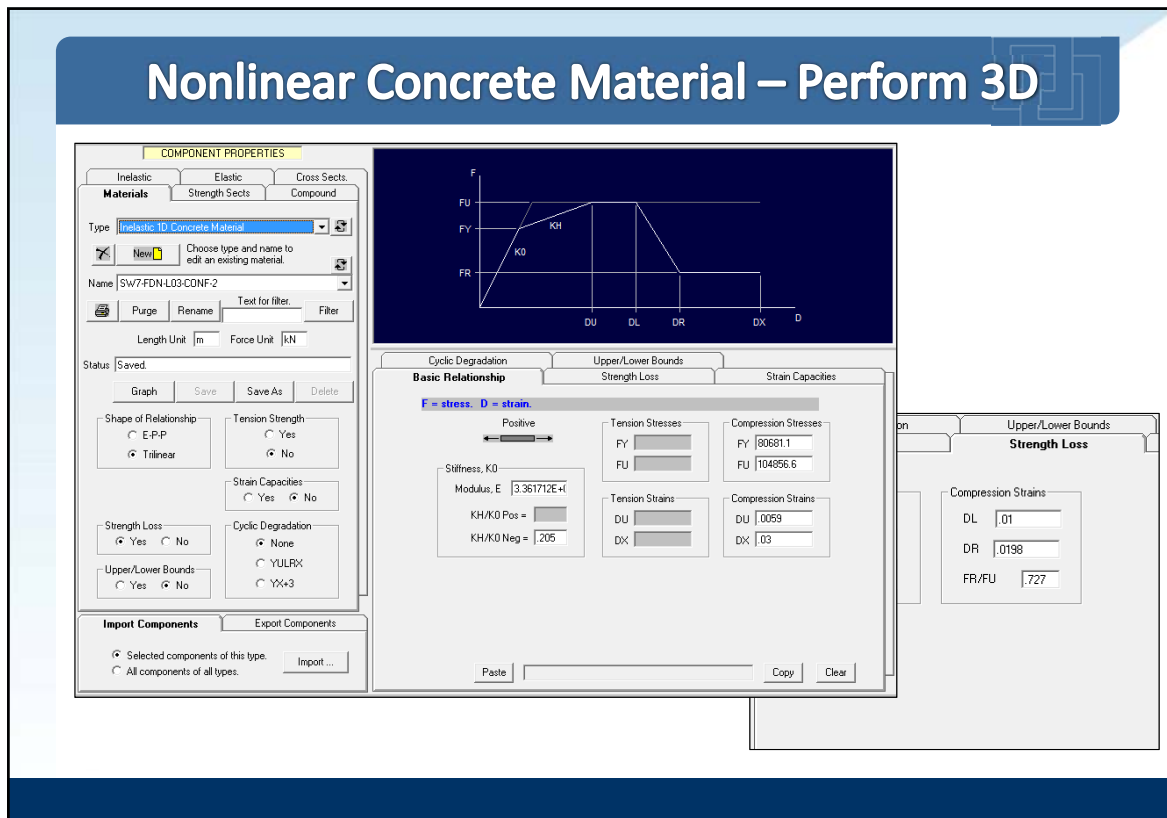
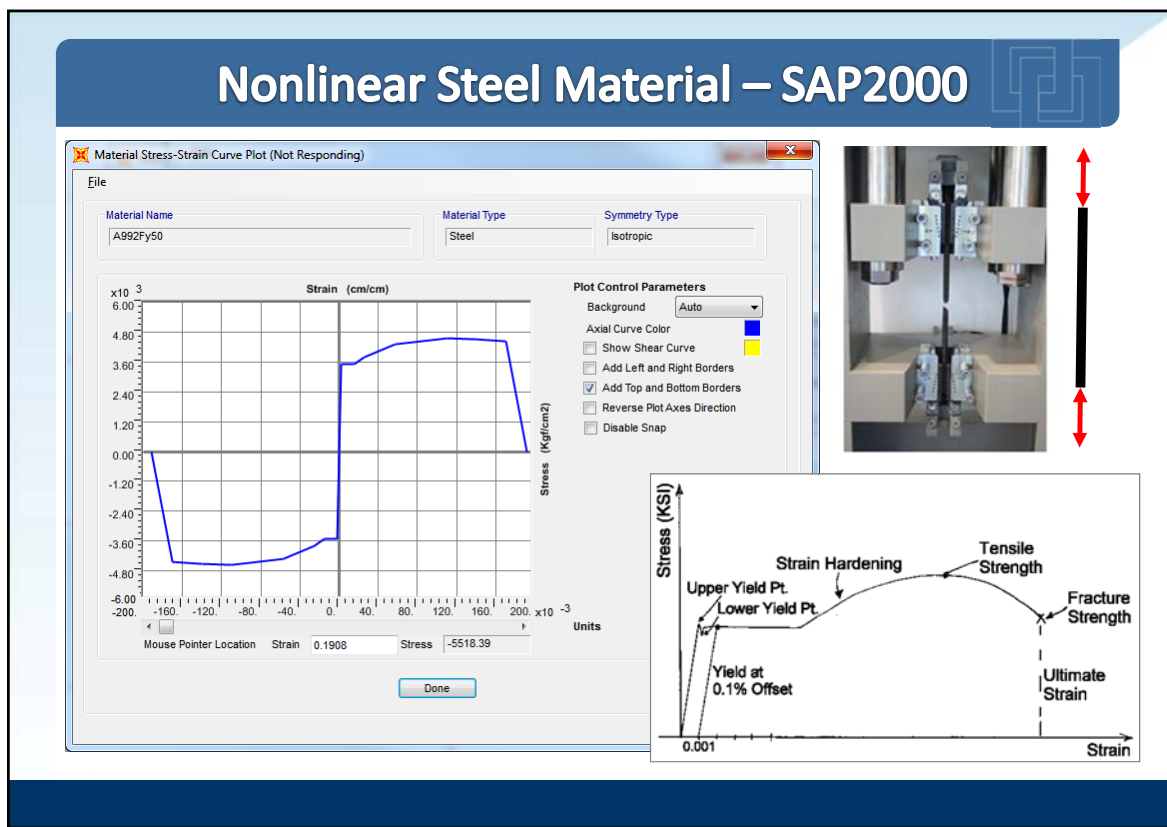


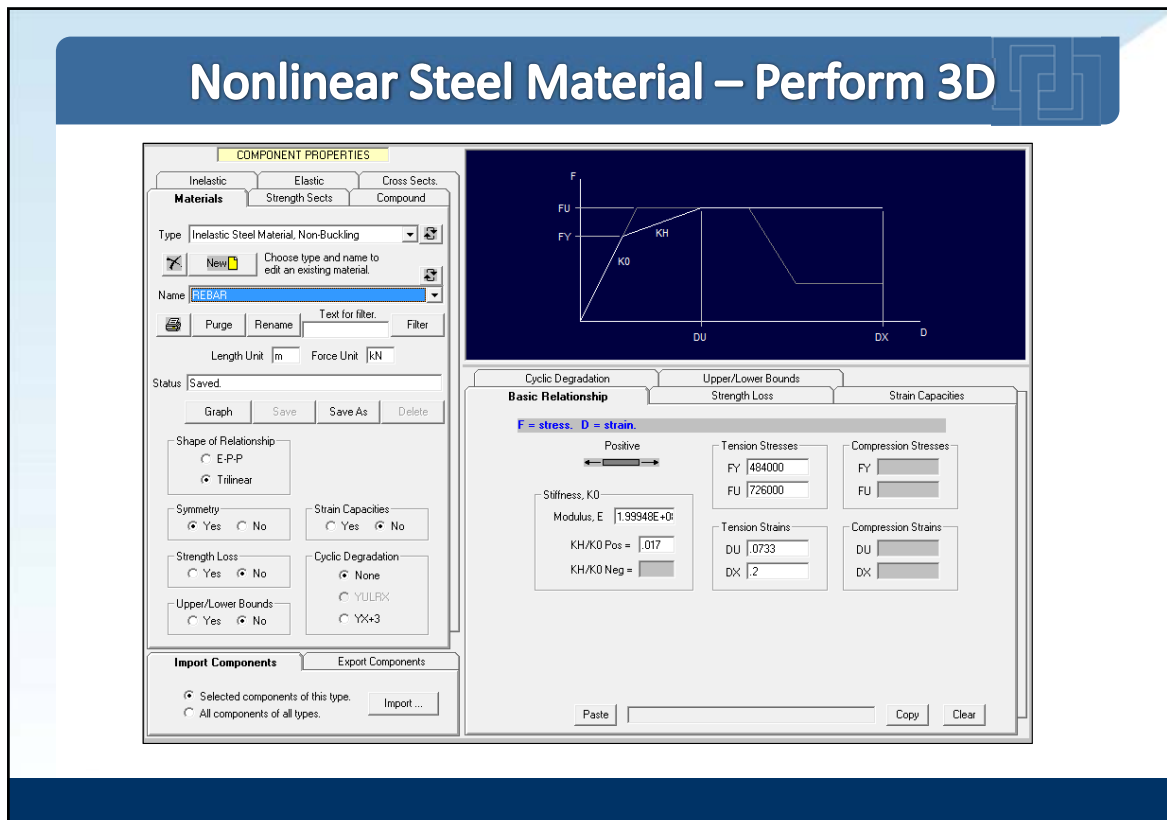
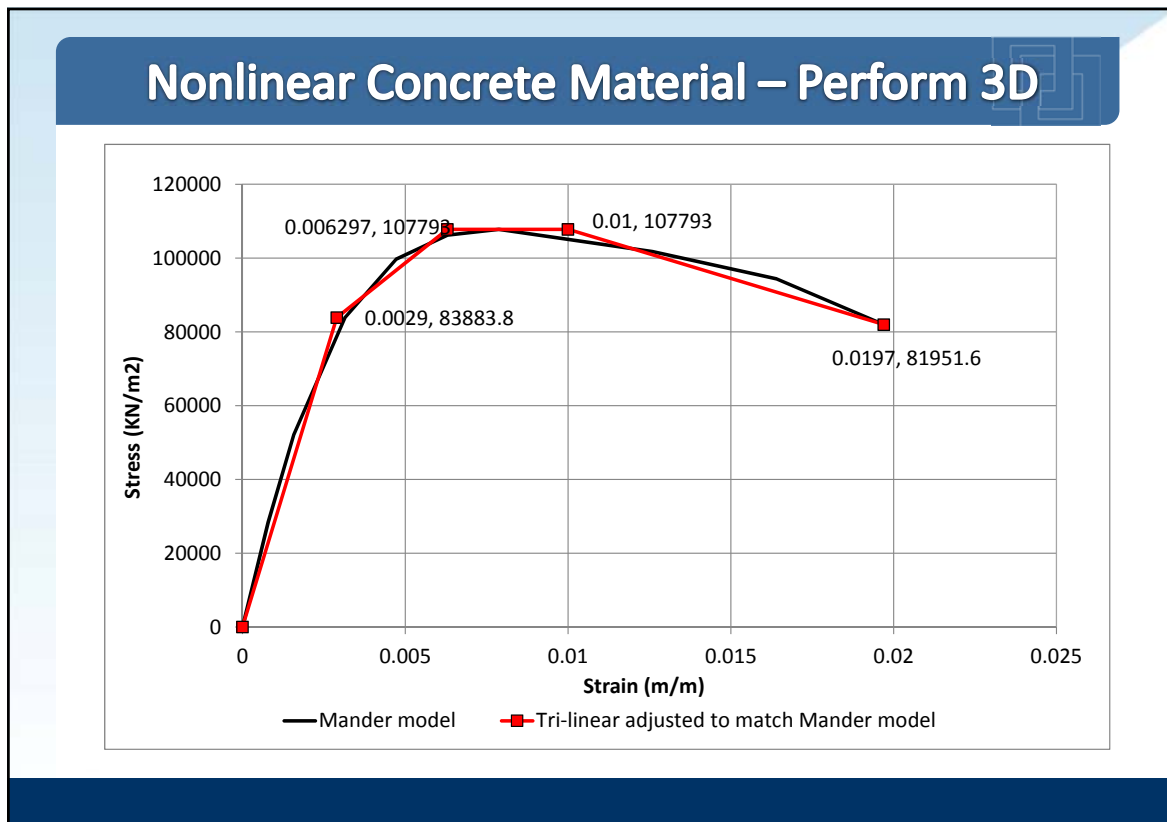
- Truss - Yielding and buckling
- 3D Beam - Major direction flexural and shear hinging
- 3D Column - PMM interaction and shear hinging
- Panel zone - Shear yielding
- Infill panel - Shear failure
- Shear wall – Flexural deformation (axial strain)
- Spring - for foundation modeling

Static Pushover Analysis, M. Iqbal Suharwady, Computers and Structures, Inc.

Nonlinear Material Assignment

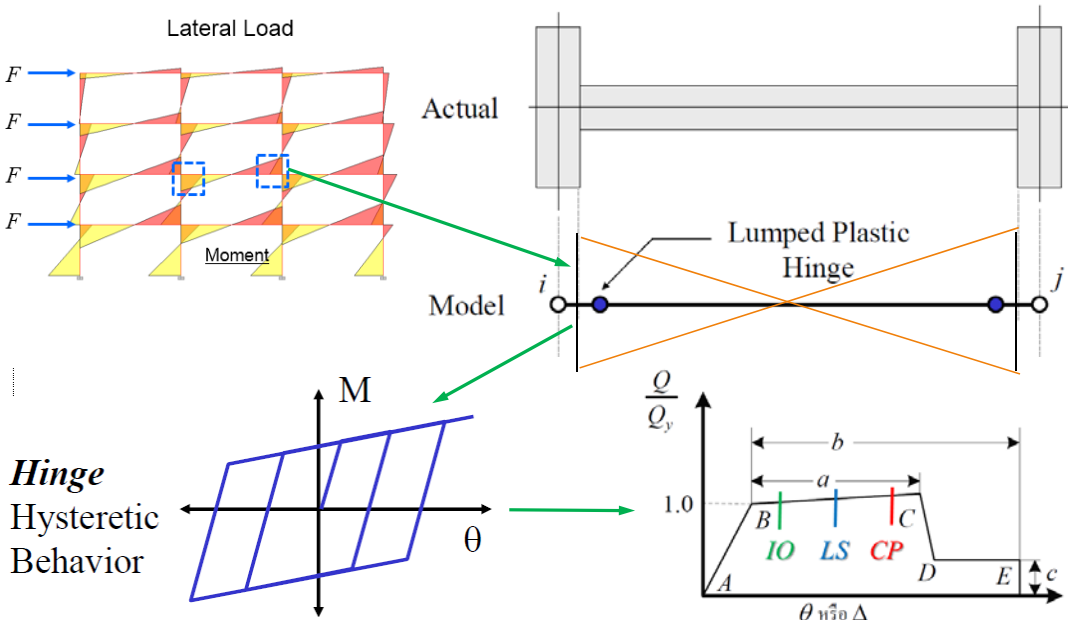






Beam Elements

Beam Element with Moment Hinge Model



Moment Hinges

(a) Moment and Shear Hinges

(b) Action-Deformation Relationship

Figure (a) illustrates a hinge under moment and shear forces. Figure (b) shows the action-deformation relationship graph for a moment hinge, plotting Moment, M (Y-axis) against Rotation, θ (X-axis). The graph shows a hysteresis loop with points Y, U, L, and R. The initial state is 'Initially rigid'.

Figure (c) is a plot of the ratio $\frac{Q}{Q_y}$ versus rotation θ for a frame hinge. The plot shows the moment resistance curve with points A through E marked. The regions are labeled: IO (Initial Yield), LS (Linear Elastic), and CP (Constant Plastic). The plot includes dimensions b , a , and c .

Figure (d) is a table of properties for moment hinges. It includes columns for Type, Material, Yield Strength, Modulus of Elasticity, Yield Strain, Yield Curvature, and various capacity ratios (e.g., LS, CP).

Modeling for Structural Analysis, Behavior and Basics, Graham H. Powell

Moment Hinges – SAP2000

Diagram of a girder section with dimensions: 425 height, 300 width, 225 thickness, and 125 top flange. It shows a 3-16 mm Ø bolt at the top and 2-16 mm Ø bolts at the bottom.

Frame Hinge Property Data for MH-GIRDER - Moment M3

Frame Hinge Property Data

Hinge Property Name	MH-GIRDER
Hinge Type	<input checked="" type="radio"/> Deformation Controlled (Ductile)
Moment M3	<input checked="" type="radio"/>

Frame Hinge Property Data for MH-GIRDER - Moment M3

Edit

Displacement Control Parameters

Point	Moment/SF	Rotation/SF
E	-0.2	-0.35
D	-0.2	-0.25
C	-1.1	-0.15
B	-1	0
A	0	0
B	1	0
C	1.1	0.15
D	0.2	0.25
E	0.2	0.35

Type

Moment - Rotation

Moment - Curvature

Hinge Length _____

Relative Length _____

Symmetric

Load Carrying Capacity Beyond Point E

Damps To Zero

Is Extrapolated

Scaling for Moment and Rotation

Positive	Negative	
<input type="checkbox"/> Use Yield Moment	Moment SF 7.3195	10.5911
<input type="checkbox"/> Use Yield Rotation (Steel Objects Only)	Rotation SF 1.	1.

Hysteresis Type

No Parameters Are Required For This Hysteresis Type

Acceptance Criteria (Plastic Rotation/SF)

Positive	Negative	
<input checked="" type="radio"/> Immediate Occupancy	0.01	-8.596E-03
<input checked="" type="radio"/> Life Safety	0.02	-0.0172
<input checked="" type="radio"/> Collapse Prevention	0.025	-0.0236

Show Acceptance Criteria on Plot

OK Cancel

Moment Hinges – Perform 3D

COMPONENT PROPERTIES

Type: Moment Hinge, Rotation Type

Name: 4-6G-11-I

Graph: Shows a force-displacement curve with regions labeled F, FU, FY, KH, K0, DU, DX, and D.

Basic F-D Relationship

F = hinge moment, D = hinge rotation.

Positive Actions: FY | 4087, FU | 4619

Negative Actions: FY | 4505, FU | 5091

Positive Deformations: DU | .02, DX | .15

Negative Deformations: DU | .02, DX | .15

Top bars and Bottom bars are indicated by red boxes around the respective sections.

Moment Hinges – Perform 3D

COMPONENT PROPERTIES

Type: Frame Member Compound Component

Name: 4-6G-11

COMPONENT LENGTHS ARE NOT TO SCALE

COMPONENT TO BE ADDED OR CHANGED

Component Type: [dropdown]

Component Name: [dropdown]

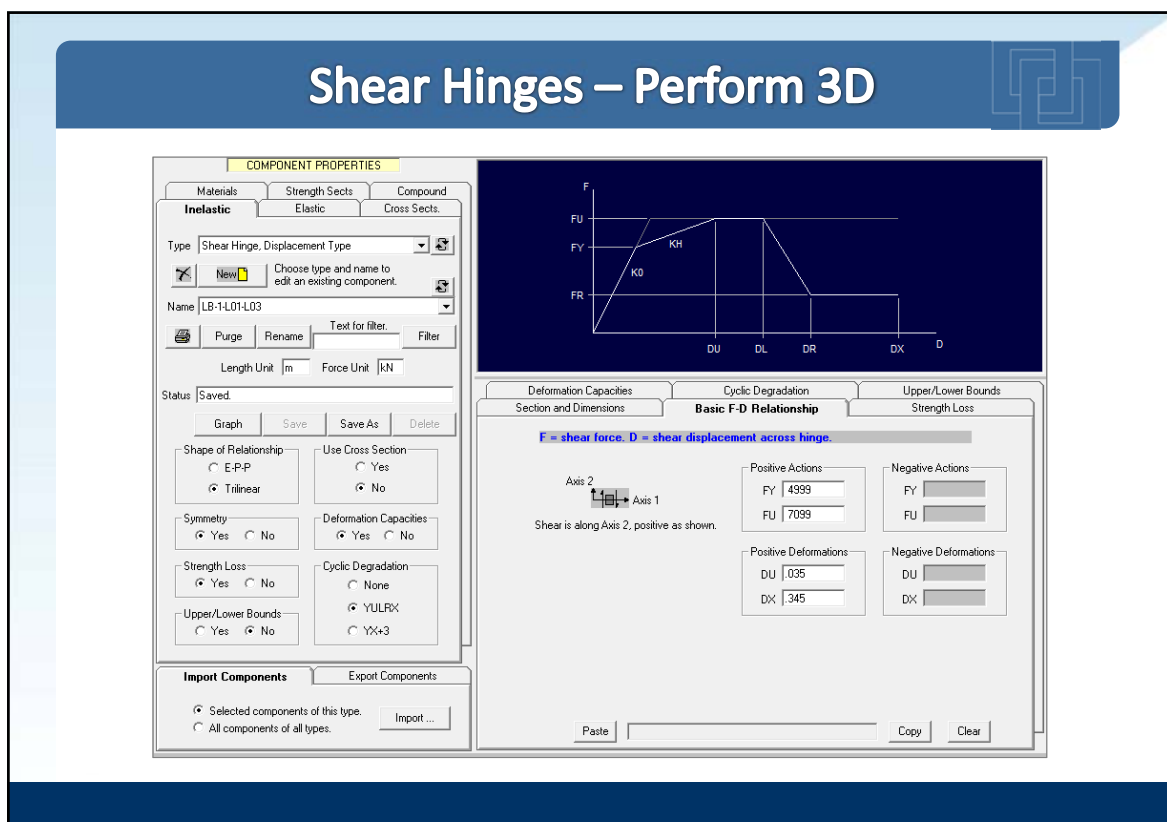
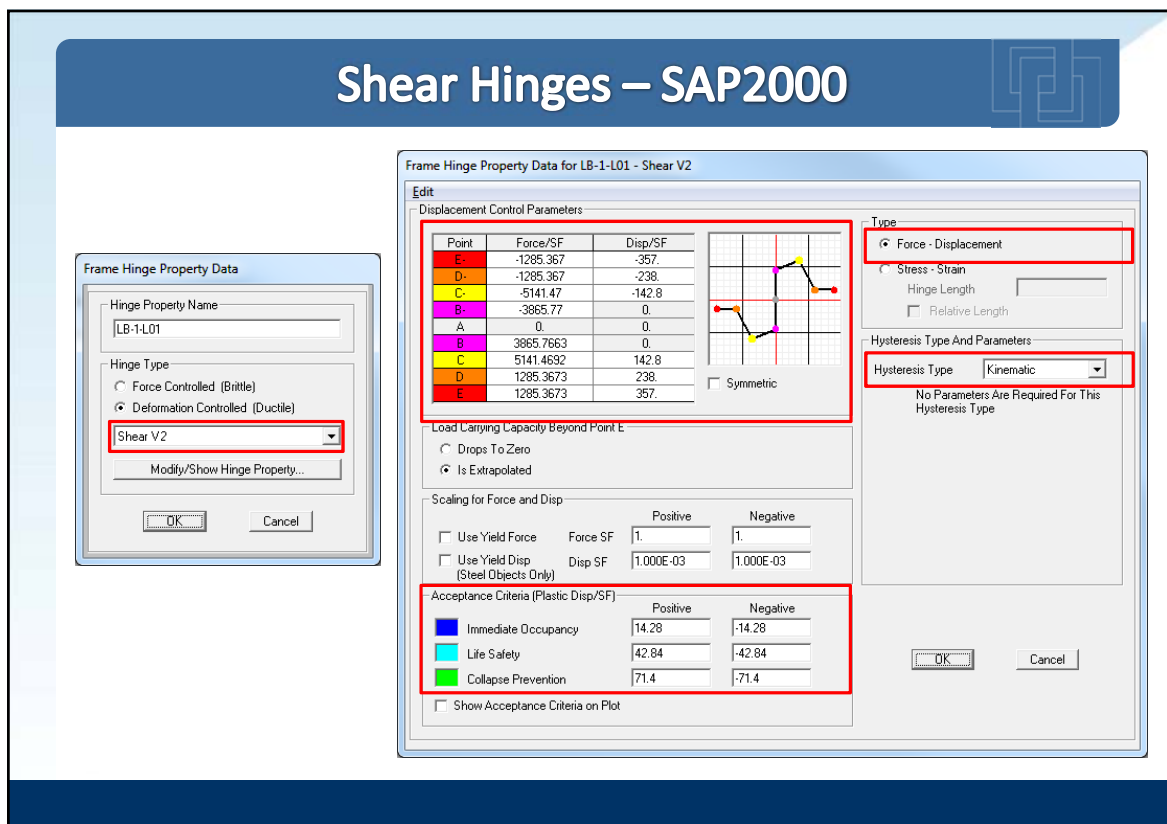
Text for filter: [text input] Filter

Length Type: [dropdown] Length Value: [text input]

Add Insert Replace Delete

COMPONENT LIST (MAX. 12) Click to highlight. Double click to select. Show Properties

No.	Component Type	Component Name	Length	Propn
1	End Zone for a Beam or Column	Default End Zone	Auto	
2	Moment Hinge, Rotation Type	4-6G-11-I	0	
3	Beam, Reinforced Concrete Section	4-6G-11	1	
4	Moment Hinge, Rotation Type	4-6G-11-J	0	
5	End Zone for a Beam or Column	Default End Zone	Auto	
6				
7				
8				
9				
10				
11				
12				

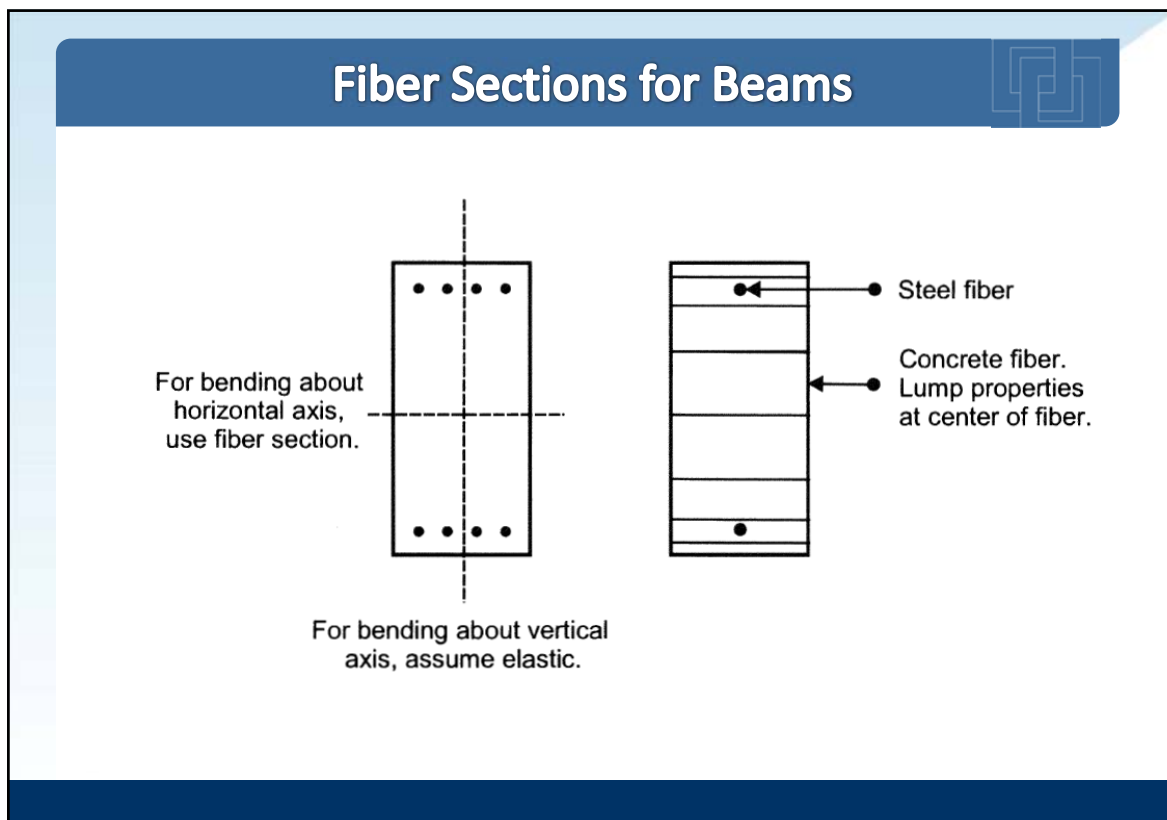


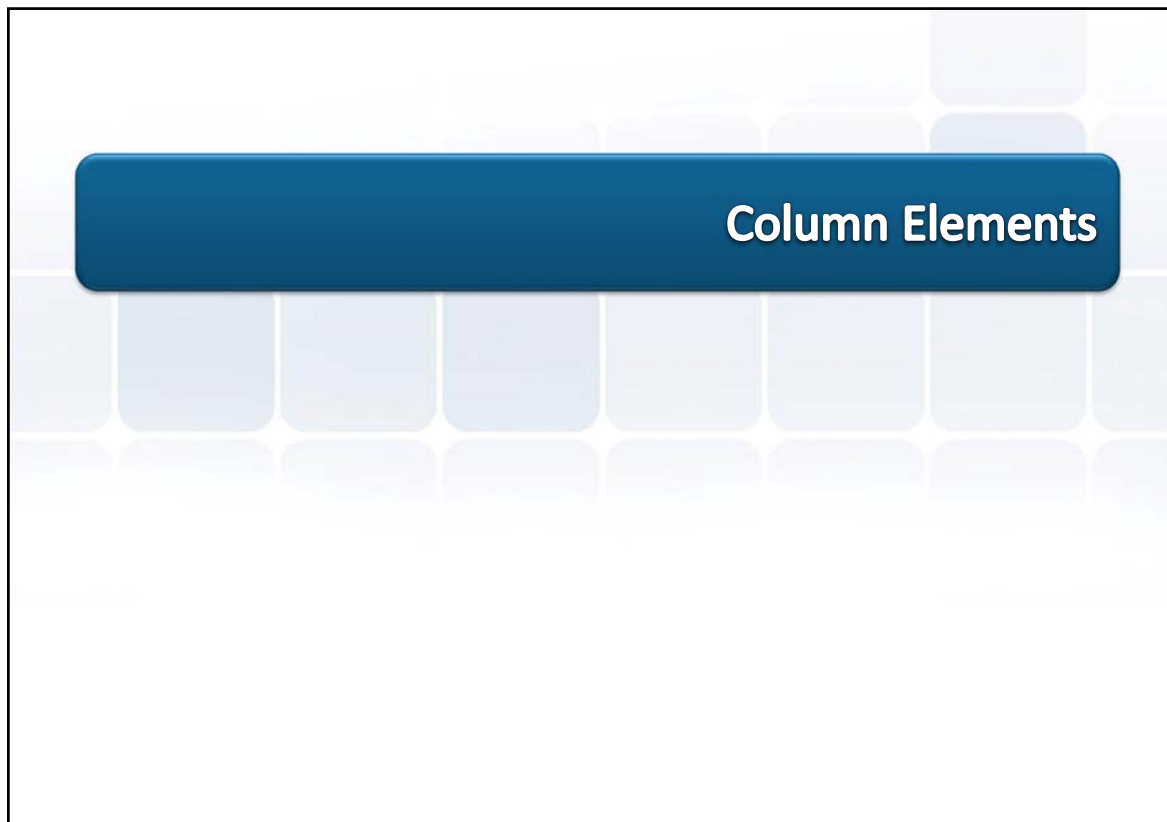
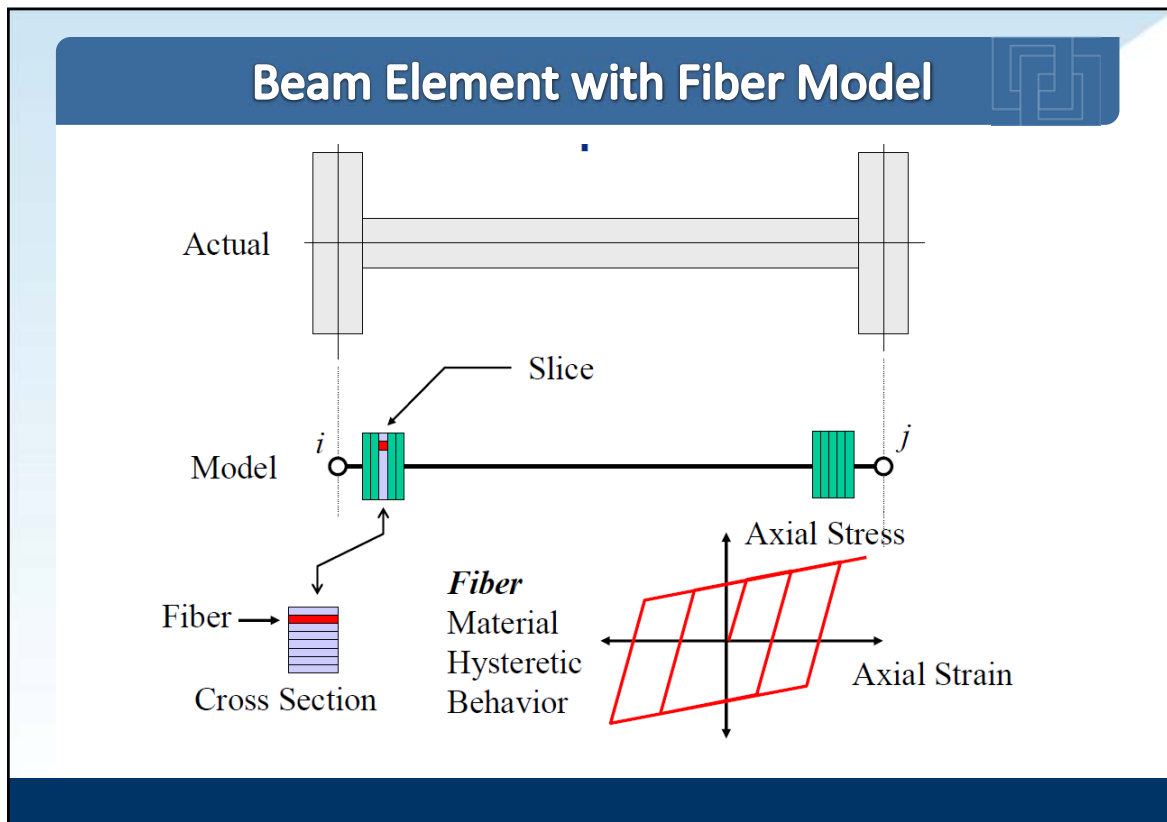
Shear Hinges – Perform 3D

The screenshot shows the 'Shear Hinges – Perform 3D' software interface. On the left, the 'COMPONENT PROPERTIES' dialog is open, showing settings for a 'Frame Member Compound Component'. It includes tabs for Inelastic, Elastic, Cross Sects., and Compound. The Compound tab is selected. The 'Type' dropdown is set to 'Frame Member Compound Component'. The 'Name' field contains 'LB-1-L01-L03'. Below the name is a note: 'Choose type and name to edit an existing component.' There are buttons for New, Purge, Rename, Filter, Length Unit (m), Force Unit (kN), and Check, Save, Save As, Delete. The status is 'Saved.' On the right, the 'Basic Components' panel shows a component list with three items:

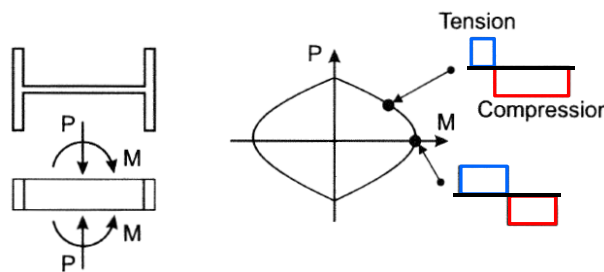
No.	Component Type	Component Name	Length	Propn
1	Beam, Reinforced Concrete Section	LB-1-L01-L03	.5	
2	Shear Hinge, Displacement Type	LB-1-L01-L03	0	
3	Beam, Reinforced Concrete Section	LB-1-L01-L03	.5	
COMPONENT LIST (MAX. 12) Click to highlight. Double click to select. <input type="checkbox"/> Show Properties				

At the bottom left of the main window, there are 'Import Components' and 'Export Components' buttons, and radio buttons for 'Selected components of this type.' and 'All components of all types.' The 'Import ...' button is also visible.

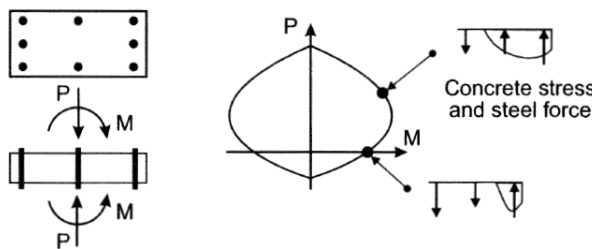




P-M Interaction Surfaces



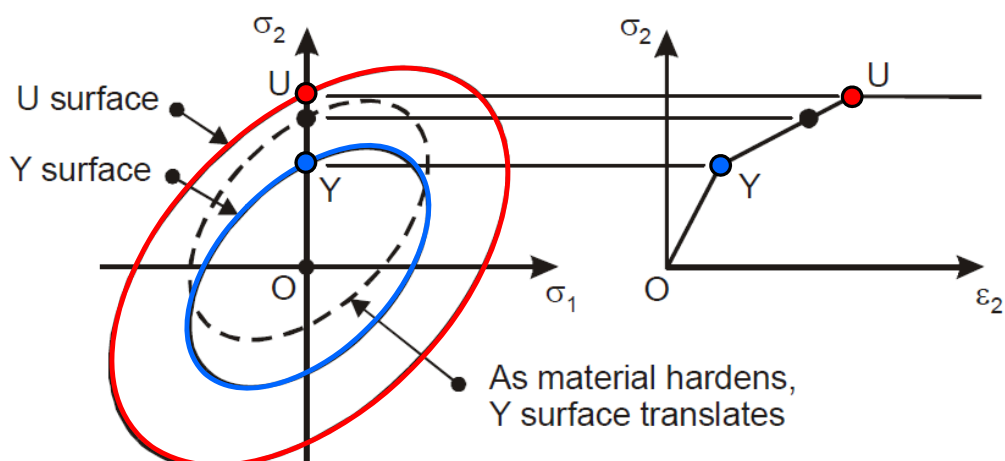
(a) Steel Column



(b) Concrete Column

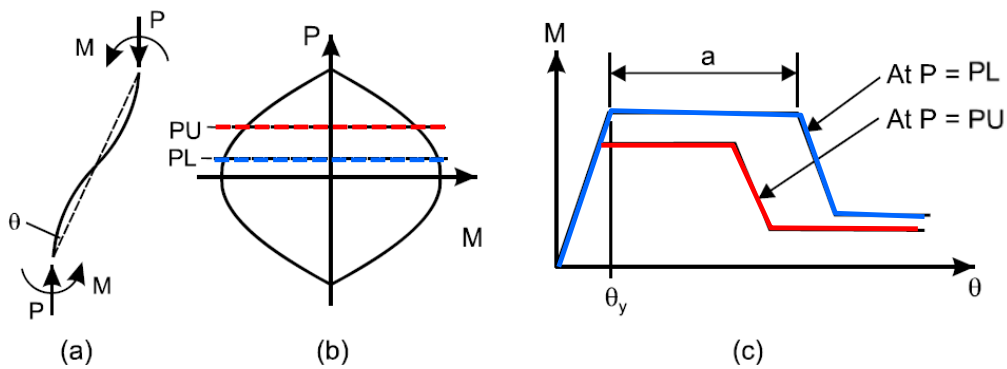
Modeling for Structural Analysis, Behavior and Basics, Graham H. Powell

Plasticity Theory for P-M Interaction



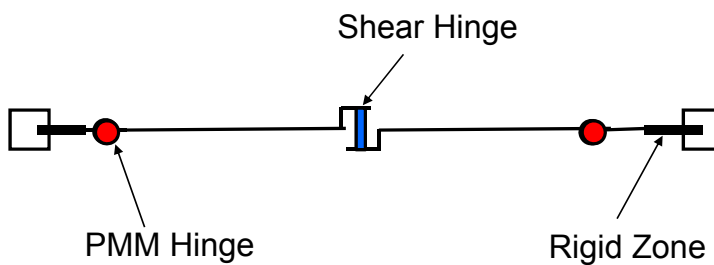
PERFORM Components and Elements, CSI

Effect of Axial Force on Ductile Limit

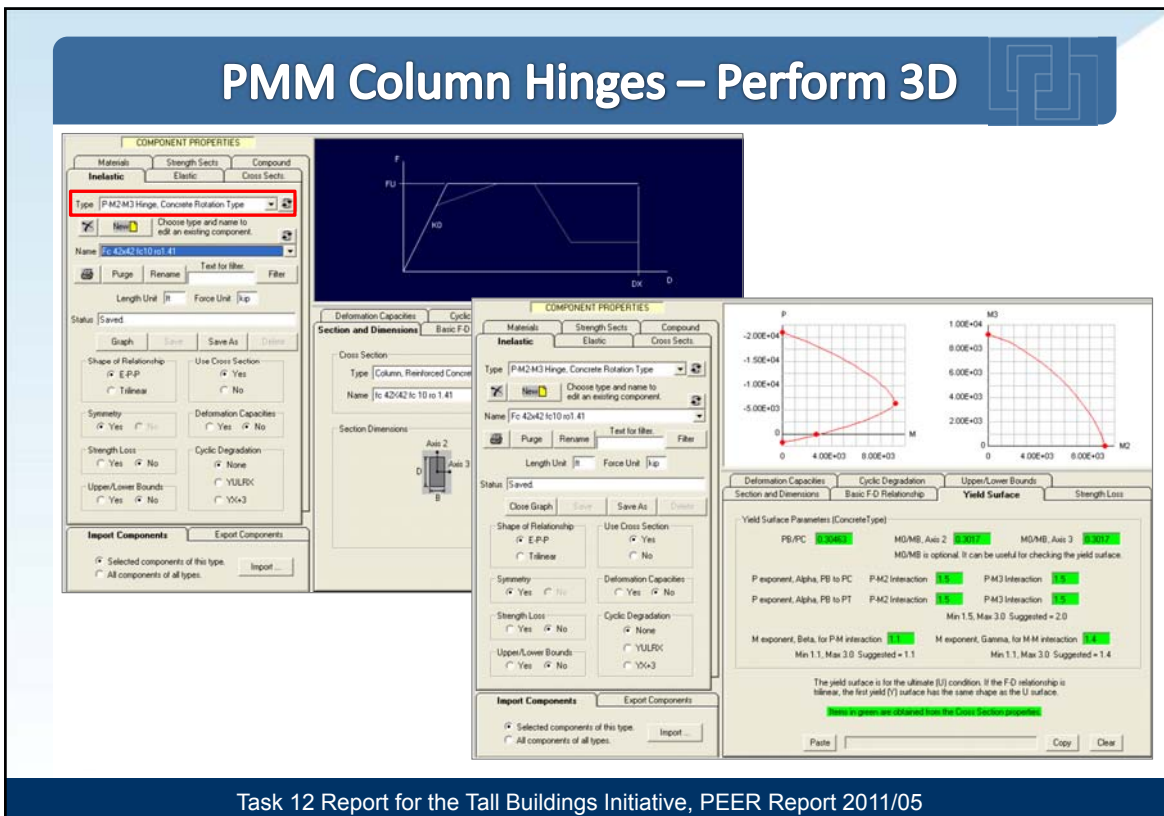
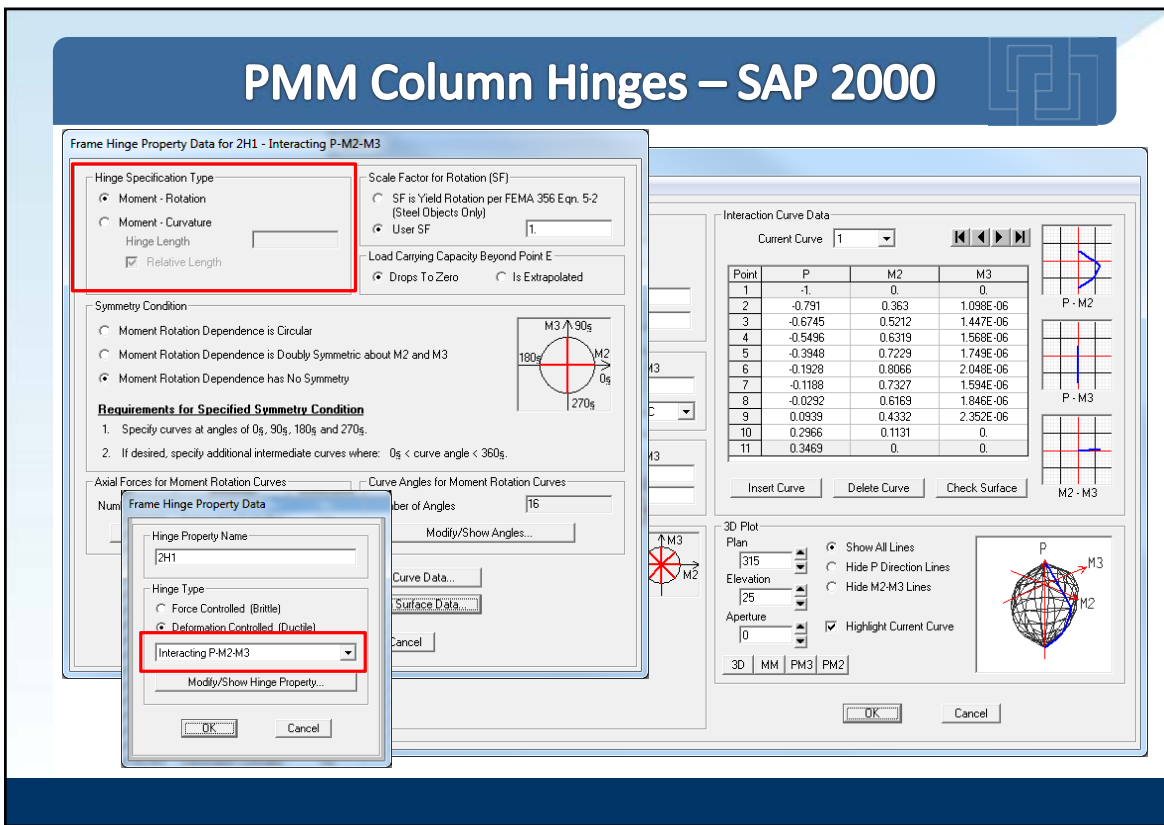


PERFORM 3D, User Guide, CSI, Page. 5-24

Column Element



Static Pushover Analysis, M. Iqbal Suharwady, Computers and Structures, Inc.



Task 12 Report for the Tall Buildings Initiative, PEER Report 2011/05

PMM Column Hinges – Perform 3D

The screenshot shows the 'COMPONENT PROPERTIES' dialog box. The 'Type' dropdown is set to 'Frame Member Compound Component'. The 'Name' field contains 'fc 42x42 fc10 w ph'. Below the name, there are buttons for 'Purge', 'Rename', 'Text for filter...', 'Filter', 'Length Unit (ft)', 'Force Unit (kip)', and status indicators ('Saved', 'Check', 'Save', 'Save As', 'Delete'). On the right, a preview window shows a horizontal beam section with two circular end zones. A message at the top of the preview window reads 'COMPONENT LENGTHS ARE NOT TO SCALE'. Below the preview is a 'Basic Components' tab with fields for 'Component Type', 'Component Name', 'Text for filter', 'Length Type', and buttons for 'Add', 'Insert', 'Replace', and 'Delete'. At the bottom is a 'COMPONENT LIST (MAX. 12)' table:

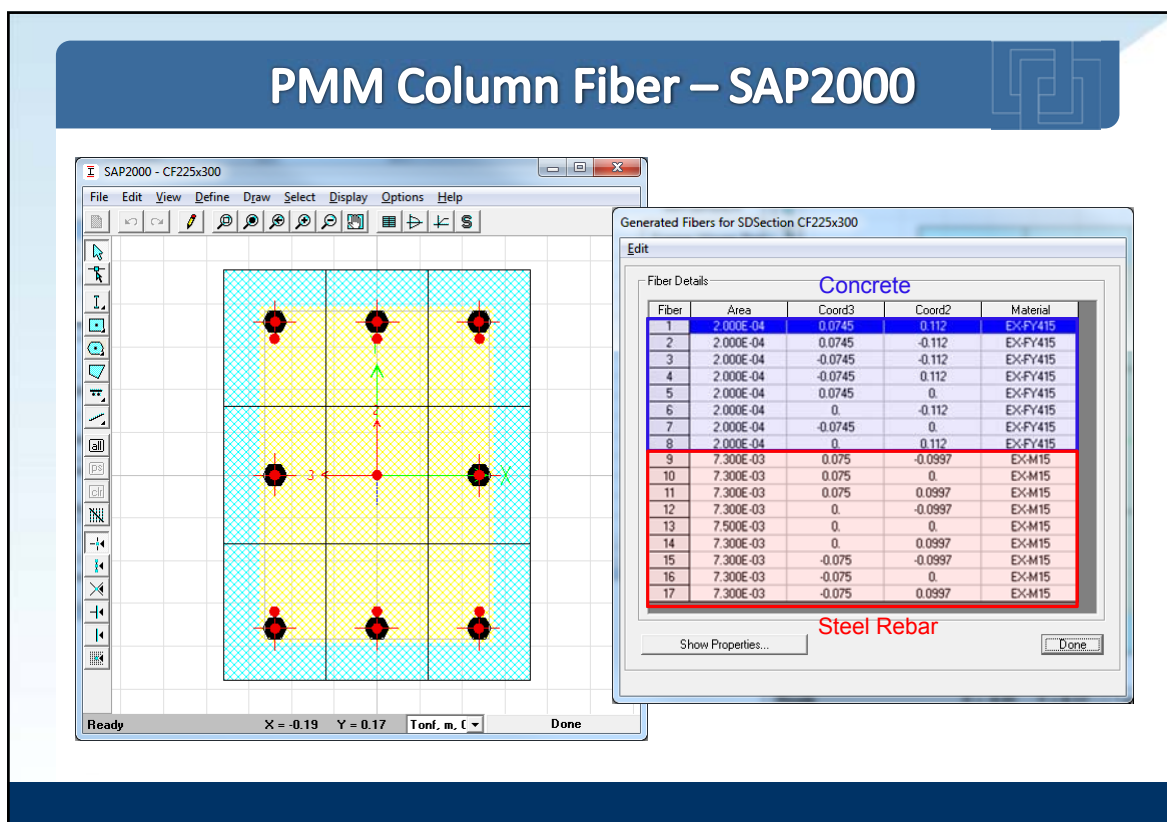
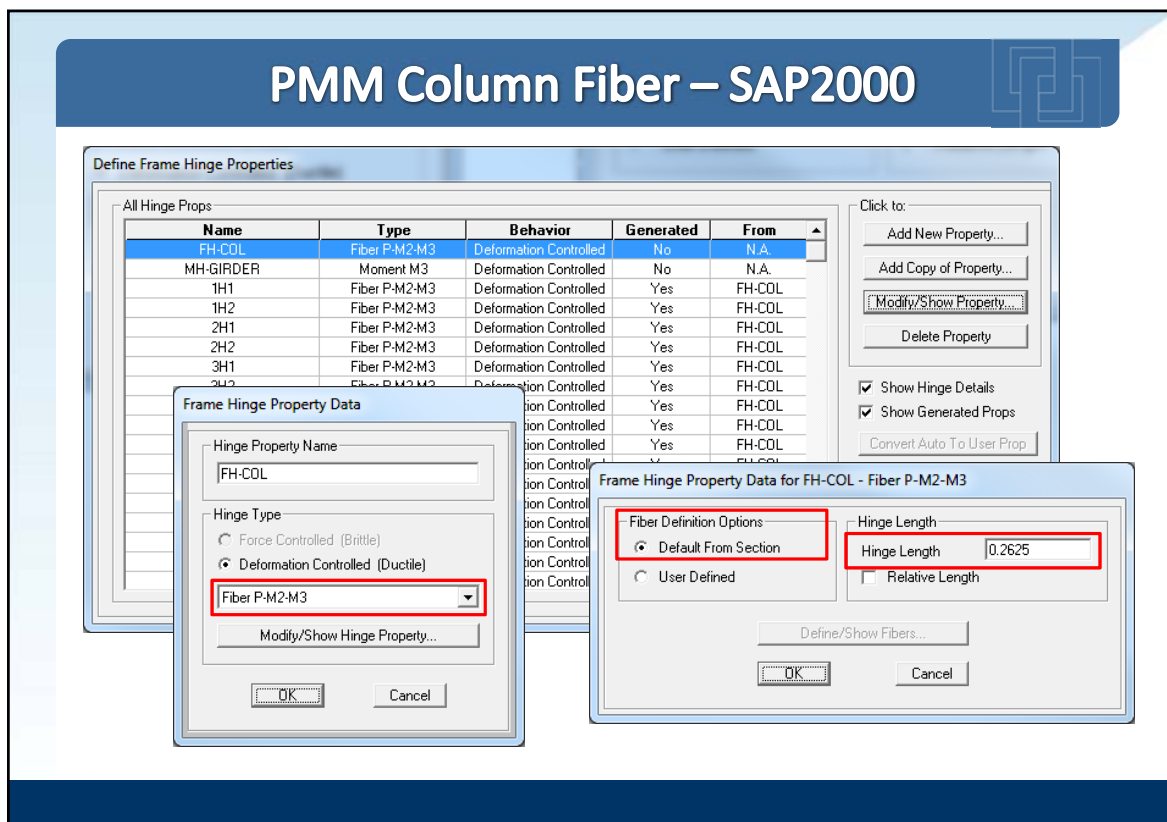
No.	Component Type	Component Name	Length	Propn
1	End Zone for a Beam or Column	Default End Zone	Auto	
2	P-M2-M3 Hinge, Concrete Rotation Type	Fc 42x42 fc10 ro1.41	0	
3	Column, Reinforced Concrete Section	Fc 42X42 fc 10 ro 1.41	1	
4	P-M2-M3 Hinge, Concrete Rotation Type	Fc 42x42 fc10 ro1.41	0	
5	End Zone for a Beam or Column	Default End Zone	Auto	
6				
7				
8				
9				
10				
11				
12				

Task 12 Report for the Tall Buildings Initiative, PEER Report 2011/05

Fiber Sections for Columns

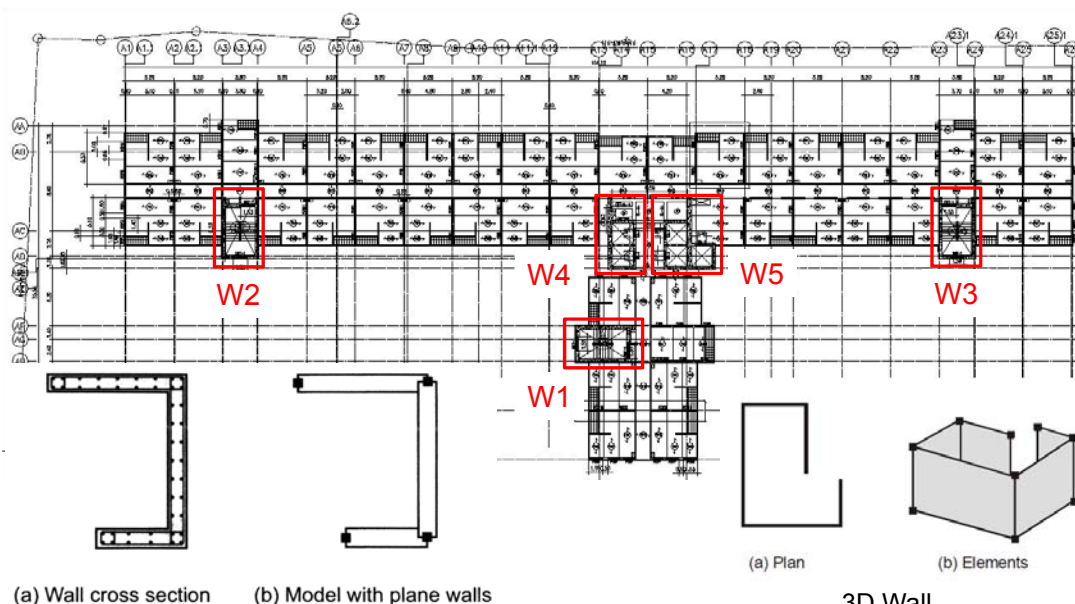
The diagram illustrates two types of fiber sections for columns. On the left, a 3x3 grid of dots represents a 3x3 fiber section. On the right, a 4x4 grid of dots represents a 4x4 fiber section.

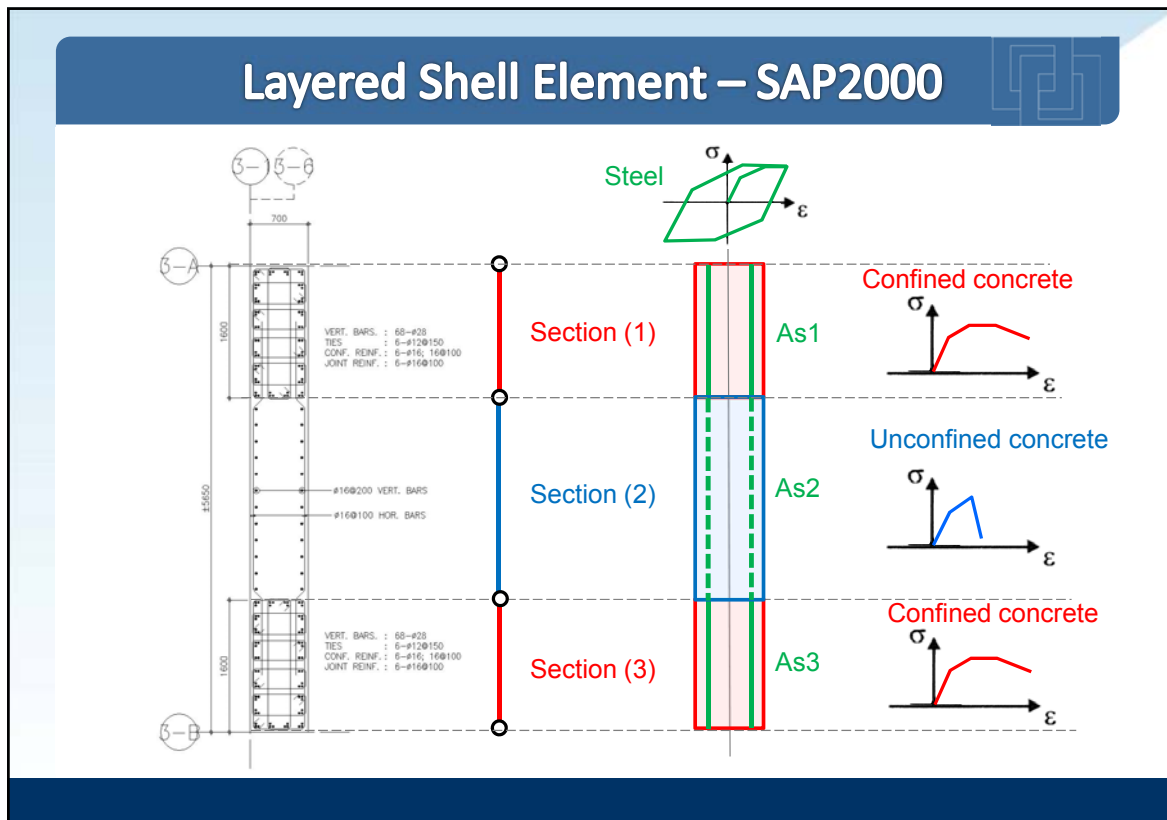
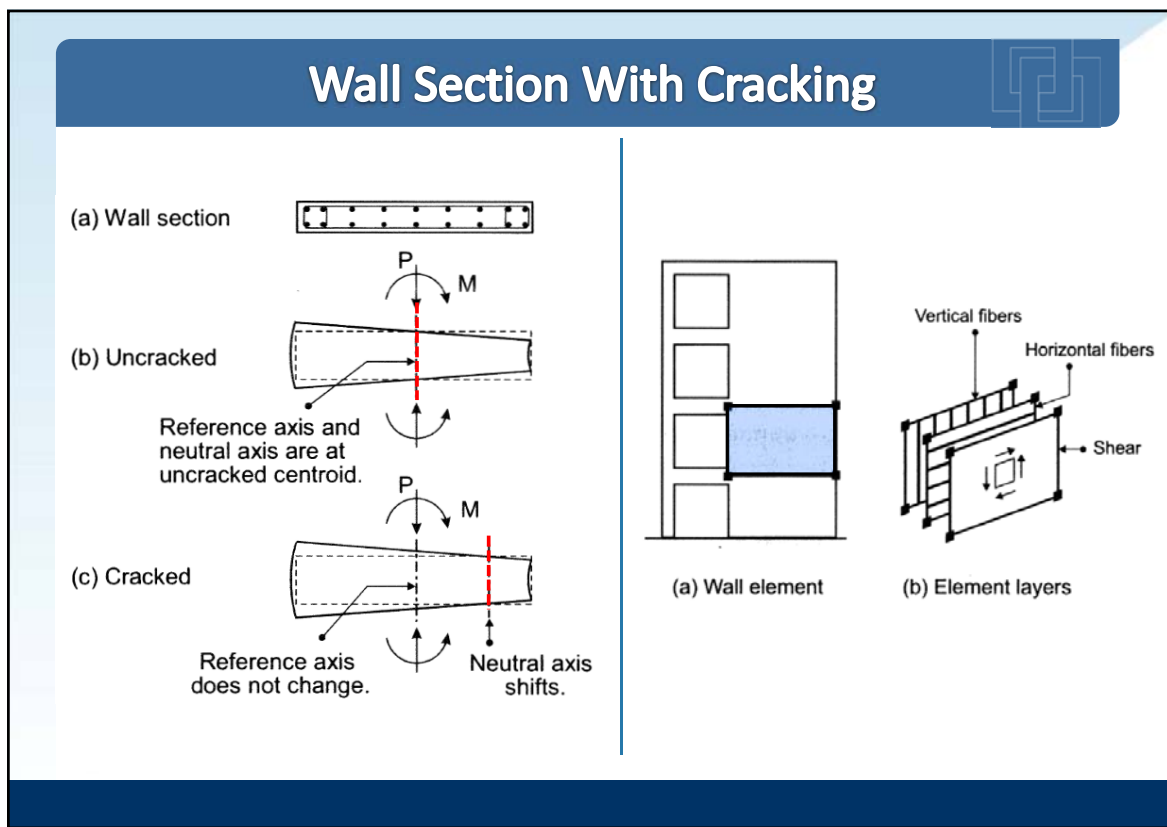
Modeling for Structural Analysis, Behavior and Basics, Graham H. Powell

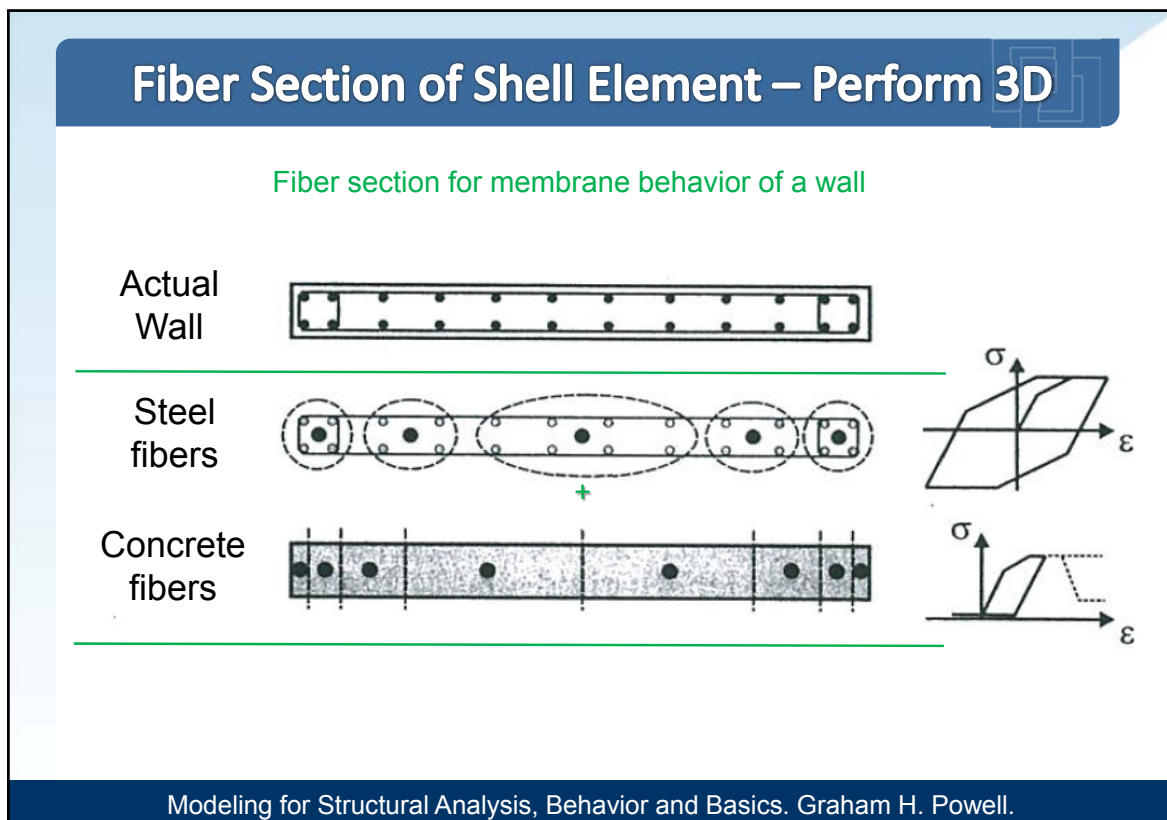
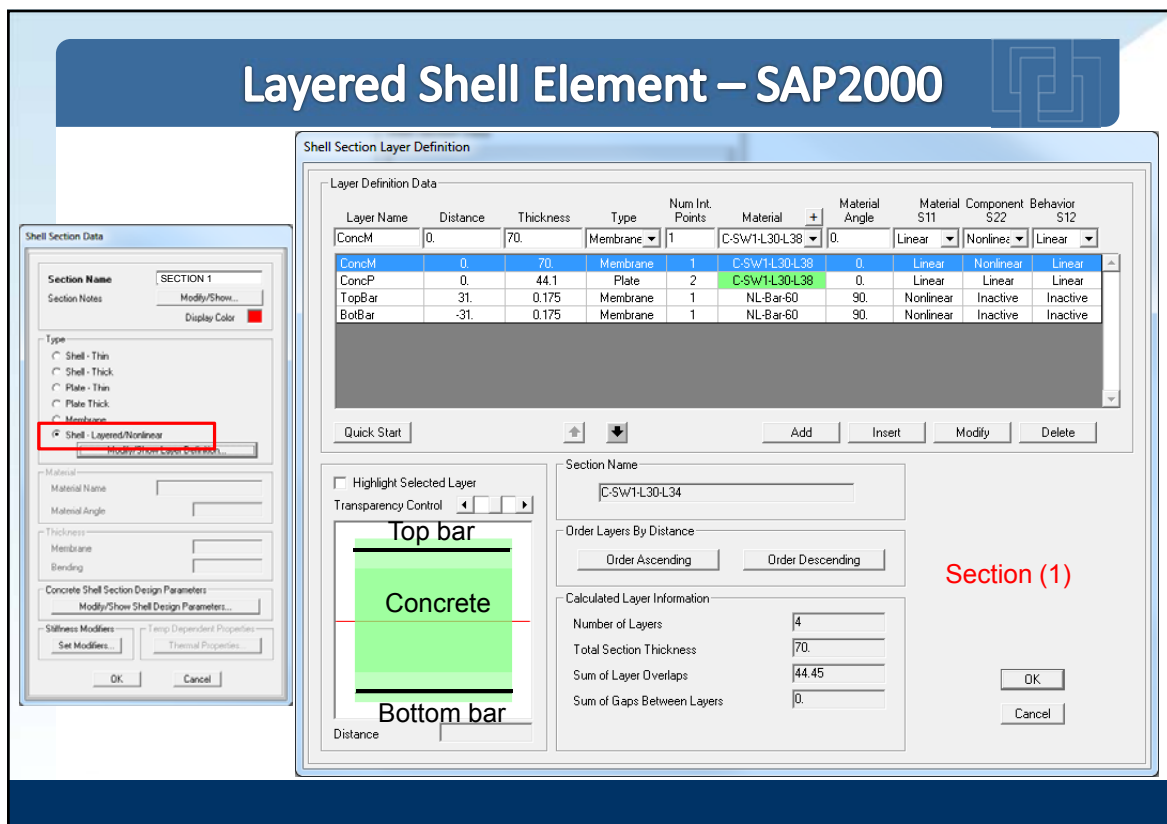


Shear Wall Elements

Nonlinear Modeling – Shear Wall







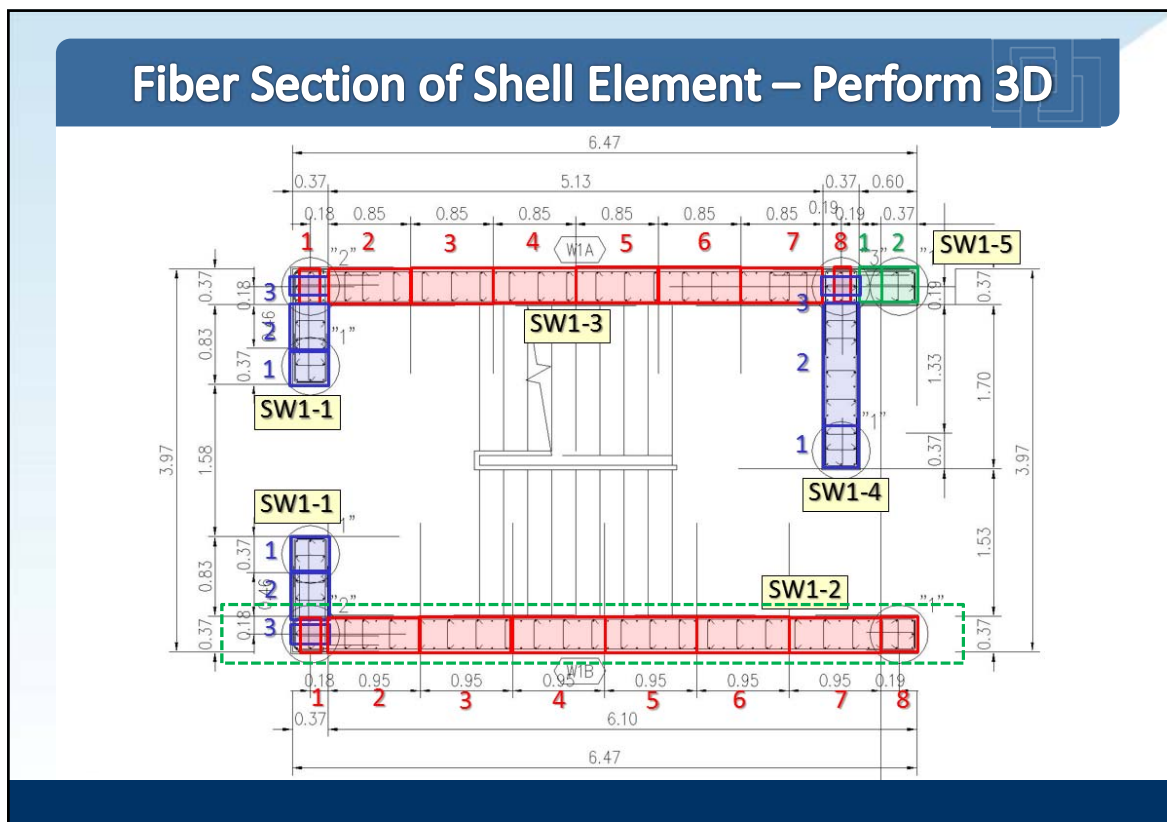
Fiber Section of Shell Element – Perform 3D

Auto Size

Fixed Size Auto Size

Fixed Size

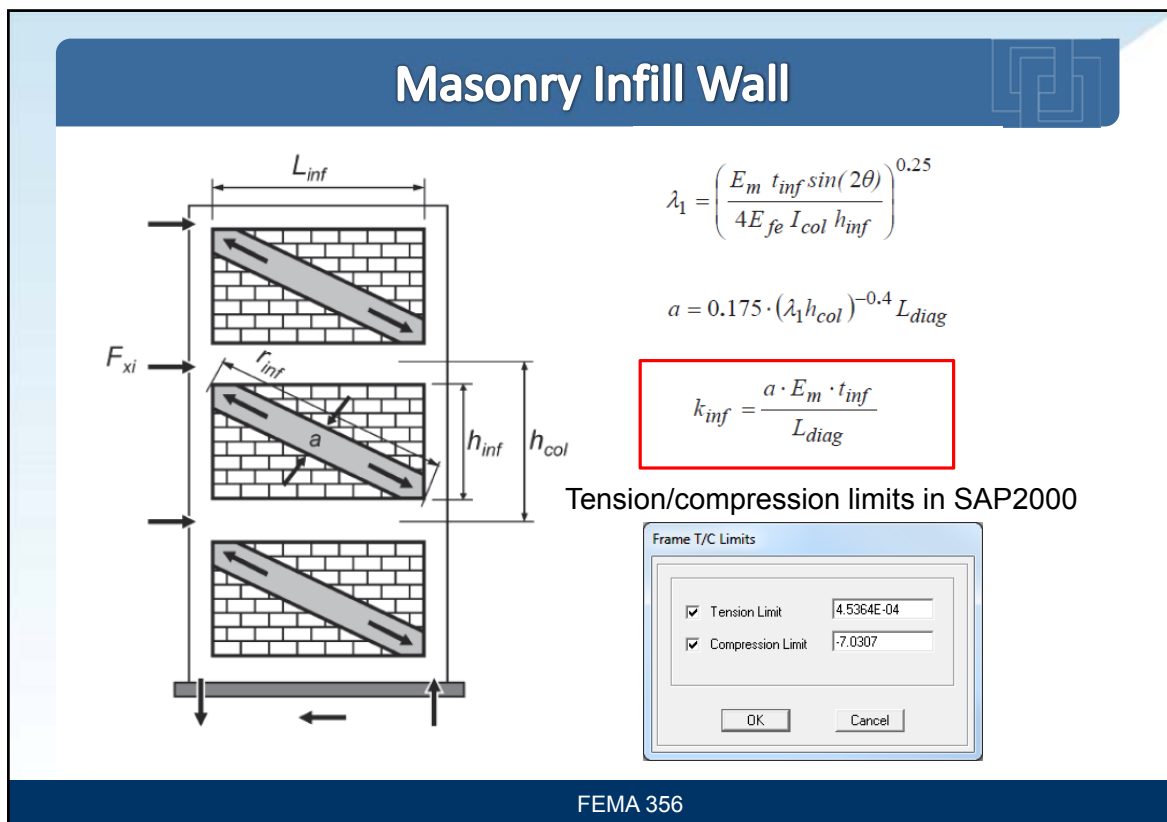
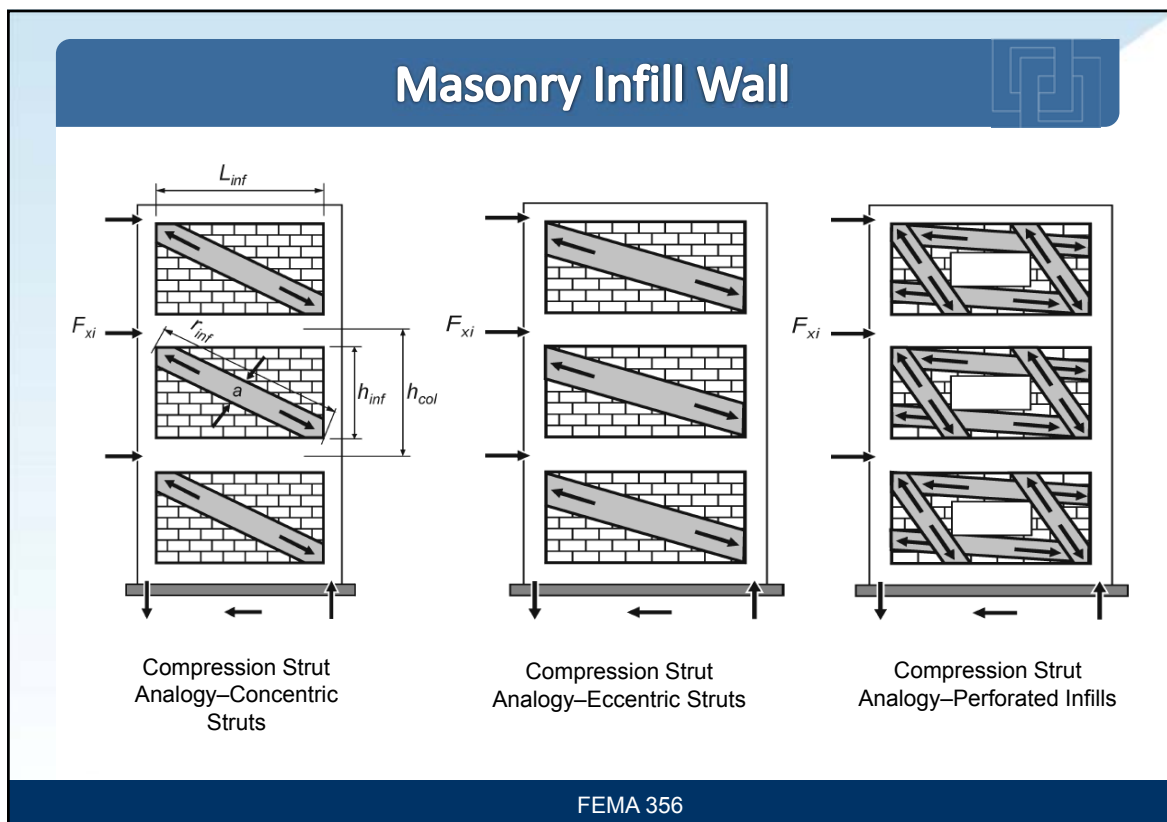
Fixed Size Auto Size



Fiber Section of Shell Element – Perform 3D

Section No.	Section Name	No.	Type	Name	Coordinate	Cracked Fiber Area		Steel	
		All	Sub		m	m ²	m	ksc	f _{c'}
1	SW1-2-FDN-L06	1	1	Inelastic 1D Concrete Material	SW1-FDN-L09-CONF-I	-3.1425	0.0421	0.29	600
		2	2	Inelastic 1D Concrete Material	SW1-FDN-L09-CONF-I	-2.48	0.2770	0.29	600
		3	3	Inelastic 1D Concrete Material	SW1-FDN-L09-CONF	-1.525	0.2770	0.29	600
		4	4	Inelastic 1D Concrete M	W1-FDN-L09-CONF	-0.57	0.2770	0.29	600
		5	5	Inelastic 1D Concrete M	W1-FDN-L09-CONF	0.385	0.2770	0.29	600
		6	6	Inelastic 1D Concrete Material	SW1-FDN-L09-CONF	1.34	0.2770	0.29	600
		7	7	Inelastic 1D Concrete Material	SW1-FDN-L09-CONF-J	2.295	0.2770	0.29	600
		8	8	Inelastic 1D Concrete Material	SW1-FDN-L09-CONF-J	2.9575	0.0957	0.29	600
		9	1	Inelastic Steel Material, Non-Buckling	REBAR	-3.1425	0.0020	4.67	5000
		10	2	Inelastic Steel Material, Non-Buckling	REBAR	-2.48	0.0034	1.24	5000
		11	3	Inelastic Steel Materi	REBAR	-1.525	0.0034	1.24	5000
		12	4	Inelastic Steel Materi	REBAR	-0.57	0.0034	1.24	5000
		13	5	Inelastic Steel Materi	REBAR	0.385	0.0034	1.24	5000
		14	6	Inelastic Steel Material, Non-Buckling	REBAR	1.34	0.0034	1.24	5000
		15	7	Inelastic Steel Material, Non-Buckling	REBAR	2.295	0.0034	1.24	5000
		16	8	Inelastic Steel Material, Non-Buckling	REBAR	2.9575	0.0034	3.59	5000
2	SW1-2-L06-L07	1	1	Inelastic 1D Concrete Material	SW1-FDN-L09-CONF-I	-3.1425	0.0421	0.29	600
		2	2	Inelastic 1D Concrete Material	SW1-FDN-L09-CONF-I	-2.48	0.2770	0.29	600
		3	3	Inelastic 1D Concrete Material	SW1-FDN-L09-CONF	-1.525	0.2770	0.29	600
		4	4	Inelastic 1D Concrete Material	SW1-FDN-L09-CONF	-0.57	0.2770	0.29	600
		5	5	Inelastic 1D Concrete Material	SW1-FDN-L09-CONF	0.385	0.2770	0.29	600
		6	6	Inelastic 1D Concrete Material	SW1-FDN-L09-CONF	1.34	0.2770	0.29	600
		7	7	Inelastic 1D Concrete Material	SW1-FDN-L09-CONF-J	2.295	0.2770	0.29	600
		8	8	Inelastic 1D Concrete Material	SW1-FDN-L09-CONF-J	2.9575	0.0957	0.29	600
		9	1	Inelastic Steel Material, Non-Buckling	REBAR	-3.1425	0.0020	4.67	5000
		10	2	Inelastic Steel Material, Non-Buckling	REBAR	-2.48	0.0030	1.08	5000
		11	3	Inelastic Steel Material, Non-Buckling	REBAR	-1.525	0.0030	1.08	5000
		12	4	Inelastic Steel Material, Non-Buckling	REBAR	-0.57	0.0030	1.08	5000
		13	5	Inelastic Steel Material, Non-Buckling	REBAR	0.385	0.0030	1.08	5000
		14	6	Inelastic Steel Material, Non-Buckling	REBAR	1.34	0.0030	1.08	5000
		15	7	Inelastic Steel Material, Non-Buckling	REBAR	2.295	0.0030	1.08	5000
		16	8	Inelastic Steel Material, Non-Buckling	REBAR	2.9575	0.0034	3.59	5000

Infill Wall Elements

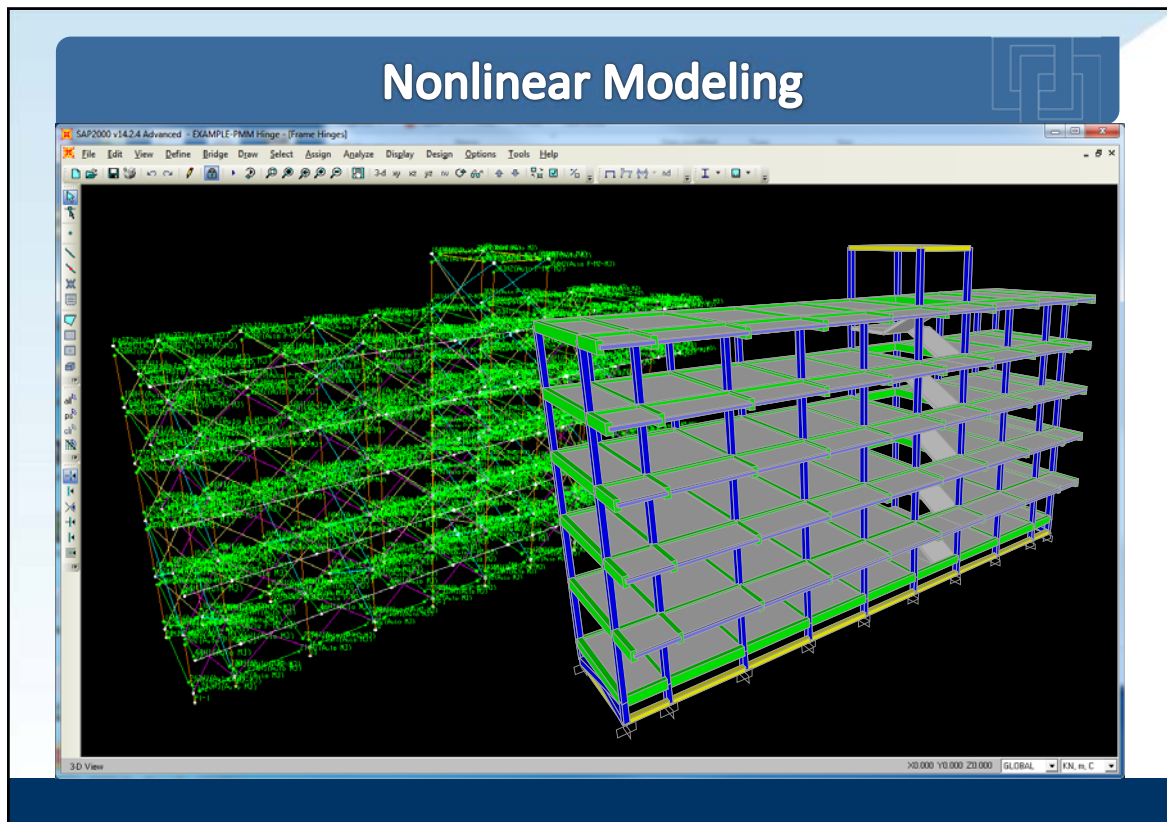


Masonry Infill Wall

PERFORM 3D includes the following infill panel components.

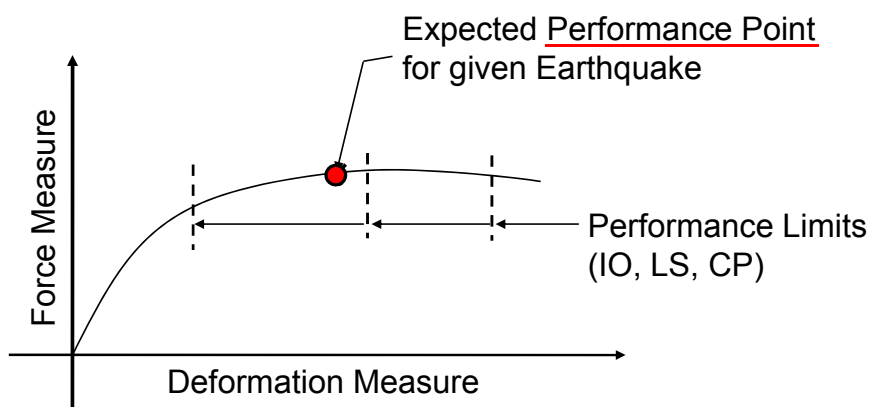
- (1) Linear elastic panel, shear model.
- (2) Inelastic panel, shear model.
- (3) Inelastic panel, diagonal strut model.

PERFORM Components and Elements, CSI



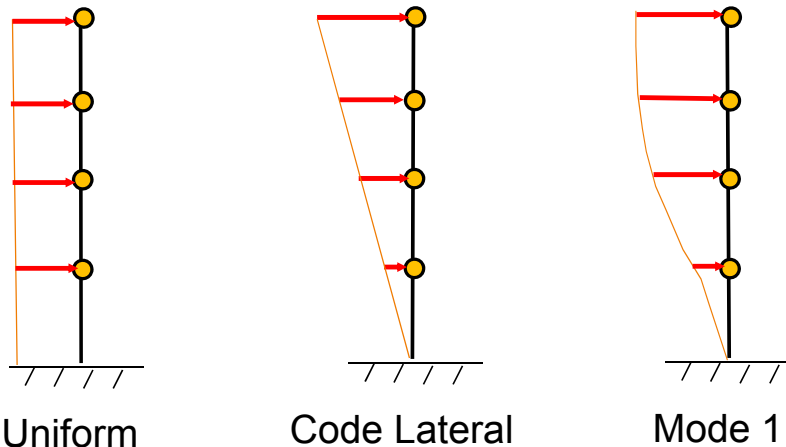
Nonlinear Static Analysis - Pushover

Performance Check Using Pushover



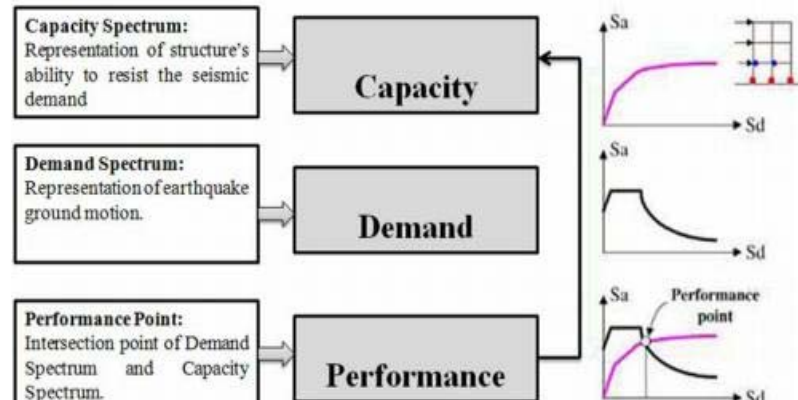
Goal is to predict peak response of building and components for a given earthquake

Lateral Load Patterns (Vertical Distribution)



Static Pushover Analysis, M. Iqbal Suharwady, Computers and Structures, Inc.

Pushover Analysis

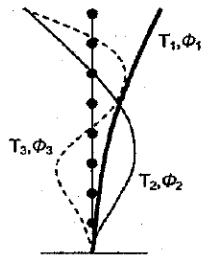


1. Capacity Spectrum Method – ATC 40
2. Coefficient Method – FEMA 356
3. Linearization Method – FEMA 440

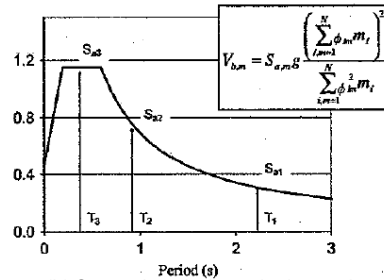
Based on the comparisons of a research, the **FEMA 440 Linearization Method** is the **most accurate and consistent**.

STATIC PUSHOVER METHODS, Graham H. Powell

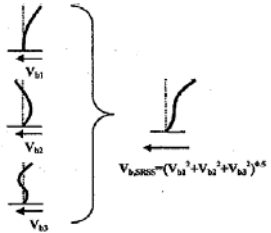
Multi-Mode Pushover Analysis



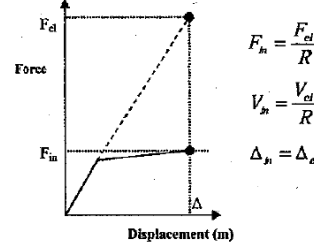
(a) Eigen-value analysis of elastic structure to give mode shapes and periods



(b) Spectral analysis to obtain acceleration and base shear of individual modal components



(c) Combination of modal results to give anticipated elastic response



(d) Use of relationships between elastic and inelastic systems to give inelastic response

Estimating the Higher-Mode Response of Ductile Structures, Sullivan., et.al., 2008

Multi-Mode Pushover Analysis

$$S_{d_m} = \frac{\delta_{roof_m}}{PF_m \phi_{roof_m}} \rightarrow \delta_{roof_m} = S_{d_m} (PF_m \phi_{roof_m}) \quad S_{d_m} = \left(\frac{T_m}{2\pi} \right)^2 (S_{a_m}) g$$

Where:

$$\Gamma_m = \frac{\left(\sum_{i=1}^n (W_i \phi_{im}) \right)^2}{W \sum_{i=1}^n (W_i \phi_{im}^2)} = \text{Modal participation factor for mode } m \text{ from SAP2000 or ETABS}$$

S_{d_m} = Spectral displacement

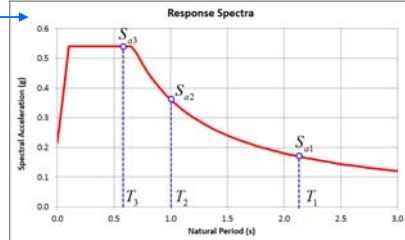
S_{a_m} = Spectral acceleration

δ_{roof_m} = Roof displacement for mode m (The target displacement)

ϕ_{roof_m} = Amplitude of mode m at the roof

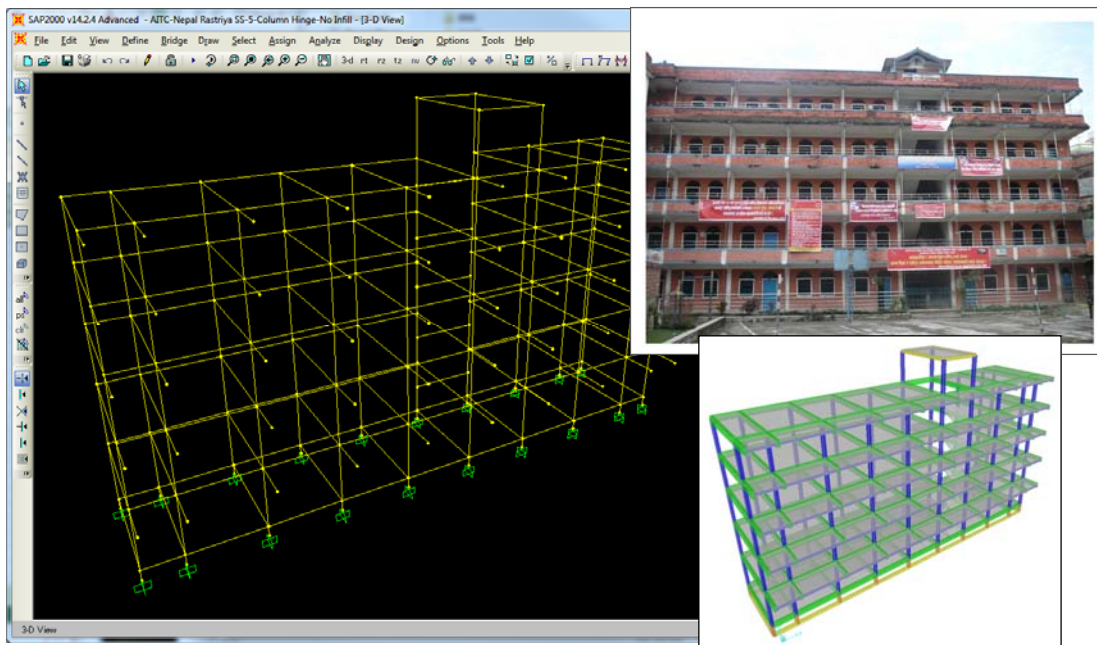
Multi-Mode Pushover Procedure (MMP), Kent K. Sasaki, et.al.

Multi-Mode Pushover Analysis

1. Perform modal analysis to get periods (T_1, T_2, \dots, T_n). The combination of participating mass based on selected modes must greater than 90%.
2. Read the spectral curve according to the periods → 
3. Find the modal participation factor for each mode, Γ_m
4. Find the amplitude of each mode at the roof, ϕ_{rof_m}
5. Find the spectral displacement for each mode, S_{d_m}
6. Find the target displacement, δ_{rof_m}
7. Push the structure based on each modal load pattern according to its target displacement.
8. Combine the results based on the modal combination rules, such as SRSS.

$$V_{b,SRSS} = \sqrt{(V_{b1}^2 + V_{b2}^2 + \dots + V_{bn}^2)}$$

Multi-Mode Pushover Analysis



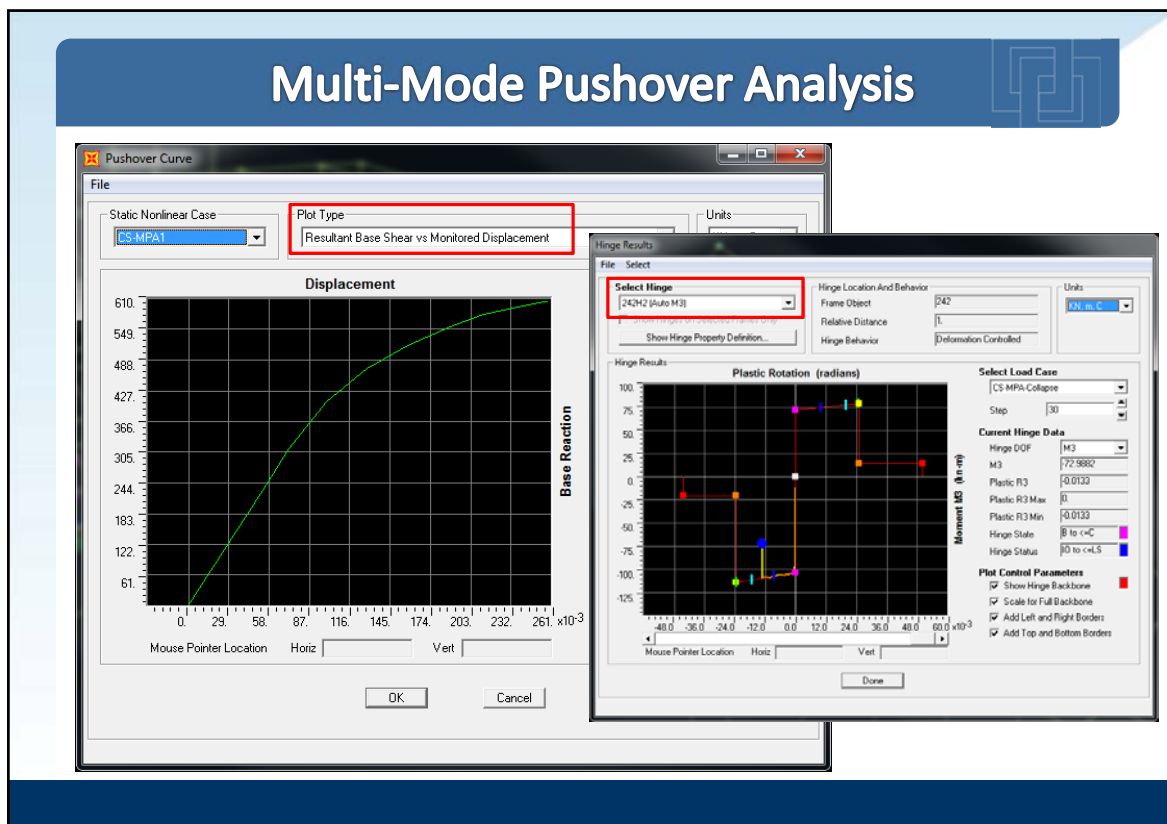
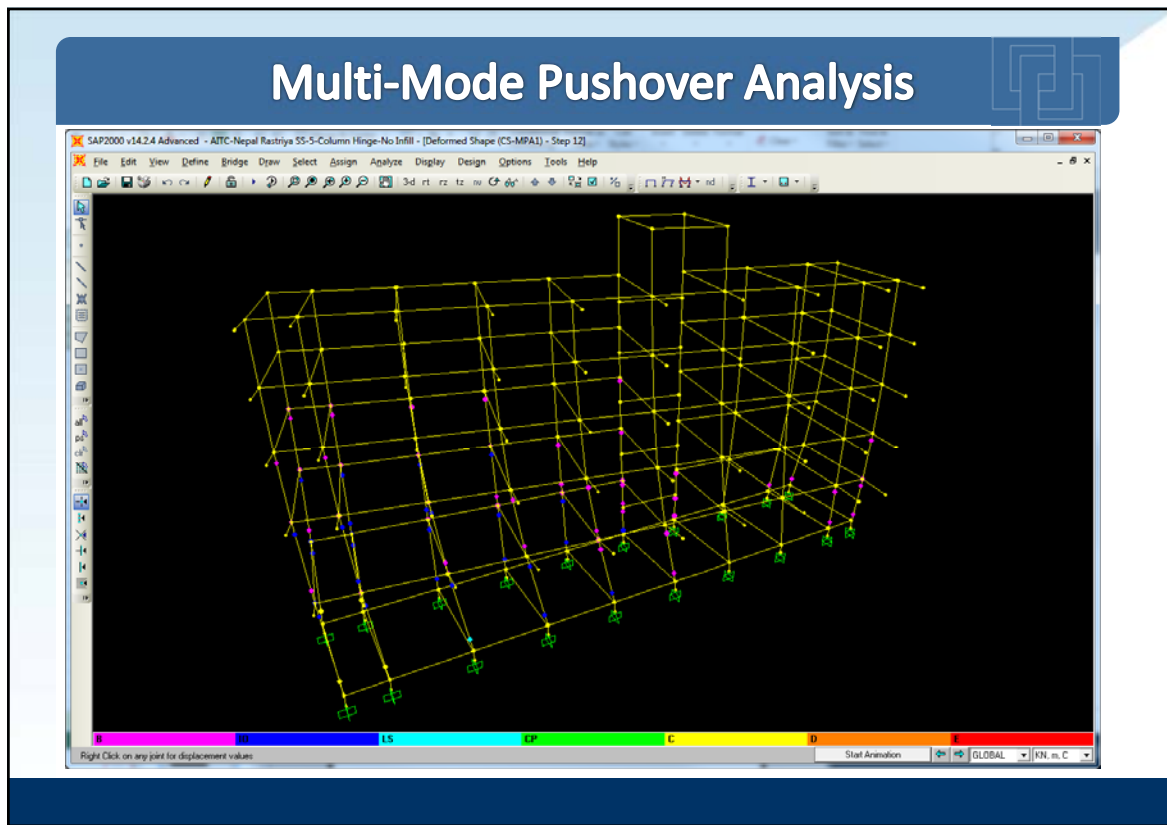
Multi-Mode Pushover Analysis

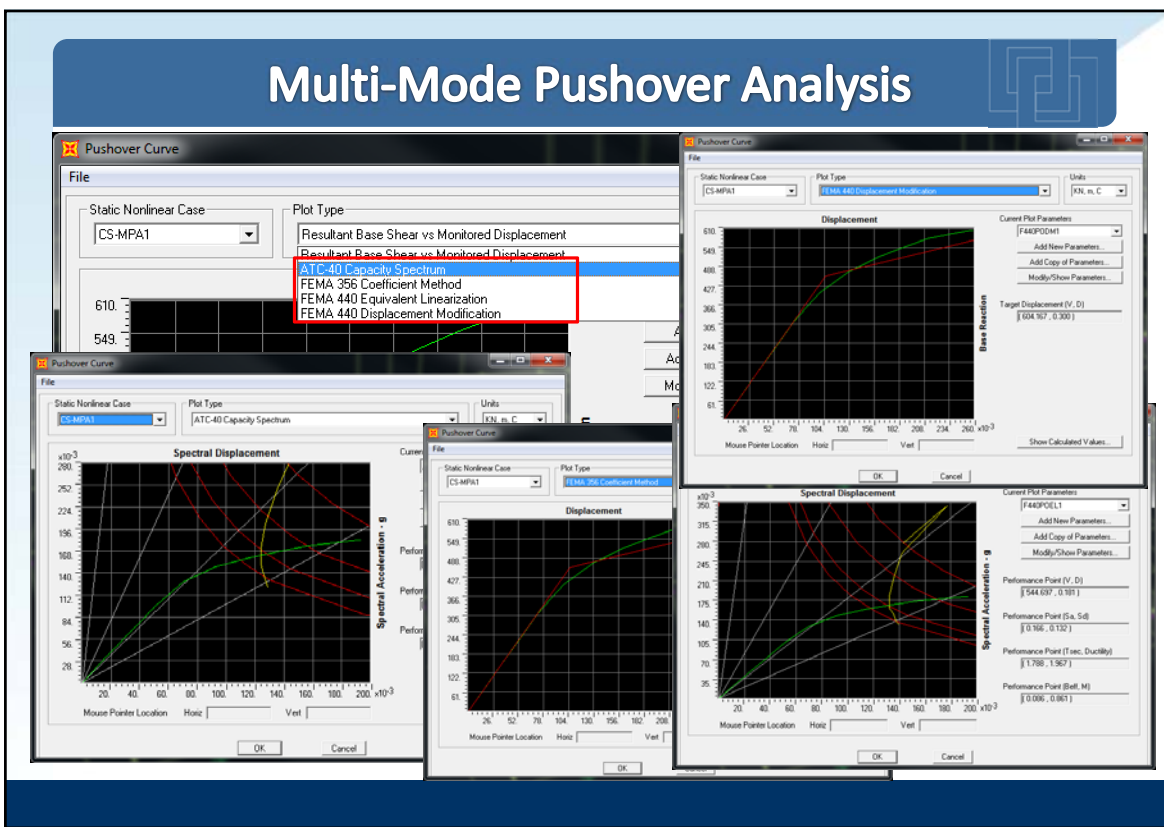
$$S_{d_m} = \frac{\delta_{roof_m}}{PF_m \phi_{roof_m}} \rightarrow \delta_{roof_m} = S_{d_m} (\Gamma_m \phi_{roof_m}) \quad S_{d_m} = \left(\frac{T_m}{2\pi} \right)^2 (S_{d_m}) g$$

$$\Gamma_m = \left(\sum_{i=1}^n (W_i \phi_{im}) \right)^2 \Bigg/ W \sum_{i=1}^n (W_i \phi_{im}^2)$$

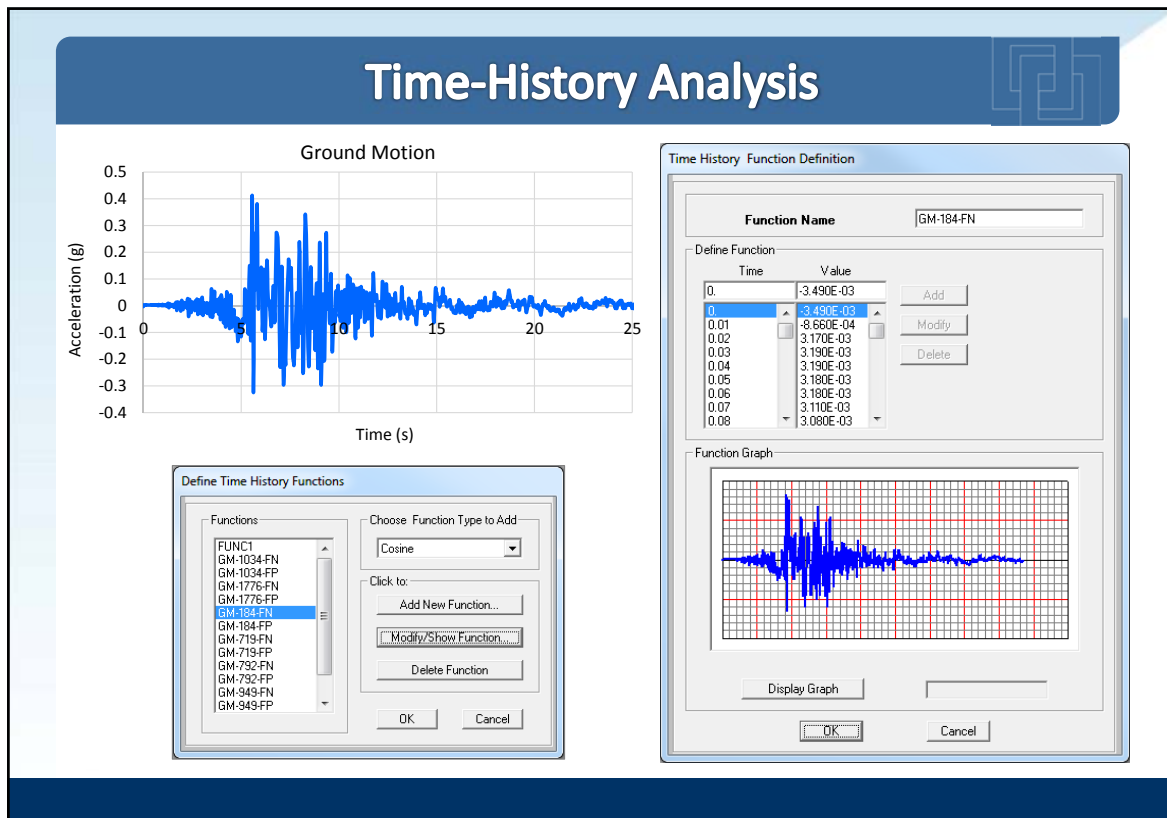
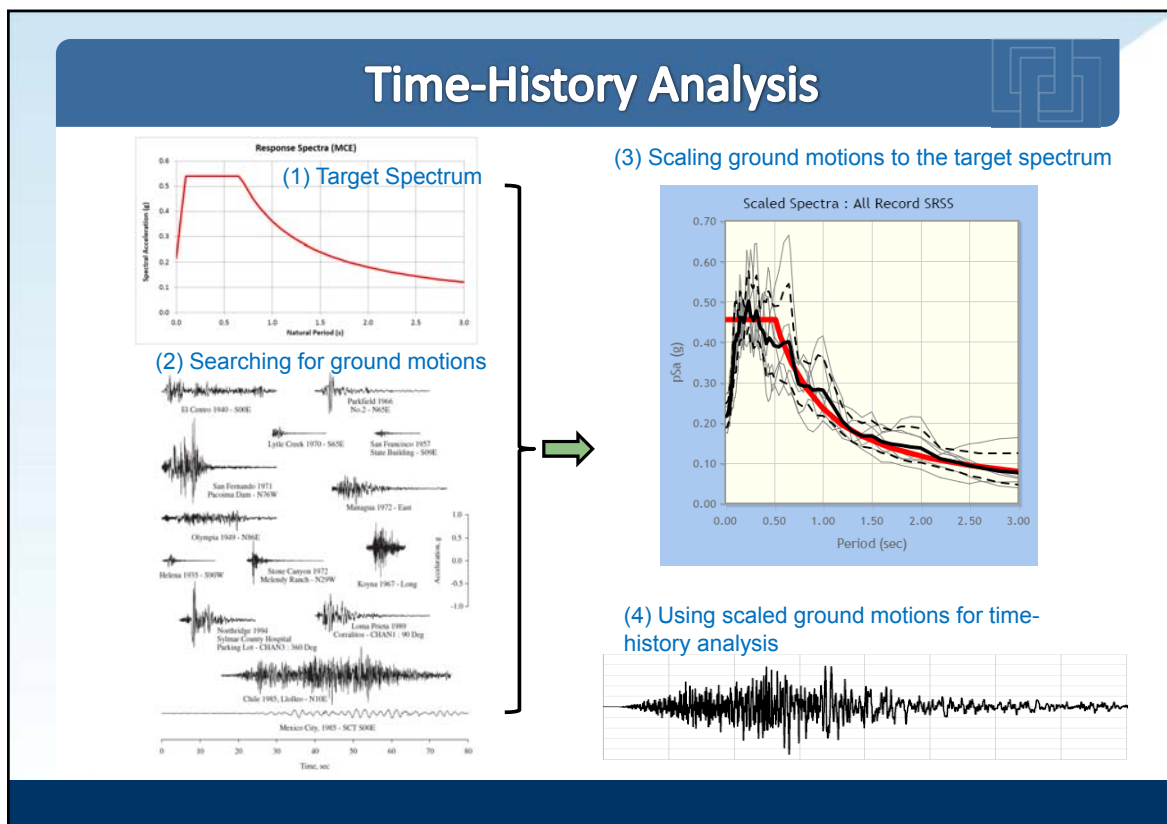
Mode	Period	Sa	Sd	Φ_i	Γ_i	Target Disp	Story	Joint	Dir	Dir
	Sec	m/sec2	m	m		m	Text	Text	Text	Text
1	0.90	5.18	0.107	0.076	26.61	0.217	ROOF	P1-7	Y	U2
2	0.86	5.45	0.102	0.078	14.70	0.118	ROOF	P3-7	Y	U2
3	0.66	6.94	0.077	0.045	29.15	0.100	ROOF	184	X	U1
4	0.33	8.93	0.024	0.089	7.22	0.015	ROOF	P1-7	Y	U2
5	0.30	8.93	0.020	0.086	8.56	0.015	ROOF	P3-7	Y	U2
6	0.23	8.93	0.011	0.044	10.12	0.005	ROOF	186	X	U1

Multi-Mode Pushover Analysis – SAP2000





Nonlinear Dynamic Analysis – THA



Elastic Viscous Damping

1) Modal Damping

$$\underline{C} = \sum_{n=1}^{n=N} \frac{4\pi}{T_n} \xi_n \frac{(\underline{M}\phi_n)(\underline{M}\phi_n)^T}{\phi_n^T \underline{M} \phi_n}$$

2) Rayleigh Damping

Rayleigh damping assumes that the structure has a damping matrix, C, given by:

$$\underline{C} = \alpha \underline{M} + \beta \underline{K}$$

DAMPING RATIO

Damping can be essentially constant for a range of periods

$\alpha M + \beta K$

$\alpha M \text{ aco}$

$\beta K \text{ aco}$

T_A T_B PERIOD

Damping Assignment

Damping Coefficients

Mass Proportional Coefficient []

Stiffness Proportional Coefficient []

Direct Specification

Specify Damping by Period [0.2036] [1.552E-03]

Specify Damping by Frequency [] []

Period	Frequency	Damping
First [0.9]		[0.02]
Second [0.18]		[0.03]

Recalculate Coefficients

OK Cancel

Check Structure Structure is OK

The structure is checked automatically when you start a new analysis series. If you wish, you can check it beforehand by pressing this button.

CONTINUE OR CHANGE AN EXISTING SERIES

Series name: THA Number of analyses: [0] UnChange

Description: Time History analysis OK

TYPE OF OPERATION

Start a new analysis series

Continue or change an existing series

Delete an existing series

Basic + Masses Modal Damping Rayleigh Damping U/L Bounds Quick'n'Dirty

Basic Values Alpha-M Options Beta-K Options

Percent of critical damping

TA/T1 TB/T1 Period, as a multiple of Mode 1 period

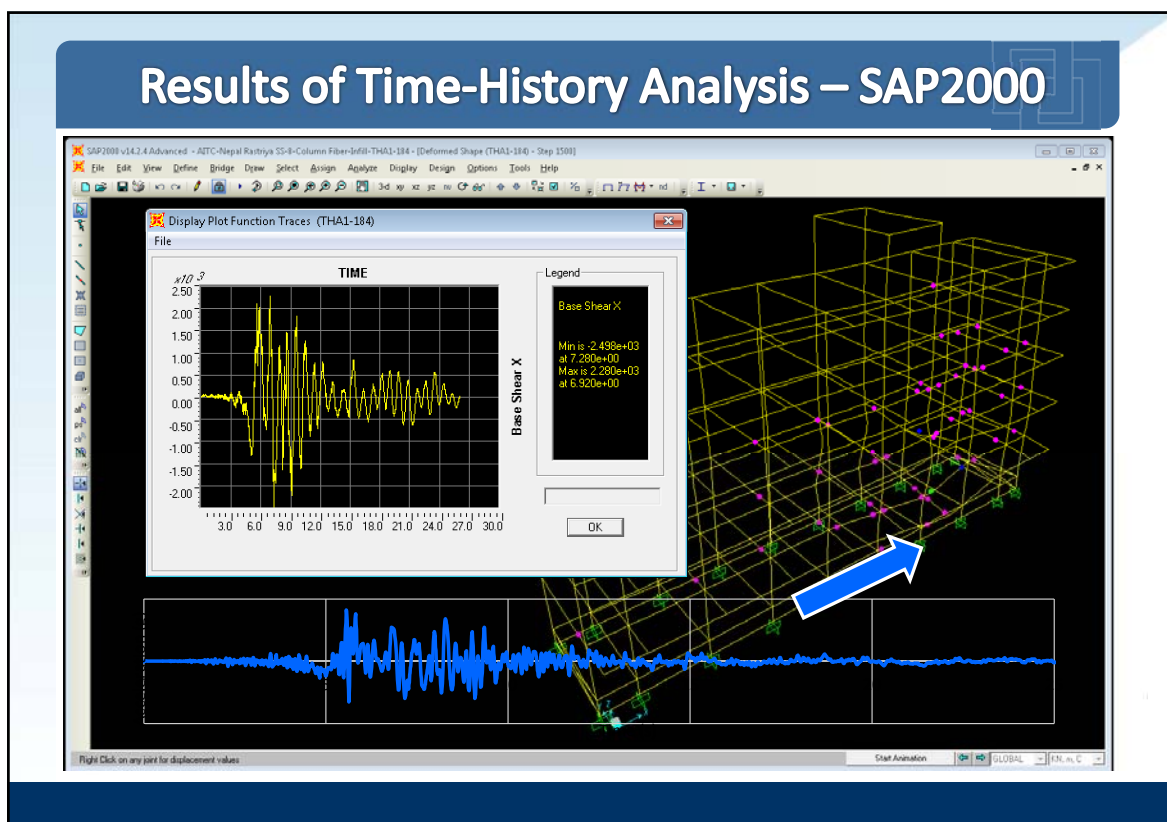
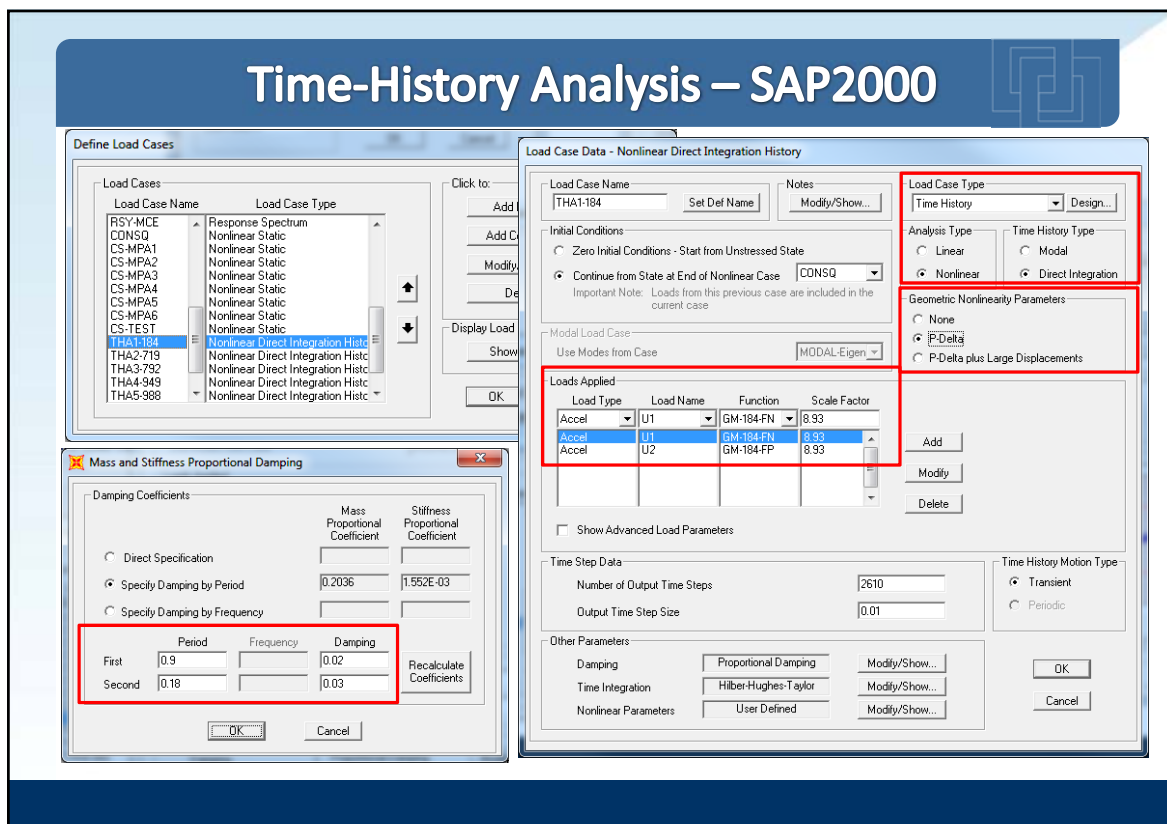
Damping varies as shown. Specify period ratios and damping % at points A and B, then press Draw Graph.

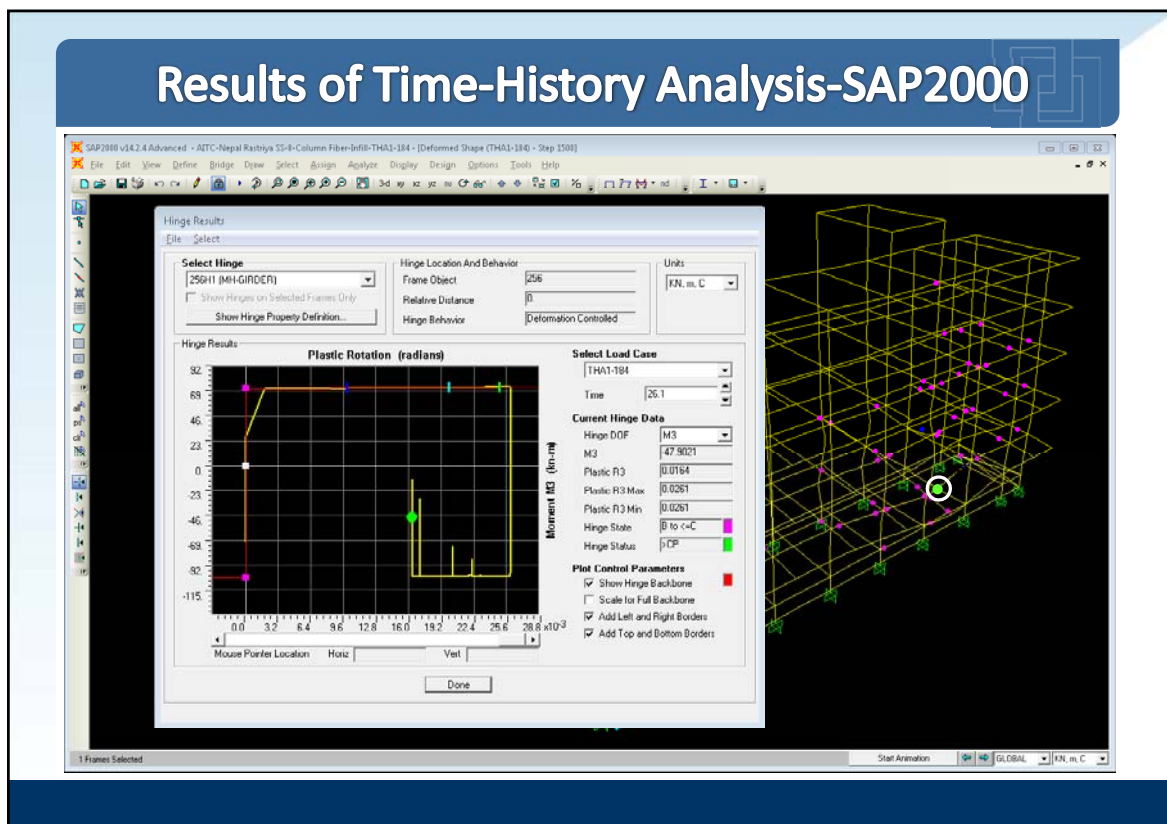
For zero damping, leave all boxes blank. For Beta-K, only leave TB/T1 and %B blank. For Alpha-M, only leave TA/T1 and %A blank.

Draw Graph

If the damping variation is not OK, close the graph and try again.

Alpha = [0.034961]
Beta = [0.0095868]





References

1. FEMA 440
2. FEMA 356
3. STATIC PUSHOVER METHODS – EXPLANATION, COMPARISON AND IMPLEMENTATION, Graham H. Powell
4. Estimating the Higher-Mode Response of Ductile Structures, Sullivan., et.al., 2008
5. Multi-Mode Pushover Procedure (MMP), Kent K. Sasaki, et.al.
6. Seismic response estimation using non-linear static methods, Dominik H. Lang
7. PEER/ATC 72-1
8. Beam test subassembly as performed by Popov et al. (1972)
9. Lightly-Reinforced Wall Segments, John Wallace, UCLA
10. Static Pushover Analysis, M. Iqbal Suharwardy, Computers and Structures, Inc.
11. NIST GCR 10-917-5
12. PERFORM Components and Elements, CSI
13. PERFORM 3D, User Guide, CSI
14. Task 12 Report for the Tall Buildings Initiative, PEER Report 2011/05
15. Performance based seismic analysis for buildings in India, Nilesh M. Kashid., et.al
16. คู่มือการปฏิบัติประกอบมาตรฐานการประเมินและการเสริมความมั่นคงแข็งแรงของโครงสร้างอาคาร 2557
17. บทเรียนจากความเสียหายที่เกิดกับอาคาร, แผ่นดินไหวแม่ล้าว, เชียงราย, สุทัศน์ ลีลาทวีวัฒน์, เป็นหนึ่ง วนิชชัย
18. มยผ. 1302-52
19. มยผ. 1303-57



Questions and Answers